

รายงานวิจัยฉบับสมบูรณ์

โครงการ การวิเคราะห์หน้าที่ของยืนฟืนอลออกซิเดสแอกติเวติงแฟคเตอร์ในกุ้งกุลาดำ

โดย ดร. ปิติ อ่ำพายัพ

เมษายน 2553

สัญญาเลขที่ DBG5180011

รายงานวิจัยฉบับสมบูรณ์

โครงการ การวิเคราะห์หน้าที่ของยืนฟืนอลออกซิเดสแอกติเวติงแฟคเตอร์ในกุ้งกุลาดำ

คณะผู้วิจัย

สังกัด

1. ดร. ปิติ อ่ำพายัพ

ศูนย์พันธุวิศวกรรมและเทคโนโลยีชีวภาพแห่งชาติ

สนับสนุนโดยสำนักงานกองทุนสนับสนุนการวิจัย

(ความเห็นในรายงานนี้เป็นของผู้วิจัย สกว.ไม่จำเป็นต้องเห็นด้วยเสมอไป)

Abstract

Project Code: DBG5180011

Project Title: Functional analysis of prophenoloxidase-activating factors from black

tiger shrimp Penaeus monodon

Investigator : Dr. Piti Amparyup

E-mail Address: piti.amp@biotec.or.th

Project Period: 1 May 2008 – 30 April 2010

Prophenoloxidase (proPO) system is one of the major invertebrate immune responses against invading foreign microorganisms. The activation of proPO to active PO mediated by a cascade of clip domain serine proteinases (clip-SPs). In this study, the full-length cDNAs of a novel proPO gene (PmproPO2), three clip-SPs (PmPPAE1, PmClipSP1 and PmClipSP2) and three clip-SPHs (PmMasSPH1, PmMasSPH2 and PmMasSPH3) were characterized from the black tiger shrimp *Penaeus monodon*. Tissue distribution analyses revealed that these genes are primarily expressed in the hemocyte. RNA interference-mediated suppression of two proPO genes (PmproPO1 and PmproPO2) and two clip-SPs (PmPPAE1 and PmClipSP1) was performed to investigate the involvement in the proPO system. Injection of double-stranded RNA (dsRNA) corresponding to each gene into the shrimp resulted in a specific reduction of each transcript and a significant decrease of PO activity (36 to 75%), except for a PmClipSP1. Moreover, the silencing of each gene significantly increased mortality in Vibrio harveyi infection which was accompanied by the increase of the number of bacteria in hemolymph. To further characterize the function of the PmMasSPH1 protein (the N-terminal region and the C-terminal domain) were separately expressed in Escherichia coli. N-terminal region exhibited in vitro antimicrobial activity against Gram-positive bacteria. The C-terminal domain mediates hemocyte adhesion and displays binding activity to the V. harveyi and lipopolysaccharide. The results indicated that two proPO genes (PmproPO1 and PmproPO2) and a clip-SP (PmPPAE1) function in the proPO system and are important molecules in shrimp immune system. Moreover, the PmMasSPH1 protein is a multifunctional immune molecule in shrimp defense.

Keywords: Penaeus monodon, prophenoloxidase activating factor

บทคัดย่อ

รหัสโครงการ: DBG5180011

ชื่อโครงการ: การวิเคราะห์หน้าที่ของยืนฟืนอลออกซิเคสแอกติเวติงแฟคเตอร์ในกุ้ง

กุลาคำ

Investigator: คร. ปิติ อ่ำพายัพ

E-mail Address: piti.amp@biotec.or.th

ระยะเวลาโครงการ: 1 พฤษภาคม 2551 – 30 เมษายน 2553

ระบบโพรฟีนอลออกซิเคสเป็นระบบภูมิคุ้มกันหลักที่สำคัญระบบหนึ่งของสัตว์ไม่มี กระคกสันหลังในการต้านเชื้อจลชีพ โคยการกระต้นเอนไซม์โพรฟีนอลออกซิเคสให้เป็นฟีนอ ลออกซิเคสที่สามารถทำงานได้โดยกลุ่มของเอนไซม์ clip domain serine proteinase (clip-SP) ใน การศึกษาครั้งนี้ได้แยกและศึกษาลักษณะสมบัติลำดับนิวคลีโอไทด์สมบูรณ์ของยืน โพรฟินอลออก ซิเคสชนิดใหม่ชื่อ PmproPO2 ยืน clip-SP จำนวน 3 ยืน (PmPPAE1, PmClipSP1 และ PmClipSP2) และยืน clip-SPH จำนวน 3 ยืน (PmMasSPH1, PmMasSPH2 และ PmMasSPH3) จากกั้งกุลาคำ เมื่อ ้ศึกษาการแสดงออกในเนื้อเยื่อต่างๆ พบว่ายืนทั้งหมดมีการแสดงออกมากในเม็ดเลือดและได้ยับยั้ง การแสดงออกของยืนโพรฟีนอลออกซิเคสจำนวน 2 ยืน (PmproPO1 และ PmproPO2) และยืน clip-SP จำนวน 2 ขึ้น (PmPPAE1 และ PmClipSP1) โดยใช้เทคนิค RNA interference เพื่อศึกษาความ เกี่ยวข้องกับระบบโพรฟินอลออกซิเคส เมื่อฉีด dsRNA ของแต่ละยืนเข้าส่ตัวก้ง ผลพบว่ามี ความจำเพาะในการลดการแสดงออกของแต่ละยืน และลดกิจกรรมของฟีนอลออกซิเดสได้อย่างมี นัยสำคัญ (36 - 75%) ยกเว้นยืน PmClipSP1 นอกจากนั้นเมื่อลดการแสดงออกของแต่ละยืนพบว่า กุ้งมีอัตราการตายมากขึ้นเมื่อมีการติดเชื้อ Vibrio harveyi ซึ่งสอดกล้องกับการเพิ่มขึ้นของจำนวน เชื้อในเลือด เพื่อศึกษาหน้าที่ของยืน PmMasSPH1 ได้แยกยืนเป็นสองส่วนคือด้านปลาย N และ ปลาย C เพื่อแสดงออกโปรตีนรีคอมบิแนนท์ใน Escherichia coli ผลพบว่าโปรตีนรีคอมบิแนนท์ ปลาย N มีฤทธิ์ในการยับยั้งการเจริญของเชื้อแบคทีเรียแกรมบวกในหลอดทดลองได้ และปลาย C มีคุณสมบัติ hemocyte adhesion และสามารถจับได้กับ V. harveyi และ lipopolysaccharide ผลจาก การศึกษาครั้งนี้แสดงว่ายืนโพรฟินอลออกซิเดส (PmproPO1 และ PmproPO2) และยืน clip-SP (PmPPAE1) มีหน้าที่ในระบบโพรฟินอลออกซิเคส และเป็นโมเลกุลที่สำคัญในระบบภูมิคุ้มกันใน กุ้ง นอกจากนั้นโปรตีน PmMasSPH1 เป็นโมเลกุลที่มีหน้าที่หลากหลายในระบบภูมิคุ้มกันของกุ้ง

คำหลัก: กุ้งกุลาคำ, โพรฟินอลออกซิเคส แอกติเวติงแฟกเตอร์

กิตติกรรมประกาศ

งานวิจัยนี้ได้รับทุนอุดหนุนการวิจัยประเภททุนวิจัยแบบมุ่งเป้า "การเพิ่มผลผลิตสัตว์น้ำ เศรษฐกิจ" ในโครงการวิจัยเรื่อง "การวิเคราะห์หน้าที่ของยืนฟืนอลออกซิเดสแอกติเวติงแฟคเตอร์ ในกุ้งกุลาคำ" จากสำนักงานกองทุนสนับสนุนการวิจัย (สกว.) ประจำปี 2551 ตามสัญญาเลขที่ DBG5180011 ผู้วิจัยขอขอบพระคุณมา ณ ที่นี้ด้วย

ผู้วิจัยขอขอบคุณ ศ. คร. อัญชลี ทัศนาขจร หัวหน้าศูนย์เชี่ยวชาญเฉพาะทางค้านอญู ชีววิทยาและยีโนมกุ้ง ภาควิชาชีวเคมี คณะวิทยาศาสตร์ จุฬาลงกรณ์มหาวิทยาลัย ที่ได้ให้ คำแนะนำที่เป็นประโยชน์ต่อการทำงานวิจัย

ผู้วิจัยขอขอบคุณนิสิตและนักวิจัย ภาควิชาชีวเคมี คณะวิทยาศาสตร์ จุฬาลงกรณ์ มหาวิทยาลัย ที่มีส่วนช่วยให้โครงการนี้สำเร็จลล่วงไปด้วยดี

Executive summary

ชื่อโครงการ

(ภาษาไทย) การวิเคราะห์หน้าที่ของยืนฟืนอลออกซิเคสแอกติเวติงแฟคเตอร์ในกุ้ง

กุลาคำ

(ภาษาอังกฤษ) Functional analysis of prophenoloxidase-activating factors from black

tiger shrimp Penaeus monodon

ชื่อหัวหน้าโครงการ

(ไทย) คร. ปิติ อ่ำพายัพ (อังกฤษ) Dr. Piti Amparyup

(ตำแหน่ง) นักวิจัย 2 ศูนย์พันธุวิศวกรรมและเทคโนโลยีชีวภาพแห่งชาติ

ที่ทำงาน ศูนย์เชี่ยวชาญเฉพาะทางด้านอณูชีววิทยาและยีโนมกุ้ง ภาควิชาชีวเคมี

คณะวิทยาศาสตร์ จุฬาลงกรณ์มหาวิทยาลัย ปทุมวัน กรุงเทพ 10330

โทรศัพท์ 02-2185414 โทรสาร 02-2185414

โทรศัพท์มือถือ 0847590907

อีเมล์: piti.amp@biotec.or.th : amparyup@yahoo.com

งานวิจัยนี้มีวัตถุประสงค์ที่จะค้นหาและทำการศึกษายืนที่เกี่ยวข้องกับระบบ prophenoloxidase (proPO) ในกุ้งกุลาดำ ซึ่งเป็นระบบภูมิกุ้มกันที่สำคัญระบบหนึ่งในสัตว์ไม่มี กระดูกสันหลัง โดยสนใจศึกษายืน 2 กลุ่ม คือ ยืนในกลุ่มของ proPO-activating factors (PPAFs) และ proPOs ซึ่งเป็นเอนไซม์ที่สำคัญในระบบ proPO จากการค้นหาและศึกษาลำคับนิวคลีโอไทด์ สมบูรณ์ของยืนกลุ่ม PPAF พบว่ามี 6 ยืนที่คาคว่าจะเกี่ยวข้องได้แก่ PmPPAE1, PmClipSP1, PmClipSP2, PmMasSPH1, PmMasSPH2 และ PmMasSPH3 ทั้ง 6 ชื่นมี clip domain อยู่ที่ปลาย N และมี serine proteinase domain (PmPPAE1, PmClipSP1 และ PmClipSP2) หรือ serine proteinase homologue domain (PmMasSPH1, PmMasSPH2 และ PmMasSPH3) อยู่ที่ปลาย C ซึ่งเป็นลักษณะ ของยืน PPAF ที่พบได้ทั้งในแมลงและกุ้ง crayfish เมื่อตรวจสอบการแสดงออกในเนื้อเยื่อต่าง ๆ พบว่า ทั้ง 6 ยืนมีการแสดงออกมากในเซลล์เม็ดเลือด และเมื่อตรวจสอบการแสดงออกของยืนในกุ้ง ที่ติดเชื้อ Vibrio harveyi พบว่า ยืน PmPPAE1 และ PmMasSPH1 มีการแสดงออกเพิ่มขึ้นที่ 24 ชั่วโมง และยืน PmClipSP1, PmClipSP2 และ PmMasSPH2 มีการแสดงออกน้อยลงที่ 6-48 ชั่วโมง ในขณะที่การแสดงออกของยืน PmMasSPH3 ไม่มีการเปลี่ยนแปลง ขณะที่ยืนกลุ่ม proPO พบ 2 ขึ้น คือ proPOPm1 ซึ่งเป็นขึ้นที่มีรายงานแล้ว และขึ้น proPOPm2 ซึ่งเป็นขึ้น proPO ชนิคใหม่ที่พบ ในกั้งกลาคำ จากการวิเคราะห์ลำคับกรคอะมิโนพบว่า ทั้งสองยืนมีความเหมือนกันประมาณ 80% และมี ORF. MW และ pI ที่แตกต่างกัน ทั้งสองยืนมีการแสดงออกเฉพาะในเม็ดเลือด

เมื่อทำการศึกษาหน้าที่ของยืน PmproPO1, PmproPO2, PmPPAE1 และ PmClipSP1 ต่อ ระบบ proPO ในกุ้งกุลาคำ โดยใช้เทคนิค RNA interference จากการทดลอง พบว่า dsRNA สามารถ ลดการแสดงออกของยืนทั้งสามได้ และ dsRNA ของแต่ละยืนมีความจำเพาะต่อยืนนั้น ๆ กุ้งที่ฉีด ด้วย dsRNA ของยืน PmproPO1 หรือ PmproPO2 หรือ PmPPAE1 มี PO activity ลดลง 75%, 73% หรือ 36.7% ตามลำคับ สรุปได้ว่า ทั้งสามยืนเป็นยืนที่เกี่ยวข้องกับระบบ proPO นอกจากนั้นเมื่อ ทำ co-silencing ด้วย dsRNA ของยืน PmproPO1 และ PmproPO2 พร้อมกัน พบว่า สามารถลด PO activity ได้ถึง 88% ซึ่งแสดงว่า proPO ทั้งสองอาจจะมีการทำงานร่วมกันในระบบ proPO ของกุ้ง กุลาคำ เมื่อทำการทดสอบความสำคัญของ PmproPO1, PmproPO2 และ PmPPAE1 ต่อความอยู่ รอดของกุ้งเมื่อถูกกระคุ้นด้วย V. harveyi 639 พบว่า กุ้งที่ถูกยับยั้งการแสดงออกของยืน PmproPO1 หรือ PmproPO2 หรือ PmPPAE1 ทำให้กุ้งมีอัตราการตายเพิ่มสูงถึง 100% ภายในวันที่ 1, 2 และ 3 ตามลำดับ เทียบกับกลุ่มควบคุมซึ่งมีอัตราการตายประมาณ 50-60% และยังพบว่า กุ้งที่ถูกยับยั้งการ แสดงออกของยืน PmproPO1 และ PmproPO2 พร้อมกัน และ PmPPAE1 ตรวจพบว่ามีจำนวนเชื้อ มากขึ้นประมาณ 6 และ 4 เท่า ตามลำดับ

นอกจากนั้นจากการศึกษาหน้าที่ทางชีวภาพของโปรตีน PmMasSPH1 โดยการสร้างรีคอม บิแนนท์โปรตีน ประกอบด้วย 2 ส่วนคือ ทางด้านปลาย N ประกอบด้วย glycine-rich repeats และ clip domain (Gly-Clip domain) และทางด้านปลาย C ประกอบด้วย serine proteinase domain (SP domain) และศึกษาหน้าที่ทางชีวภาพ พบว่าส่วนทางด้านปลาย N ประกอบด้วย คือ Gly-Clip domain มีฤทธิ์ antimicrobial activity ในขณะที่ทางด้านปลาย C คือ SP domain ซึ่งไม่มี proteinase activity แต่มีหน้าที่ทางชีวภาพ ได้แก่ cell adhesion activity, bacterial binding activity และ bacterial clearance

ผลการทดลองทั้งหมดที่ได้จากการศึกษายืนในกลุ่ม PPAF และ proPO พบว่ายืน PmproPO1, PmproPO2 และ PmPPAE1 เป็นยืนที่เกี่ยวข้องกับระบบ proPO ซึ่งเป็นระบบภูมิคุ้มกันที่สำคัญของ กุ้งกุลาคำ และยืน PmMasSPH1 เป็นยืนที่มีความสำคัญในจับและยับยั้งเชื้อในระบบภูมิคุ้มกันของ กุ้งกุลาคำ

1. รายละเอียดผลการดำเนินงานของโครงการ

1.1 ความสำคัญและที่มาของปัญหาที่ทำการวิจัย

ระบบภูมิคุ้มกันในครัสเตเชียน เป็นระบบภูมิคุ้มกันแบบไม่จำเพาะที่มีมาแต่กำเนิดเรียกว่า innate immunity ประกอบด้วย humoral และ cellular responses โดยระบบภูมิคุ้มกันหลักจะอยู่ใน ส่วนของเลือด เช่น การกลืนทำลาย การห่อหุ้มสิ่งแปลกปลอม การแข็งตัวของเลือด การสร้างสารที่ มีฤทธิ์ต้านจุลชีพ และการเกิดกระบวนการ melanization โดยการกระตุ้นของระบบ prophenoloxidase (proPO) เป็นต้น ระบบ proPO เป็นระบบภูมิคุ้มกันที่สำคัญระบบหนึ่งในสัตว์ไม่

มีกระดูกสันหลัง กระบวนการนี้ถูกควบคุมโดยเอนไซม์ Phenoloxidase (PO) ซึ่งสามารถเปลี่ยน สารประกอบ phenol ให้เป็น o-quinones ซึ่งเป็นตัวกลางสำคัญต่อกระบวนการเกิด cuticle sclerotization และ melanin synthesis โดย o-quinones สามารถต่อต้านเชื้อรา (anti-fungal function) และต่อต้านเชื้อแบคทีเรีย (anti-bacterial function) ในขณะที่ melanin เกี่ยวข้องกับการรักษา บาดแผล และปฏิกิริยา encapsulation ระบบ proPO สามารถถูกกระตุ้นจากส่วนประกอบของผนัง เซลล์แบคทีเรีย และเชื้อรา เช่น lipopolysaccharides (LPS) และ peptidoglycans (PG) จากแบคทีเรีย และ β-1,3-glucans จากเชื้อรา สามารถกระตุ้นระบบ proPO โดยมีโปรตีน Pattern Recognition Proteins (PRPs) มาจับกับส่วนประกอบของผนังเซลล์แบคทีเรีย และเชื้อรา และกระตุ้นการทำงาน ของ serine proteinase (SP) cascade โดย SP ที่อยู่ในระบบ proPO สามารถเรียกว่า proPO-activating factors (PPAFs) ส่วน SP ตัวสุดท้ายที่ชื่อว่า proPO-activating enzyme (PPAE) จะทำหน้าที่เปลี่ยน proPO (inactive form) ให้เป็น PO (active form)

ปัจจุบันได้มีรายงานการพบโปรตีน PPAF ที่เกี่ยวข้องกับกระบวนการ proPO ในสิ่งมีชีวิต หลายชนิด เช่น beetle, Holotrichia diomphalia (Lee และคณะ 1998, Known และคณะ 2000), tobacco horn worm, Manduca sexta (Jiang และคณะ 1998, 2003), หนอน silkworm, Bombyx mori (Satoh และคณะ 1999), crustacean Pacifastacus leniusculus (Aspán และ Söderhäll, 1991; Wang และคณะ 2001) ลักษณะของ primary structure ของยืน PPAF จะประกอบด้วย 2 domain ที่สำคัญ คือมี serine proteinase domain อยู่ที่ปลาย C ซึ่งจะทำให้มีหน้าที่เป็นเอนไซม์ serine proteinase และ มี clip-domain อยู่ที่ปลาย N ซึ่งอาจจะมีส่วนช่วยในการเกิด protein-protein interaction นอกจากนี้มี รายงานว่า clip-domian มีความสามารถยับยั้งจลชีพชนิดแกรมบวกได้ อย่างไรก็ตามยังไม่มีรายงาน การพบยืน PPAF ที่เกี่ยวข้องกับกระบวนการ proPO ในกั่ง จากการศึกษาจีโนมกั่งกลาคำโดย ศ.คร. อัญชลี ทัศนาขจร และคณะ ได้ทำการสร้างห้องสมค EST ในเนื้อเยื่อหลายชนิคที่มีความสำคัญต่อ กุ้งกุลาคำและหาลำคับนิวคลีโอไทค์ประมาณ 40,000 โคลน พบยืนที่มีความสำคัญเกี่ยวข้องกับ กระบวนการ proPO จำนวนมากเช่นยืน PPAF, masquerade-like serine proteinase homologue และ proPO เป็นต้น อย่างไรก็ตามการศึกษาหน้าที่ของโปรตีน PPAF และ proPO มีความสำคัญอย่างยิ่ง โดยจะทำให้เราเข้าใจถึงกระบวนการควบคุมระบบ proPO ซึ่งจะนำไปสู่การควบคุมหรือป้องกัน การเกิดโรคระบาดในกุ้งกุลาดำให้มีประสิทธิภาพมากยิ่งขึ้น อย่างไรก็ตามการค้นหายืน PPAF และ proPO เพิ่มเติมและการศึกษาหน้าที่ของโปรตีน ในเชิงลึกจะทำให้เราเข้าใจกลไกและหน้าที่ของ โปรตีนนี้มากยิ่งขึ้น โดยผู้วิจัยสนใจศึกษาหน้าที่ของยืนทั้งระดับ in vitro และ in vivo โดยใช้เทคนิค RNA interference และตรวจสอบผลกระทบของการ knockdown ของยืนต่อ phenoloxidase activity และ mortality ต่อตัวกั้ง และใช้เทคนิค recombinant protein expression มาผลิตรีคอมบแนนท์ โปรตีน เพื่อศึกษาหน้าที่ของโปรตีนให้มากยิ่งขึ้น โดยข้อมูลจากงานวิจัยนี้จะทำให้สามารถเข้าใจ

กระบวนการ และหน้าที่ของยืน PPAF ต่อความเกี่ยวข้องกับระบบ proPO ที่มีต่อกลไกการสร้างภูมิ ต้านทานต่อโรคของกุ้งกุลาคำได้มากยิ่งขึ้น

1.2 วัตถุประสงค์ของโครงการ

- 1.2.1 วิเคราะห์ลำดับนิวคลีโอไทด์ของยืน PPAF และ proPO ในกุ้งกุลาดำ
- 1.2.2 ศึกษาการแสดงออกของยืนในเนื้อเยื่อต่าง ๆ และการตอบสนองต่อการกระตุ้น ด้วยเชื้อ Vibrio harveyi
- 1.2.3 ศึกษาหน้าที่ของยืน PPAF และ proPO ด้วยเทคนิค RNA interference
- 1.2.4 สร้างและผลิตรีคอมบิแนนท์โปรตีน แยกบริสุทธิ์ และศึกษาสมบัติทางชีวภาพ

1.3 วิธีการดำเนินงานวิจัย

1.3.1 การค้นหายืน PPAF และ proPO ในกุ้งกุลาดำ

1.3.1.1 การค้นหายืนจากฐานข้อมูลจีโนมกุ้งกุลาดำ

ทำการสืบค้นฐานข้อมูล EST ของกุ้งกลาดำ (<u>www.pmonodon.biotec.or.th</u>) เพื่อค้นหายืน PPAF และ proPO และวิเคราะห์ลำดับนิวคลีโอไทด์เพื่อหา open reading frame (ORF) โดยใช้ โปรแกรม Genetyx และออกแบบไพรเมอร์เพื่อใช้ในการทำ RACE-PCR

1.3.1.2 การค้นหายืนด้วยเทคนิค RT-PCR โดยใช้ไพรเมอร์ degenerate

ทำการเปรียบเทียบลำดับนิวคลีโอไทด์และลำดับกรดอะมิโนของยืน PPAF ในแมลงและ crayfish ที่มีรายงานไว้ใน GenBank เพื่อหาบริเวณ conserve sequence ของยืน PPAF และทำการ ออกแบบไพรเมอร์ degenerate เพื่อนำมาเพิ่มจำนวนยืนใน cDNA ที่เตรียมจากเม็ดเลือดของกุ้ง กุลาคำ เมื่อได้ผลิตภัณฑ์ PCR ตามขนาดที่คาดหวังไว้ จึงทำการโคลนชิ้นยืนเพื่อนำไปหาลำดับนิวคลีโอไทด์ที่ได้โดยใช้โปรแกรม blastx คัดเลือกโคลนที่คล้ายกับ PPAF มาออกแบบไพรเมอร์เพื่อหาลำดับนิวคลีโอไทด์ที่สมบูรณ์โดย RACE-PCR

1.3.1.3 การหาลำดับนิวคลีโอไทด์ที่สมบูรณ์ของยืน (full-length cDNA) โดยวิธี RACE-PCR

นำ mRNA ปริมาณ 2 µg ที่แยกได้จากเม็คเลือด มาสร้าง first-strand cDNA โดยใช้ SMART™ RACE cDNA Amplification Kit (BD Bioscience Clontech) นำ cDNA ที่ได้มาทำ 5' RACE-PCR และ 3' RACE-PCR โดยใช้ไพรเมอร์ที่ออกแบบจำเพาะกับยืน PPAF และ proPO และ โคลนชิ้นดีเอ็นเอที่ได้เข้าเวกเตอร์ pGEM®-T easy หลังจากที่ได้แต่ละโคลนรีคอมบิแนนท์แล้ว นำไปหาลำดับนิวคลีโคไทด์ต่อไป

1.3.2 ศึกษาการแสดงออกของยืน

1.3.2.1 การสกัด total RNA และ mRNA จากเม็ดเลือดกุ้งกุลาดำ

นำตัวอย่างกุ้งกุลาคำมาคูคเลือดและแยกเนื้อเยื่อต่าง ๆ ของกุ้ง และสกัด total RNA โดยใช้ Trizol Reagent ทำลายดีเอ็นเอที่ปนเปื้อนอยู่โดยใช้เอนไซม์ RNase-free DNaseI (Promega, USA) และแยก mRNA โดยใช้ QuickPrep micro mRNA Purification Kit (Amersham Pharmacia Biotech, USA) วิเคราะห์ปริมาณและคุณภาพของ mRNA ด้วยเทคนิค spectrophotometer และ agarose gel electrophoresis

1.3.2.2 การสังเคราะห์ first-strand cDNA

นำ total RNA ที่ได้มาใช้ในการสังเคราะห์ first-strand cDNA โดยใช้ ImProm-IITM Reverse Transcription System (Promega Corporation Medison, Wisconsin, USA) ซึ่งประกอบด้วย 2 µg total RNA, ใพรเมอร์ oligo(dT) และเอนไซม์ reverse transcriptase บ่มที่อุณหภูมิ 42 °C เป็นเวลา 1 ชั่วโมง วิเคราะห์ปริมาณและคุณภาพของ first-strand cDNA ด้วยเทคนิค spectrophotometer และ agarose gel electrophoresis

1.3.2.3 การตรวจสอบการแสดงออกของยืนด้วยเทคนิค semi-quantitative RT-PCR

สร้าง first-strand cDNA และนำ cDNA ที่ได้มาเพิ่มปริมาณด้วยเทคนิค PCR โดยใช้ไพรเมอร์ ที่ได้ออกแบบไว้ ทำการวิเคราะห์ผลิตภัณฑ์ PCR ด้วย agarose gel electrophoresis วัดปริมาณ ผลิตภัณฑ์ PCR จากความเข้มของแถบ DNA ที่บันทึกด้วยกล้อง CCD โดยใช้โปรแกรม Genetools Analysis Software (Syngene) ค่าการแสดงออกวัดเป็น relative expression เทียบกับยืน EF-1α ที่ ปรับค่า (normalized) ให้เป็น 100 คำนวณนัยสำคัญของการเปลี่ยนแปลงค่าการแสดงออกของยืน ด้วย One Way Analysis of Varience (ANOVA) และ post hoc test (Duncan's new multiple range test)

1.3.3 ศึกษาหน้าที่ของยืน PPAF และ proPO ด้วยเทคนิค RNA interference

1.3.3.1 การเตรียม PCR products

ทำการออกแบบไพรเมอร์เพื่อใช้ในการเตรียม double-stranded RNA (dsRNA) โดยในการ ทดลองนี้เราได้เลือกยืน prophenoloxidase ทั้งสองยืน (PmproPO1 และ PmproPO2) และยืน PPAF (PmPPAE1 และPmClipSP1) มาศึกษาหน้าที่ของยืนโดยใช้เทคนิคนิค RNAi ขั้นตอนแรกทำการ ออกแบบไพรเมอร์ที่จำเพาะในแต่ละยืน เพื่อนำมาสร้าง single-stranded RNA (ssRNA) ทั้ง 2 สาย คือ สาย sense RNA และ antisense RNA โดยไพรเมอร์แต่ละคู่จะมีไพรเมอร์สายหนึ่งที่ปลาย 5' มี ส่วนของลำดับเบส T7 promoter ในการสร้าง dsRNA ของยืน PmproPO1 และ PmproPO2 จะใช้ ใพรเมอร์ PO1iT7-F และ PO1i-R หรือ PO2iT7-F และ PO2i-R (ตารางที่ 1) เพื่อสร้างสาย sense RNA และใช้ไพรเมอร์ PO1i-F และ PO1iT7-R หรือ PO2i-F และ PO2iT7-R เพื่อสร้างสาย antisense RNA ตามลำดับ ในขณะที่ยืน PmPPAE1 และ PmClipSP1 ใช้ไพรเมอร์ PmPPAE1iT7-F และ PmPPAE1-R หรือ PmClipSP1iT7-F และ PmClipSP1-R เพื่อสร้างสาย sense RNA และใช้ ใพรเมอร์ PmPPAE1-F และ PPAE1iT7-F เลือะ PmClipSP1-F และ PmClipSP1iT7-R เพื่อสร้าง

สาย antisense RNA ในการทดลองครั้งนี้เราใช้ dsRNA GFP (Green Fluorescent Protein) เป็นตัว ควบคุม สร้างโดยใช้ไพรเมอร์ GFPiT7-F และ GFPi-R เพื่อสร้างสาย sense RNA และใช้ไพรเมอร์ GFPi-F และ GFPiT7-R เพื่อสร้างสาย antisense RNA และนำไพรเมอร์ที่กล่าวข้างต้นมาเพิ่ม ปริมาณยืนด้วยเทคนิค PCR นำ PCR product ที่ได้มาแยกบริสุทธ์ออกจาก agarose gel และ วิเคราะห์คุณภาพและปริมาณด้วยเทคนิค agarose gel electrophoresis และ spectrophotometry

ตารางที่ 1 ข้อมูลลำดับนิวคลีโอไทด์ของไพรเมอร์

ไพรเมอร์	ลำดับนิวคลีโอไทด์
PO1iT7-F	5'GGATCCTAATACGACTCACTATAGGCACCCTGAGAGCTCCCACTT 3'
PO1i-R	5'GAGATCCTGCAGTGTAACGT3'
PO2iT7-F	5'GGATCCTAATACGACTCACTATAGGCGTCTTCCTCGGCCGCTCCT 3'
PO2i-R	5'CCACGGGGATACCGCTGCCA3'
PO1i-F	5'CACCCTGAGAGCTCCCACTT3'
PO1iT7-R	5'GGATCCTAATACGACTCACTATAGGGAGATCCTGCAGTGTAACGT 3'
PO2i-F	5'CGTCTTCCTCGGCCGCTCCT3'
PO2iT7-R	5'GGATCCTAATACGACTCACTATAGGCCACGGGGATACCGCTGCCA3'
PmPPAE1iT7-F	5'GGATCCTAATACGACTCACTATAGGCGTCTGCTTCATTGAGGGAGTG3'
PmPPAE1-R	5'GTAGTAGATGGTGCCCCAGCCT3'
PmPPAE1-F	5'CGTCTGCTTCATTGAGGGAGTG3'
PPAE1iT7-R	5'GGATCCTAATACGACTCACTATAGGGTAGTAGATGGTGCCCCAGCCT3'
PmClipSP1-F	5' CGTGGTTGCGTGGCGTGGTTAG 3'
PmClipSP1-R	5' GCCTGTTGAGTCTGATGAGTGC3'
PmClipSP1iT7-F	5' GGATCCTAATACGACTCACTATAGGCGTGGTTGCGTGGCGTGGTTAG 3'
PmClipSP1iT7-R	5' GGATCCTAATACGACTCACTATAGGGCCTGTTGAGTCTGATGAGTGC 3'
GFPiT7-F	5'TAATACGACTCACTATAGGATGGTGAGCAAGGGCGAGGA 3'
GFPi-R	5'TTACTTGTACAGCTCGTCCA3'
GFPi-F	5'ATGGTGAGCAAGGGCGAGGA3'
GFPiT7-R	5'TAATACGACTCACTATAGGTTACTTGTACAGCTCGTCCA3'

1.3.3.2 การเตรียม dsRNA

นำ PCR product ของแต่ละยืนมาสร้างสาย sense RNA และ antisense RNA โดยใช้ T7 RiboMAX™ Express Large Scale RNA Production Systems (Promega, USA) เพื่อสังเคราะห์ RNA ในหลอดทดลอง และนำมาทำให้เป็น dsRNA โดยการบ่มที่อุณหภูมิ 70℃ และให้สาย RNA จับกันเป็น dsRNA ที่อุณภูมิประมาณ 25℃ และวิเคราะห์กุณภาพและปริมาณด้วยเทคนิค agarose gel electrophoresis และ spectrophotometry ก่อนที่จะนำมาฉีดเข้าสู่ตัวกุ้ง

1.3.3.3 การฉีด dsRNA ในกุ้งกุลาดำ

นำกุ้งกุลาดำมาปรับสภาพในบ่อเลี้ยงที่ความเค็ม 20 ppt เป็นเวลา 7 วันก่อนทำการทดลอง คัดเลือกกุ้งที่มีขนาดประมาณ 2 g และฉีด dsRNA เข้าตัวกุ้งประมาณ 2 μg dsRNA ต่อน้ำหนักกุ้ง 1 g ใช้เข็มขนาด 0.5 ml โดยฉีด dsRNA เข้าในข้อปล้องที่ 3 ของตัวกุ้ง ในกลุ่มควบคุม จะฉีดด้วย GFP dsRNA และ 150 mM NaCl เลี้ยงกุ้งเป็นเวลา 24 ชั่วโมง แล้วทำการฉีด dsRNA ที่มี lipopolysaccharide (LPS) และ β-glucan ผสมอยู่ซ้ำ หลังจากนั้น เลี้ยงกุ้งอีกเป็นเวลา 48 ชั่วโมง

1.3.3.4 การเก็บเลือดกุ้ง และการสกัด total RNA

เก็บเลือดกุ้งในกลุ่มที่ฉีด dsRNA และกลุ่มควบคุมหลังจากเลี้ยงมาเป็นเวลา 48 ชั่วโมง แล้ว นำมาสกัด total RNA ด้วย TRI reagent (1 ml) ต่อ 100 µl ของเลือด ผสมให้เข้ากันแล้วเติม chloroform (200 µl) และนำไปปั่นเหวี่ยงที่ 12,000 รอบ/นาที เป็นเวลา 10 นาที นำสารละลาย ส่วนบนที่มี RNA ออกมาใส่ในหลอดไมโครเซ็นทริฟิวจ์ใหม่ เติม 0.5 ml isopropanol เพื่อทำให้ RNA ตกตะกอนออกมา นำไปปั่นเหวี่ยงเป็นเวลา 10 นาที ล้างตะกอน RNA ด้วย 75% ethanol (1 ml) รอให้ตะกอนแห้งประมาณ 5 นาที แล้วจึงละลายตะกอนด้วยน้ำที่ปราสจาก RNase

1.3.3.5 การตรวจวัดประสิทธิภาพการยับยั้งการแสดงออกของยีนด้วยเทคนิค semiquantitative RT-PCR

หลังจากสกัด total RNA แล้ว ทำการสร้าง first strand cDNA และตรวจสอบประสิทธิภาพ การยับยั้งการแสดงออกของยืนที่ฉีดด้วย dsRNA และ buffer ด้วยเทคนิค RT-PCR โดยใช้ไพรเมอร์ ที่จำเพาะกับยืน PmproPO1, PmproPO2, PmPPAE1 และ PmClipSP1 และ ไพรเมอร์ของยืน EF1-α ซึ่งเป็นยืนควบคุม โดยทำ PCR reaction (25 μl) ที่ประกอบด้วย 75 mM Tris-HCl, pH 8.8, 20 mM (NH₄)₂SO₄, 0.1% (v/v) Tween 20, 1.5 mM MgCl₂, 100 μM dNTP, 0.2 μM specific primer, cDNA (1 μl) และ 1 unit Taq DNA polymerase เพิ่มปริมาณยืนโดยทำการ denature ที่ 94 °C เป็นเวลา 1 นาที จากนั้นจึงเข้าสู่กระบวนการ PCR โดยเริ่มที่ denaturation ที่ 94 °C เป็นเวลา 1 นาที annealing ที่ 55°C เป็นเวลา 1 นาที และ extension ที่ 72 °C เป็นเวลา 1 นาที ทำทั้งสิ้น 30 รอบ แล้วทำ extension ในขั้นสุดท้ายที่ 72 °C เป็นเวลา 10 นาที จากนั้น จึงนำ PCR product ไปวิเคราะห์ใน agarose gel eletrophoresis

1.3.3.6 การศึกษาความสำคัญของยืน PmproPO1, PmproPO2, PmPPAE1 และ PmClipSP1 ต่อระบบ proPO โดยตรวจสอบ phenoloxidase (PO) activaty หลังการยับยั้งการ แสดงออกของยืน

เก็บเลือดจากกุ้งที่ได้ถูก knockdown ด้วยการฉีด dsRNA ของยืน PmproPO1, PmproPO2, PmPPAE1 หรือ PmClipSP1 และกลุ่มควบคุมที่ฉีดด้วย dsRNA ของยืน GFP มาตรวจสอบ PO activity โดยในขั้นแรก ทำการวัดปริมาณความเข้มข้นของโปรตีน โดยใช้ Bradford protein assay kit (Bio-Rad) และทำการตรวจสอบ PO activity โดยการเติมสับสเตรต L-3,4-dihydroxyphenylalanine (L-dopa) โดยใช้ total hemolymph protein (2 μ g) ทิ้งไว้ที่อุณหภูมิ 30 $^{\circ}$ C เป็นเวลา 30 นาที หยุดปฏิกิริยาด้วยการเติม 10% (v) กรดอะซีติก แล้วนำไปตรวจวัดค่าการ ดูดกลืนแสงที่ 490 nm ในกลุ่มควบคุมจะใช้น้ำกลั่นแทนเลือดกุ้ง

1.3.3.7 การศึกษาอัตราการตายของกุ้งกุลาดำที่ถูกยับยั้งการแสดงออกของยืนหลังการ กระตุ้นด้วยเชื้อ V. harveyi

เลี้ยงเชื้อ V. harveyi 639 ซึ่งเป็นแบคทีเรียแกรมลบที่ 30 °C เป็นเวลา 18 ชั่วโมง จากนั้นนำ เชื้อ 1 โคโลนีมาเลี้ยงในอาหารเลี้ยงเชื้อ TSB (tryptic soy broth) ที่ 30 °C เป็นเวลา 24 ชั่วโมง วัค ความเข้มข้นของแบคทีเรียด้วยการวัคค่าการคูดกลืนแสงที่ 600 nm ใช้ bacterial suspension (2 × 10^5 colony forming unit, CFU) ในการตรวจสอบอัตราการตายของกุ้งที่อยู่ในช่วง LD_{50} โดยฉีดกุ้ง ขนาคประมาณ 10 g (อัตราส่วน 2 μ g dsRNA ต่อน้ำหนักกุ้ง 1 g) และแบ่งกุ้งออกเป็นกลุ่มๆ ละ 10 ตัว กลุ่มที่ยับยั้งการแสดงออกของยืนฉีดด้วย dsRNA ของ PmproPO1, PmproPO2, PmPPAE1 หรือ PmClipSP1 กลุ่มควบคุมฉีดด้วย dsRNA ของ GFP และ 150 mM NaCl solution และเลี้ยงกุ้ง เป็นเวลา 24 ชั่วโมง หลังจากนั้น ทำการฉีด dsRNA หรือ NaCl solution ที่ผสมกับเชื้อ V. harveyi ซ้ำ หลังจากเวลาผ่านไป 3 ชั่วโมง จึงจดบันทึกอัตราการตายของกังเป็นเวลา 5 วัน

1.3.3.8 การตรวจสอบจำนวนของเชื้อ V. harveyi ในกุ้งกุลาดำที่ถูกยับยั้งการแสดงออก ของยีนด้วยเทคนิค RNAi

ฉีดกุ้งขนาดประมาณ 10~g (อัตราส่วน $2~\mu g$ dsRNA ต่อน้ำหนักกุ้ง 1~g) หลังจาก $24~\dot{g}$ วโมง ทำการฉีดซ้ำด้วย dsRNA ปริมาณเท่าเดิมพร้อมกับฉีดกระตุ้นด้วย $V.~harveyi~639~(2~\times~10^5~CFU)$ หลังจากนั้น $6~\dot{g}$ วโมง เก็บเลือดมานับจำนวนเชื้อ V.~harveyi~โดย plate count method โดยแบ่งกุ้ง ออกเป็น 3~ กลุ่ม q ละ 3~ 4~ ตัวอย่าง และทำการทดลองทั้งหมด 3~ ครั้ง กลุ่มที่ 1~ กุ้งที่ฉีดด้วย Pm proPO1 dsRNA และ Pm proPO2 dsRNA พร้อมกัน กลุ่มที่ 2~กุ้งที่ฉีดด้วย Pm PPAE1 dsRNA กลุ่มที่ 3~กุ้งที่ฉีดด้วย Pm ClipSP1 dsRNA และกลุ่มที่ 4~กุ้งที่ฉีดด้วย GFP dsRNA (control dsRNA)

1.4 ผลการศึกษา

1.4.1 การวิเคราะห์ลำดับนิวคลีโอไทด์และการศึกษาการแสดงออกของยืน PPAF และ proPO ในกุ้งกุลาดำ

งานวิจัยนี้ได้แยกยืนที่เกี่ยวข้องกับการควบคุมระบบ proPO มาศึกษาซึ่งสามารถแบ่งได้เป็น 2 กลุ่ม โดยกลุ่มแรกคือ ยืน proPO-activating factors (PPAFs) ซึ่งเป็นกลุ่มยืนที่สำคัญต่อการ กระตุ้นระบบ proPO ด้วยการทำงานแบบ proteinase cascade กลุ่มที่สองคือ ยืน proPO เป็น เอนไซม์หลักของระบบ จากการทดลอง พบยืน PPAF จำนวน 6 ยืน และยืน proPO ชนิดใหม่ จำนวน 1 ยืน จากนั้นได้หาลำดับนิวคลีโอไทด์สมบูรณ์ของยืนด้วยเทคนิค RACE-PCR

ยืน proPO-activating factor (PPAF)

จากการหาและวิเคราะห์ลำดับนิวคลีโอไทค์สมบูรณ์ด้วยเทคนิค RACE-PCR ของยืน PPAF จำนวน 6 ยืน ซึ่งประกอบด้วยยืน PmClipSP1, PmClipSP2, PmMasSPH1, PmMasSPH2 และ PmMasSPH3 ซึ่งได้จากโครงการจีโนมกุ้ง และยืน PmPPAE1 ซึ่งได้จากการทำ RT-PCR ดัง แสดงในตารางที่ 2 ผลจากการวิเคราะห์ลำดับนิวคลีโอไทค์และลำดับกรดอะมิโนของยืน PPAF ทั้ง 6 ยืนพบว่า ยืนทั้งหมดมี clip-domain อยู่ที่ปลาย N และมี serine proteinase (SP)-like domain อยู่ที่ปลาย C ซึ่งเป็นลักษณะของยืน PPAF ที่พบทั้งในแมลงและกุ้ง crayfish

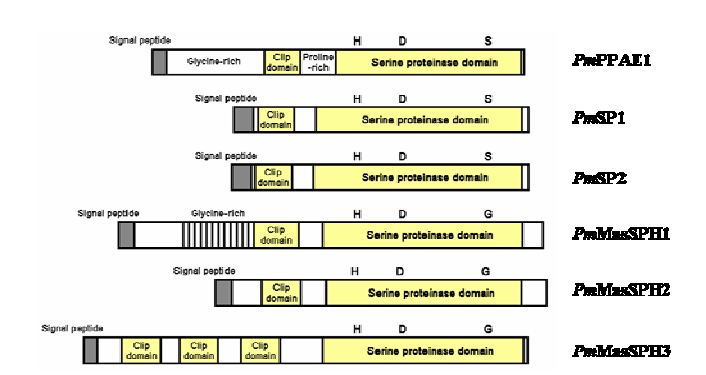
เมื่อวิเคราะห์โดเมนที่ปลาย N พบว่า มี 6 ยีน (PmPPAE1, PmClipSP1, PmClipSP2, PmMasSPH1 และ PmMasSPH2) ที่มี clip-domain อยู่ยีนละ 1 โดเมน ส่วนยีน PmMasSPH3 มี clip-domain อยู่ 3 โดเมน ในขณะที่ปลาย C ของยีน PmPPAE1, PmClipSP1 และ PmClipSP2 มี serine proteinase-like domain เป็น catalytic serine proteinase domain และยืน PmMasSPH1, PmMasSPH2 และ PmMasSPH3 มี SP-like domain เป็น non-catalytic SP domain เพราะที่ตำแหน่ง ของกรดอะมิโน serine ซึ่งเป็น catalytic residue เปลี่ยนเป็น glycine (รูปที่ 1)

Phylogenetic tree analysis

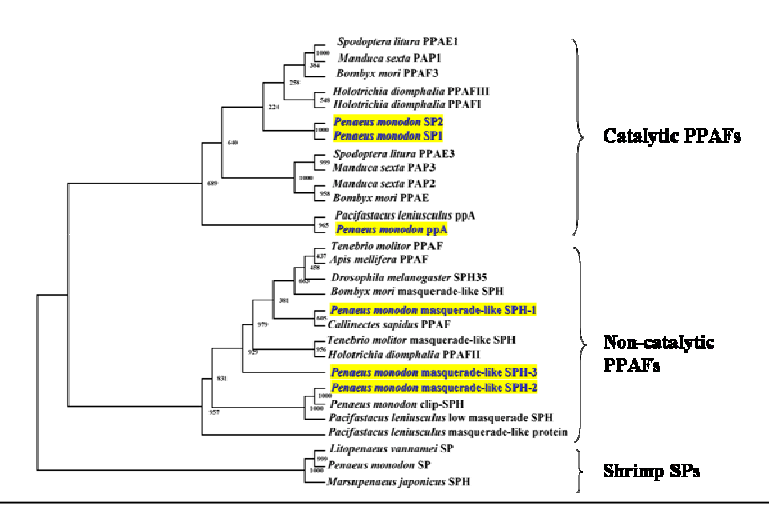
จากการสร้าง phylogenetic tree ของยืน PPAF และ SPs พบว่า สามารถแบ่งยืนออกได้เป็น 3 กลุ่มใหญ่ ๆ ประกอบด้วย (1) catalytic PPAFs (2) non-catalytic PPAFs และ (3) shrimp SPs โดย ยืน PmPPAE1 (P. monodon ppA) มีความใกล้ชิดกับยืน PPA ที่พบใน crayfish (Pacifastacus leniusculus ppA) ส่วนยืน PmClipSP1 (P. monodon SP1) และ PmClipSP2 (P. monodon SP2) มีความใกล้ชิดกับยืน catalytic PPAE ที่พบในแมลง ในขณะที่ยืน PmMasSPH-1 (P. monodon masquerade-like SPH-1), PmMasSPH2 (P. monodon masquerade-like SPH-2) และ PmMasSPH-3 (P. monodon masquerade-like SPH-3) มีความใกล้ชิดกับกลุ่มของยืน non-catalytic PPAF (รูปที่ 2)

ตารางที่ 2 ข้อมูลลำดับนิวคลีโอไทค์สมบูรณ์ของยืน PPAF ที่พบในกุ้งกุลาดำ

Gene	Full-length	ORF	Mature	Closest species	Gene	Similarity	E-value
	cDNA (bp)	(bp)	protein (aa)			(%)	
PmPPAE1	1529	1392	445	Pacifastacus leniusculus	ppA	70	8 x 10 ⁻¹³⁸
PmClipSP1	1509	1101	341	Anopheles gambiae	Serine protease 14D	56	3 x 10 ⁻⁶⁰
PmClipSP2	1347	1110	342	Manduca sexta	Hemolymph proteinase-5	59	3 x 10 ⁻⁵²
PmMasSPH1	1572	1572	504	Callinectes sapidus	PPAF	68	1 x 10 ⁻¹⁰⁷
PmMasSPH2	1689	1233	390	Pacifastacus leniusculus	Mas-like protein	68	8 x 10 ⁻¹¹¹
PmMasSPH3	2714	1656	534	Lonomia obliqua	PPAF1	68	1×10^{-107}



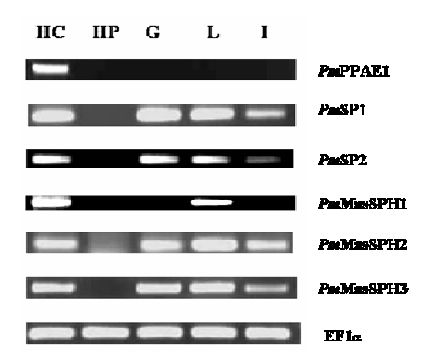
รูปที่ 1 โครงสร้างโดเมนที่พบในขึ้น PmPPAE1, PmClipSP1, PmClipSP2, PmMasSPH1, PmMasSPH2 และ PmMasSPH3 จากเซลล์เม็ดเลือดของกุ้งกุลาดำ ซึ่ง ประกอบด้วย clip domain และ SP-like domain ตัวอักษร H, D, S และ G แสดงกรดอะมิโน histidine, aspartic acid, serine และ glycine ที่ บริเวณ catalytic site ของ SP-like domain



รูปที่ 2 Phylogenetic tree ของขึ้น PPAFs และ SPs ที่พบในแมลงและครัสเตเชียน ประกอบด้วยขึ้น PPAF ของกุ้งกุลาดำ P. monodon (PmPPAE1, PmClipSP1, PmClipSP2, PmMasSPH1, PmMasSPH2 และ PmMasSPH3), ของกุ้ง crayfish Pacifastacus leniusculus (PPA: AJ007668), ของปุ Callinectes sapidus (CsPPAF: AY555734), ของแมลง Tenebrio molito (TmPPAF: AJ400904; TmMLSP: AB084067); ของแมลง Drosophila melanogaster (DmSPH35: AAF52904); ของพื้ง Apis mellifera (AmPPAF: XM_623147); ของแมลง Holotrichia diomphalia (HdPPAFI: AB013088; HdPPAFII: AJ400903; และ HdPPAFIII: AB079666); ของหนอนใหม Bombyx mori (BmPPAF3: AY061936; BmMLSP; AF513368; BmPPAE; AB009670); ของแมลง Spodoptera litura (SlPPAE1: AY677081; SlPPAE3: AY677082); ของแมลง Manduca sexta (MsPAP2: AY077643; MsPAP3: AY188445; MsPAP1: AY789465); ขึ้น serine proteinase ของกุ้งกุลาดำ (PmSP: AY372186) และกุ้งขาว (LvSP: AAQ92356) และขึ้น serine proteinase homologue ของกุ้ง Marsupenaeus japonicus (MjSPH: AB161692)

การตรวจสอบการแสดงออกของยืน PPAF ในเนื้อเยื่อต่าง ๆ ด้วยเทคนิค RT-PCR

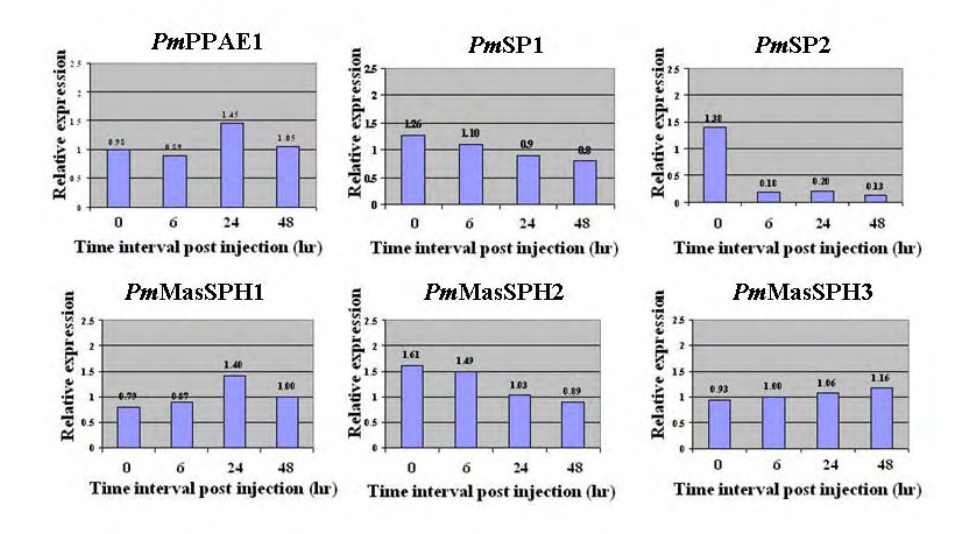
จากการตรวจสอบการแสดงออกของยืน PPAF ใน เม็ดเลือด, hepatopancreas, gill, lymphoid และ intestine ของกุ้งกุลาดำโดยใช้เทคนิค RT-PCR และใช้ EF-1 α เป็น internal control (รูปที่ 3) พบว่า ยีนทั้ง 6 มีการแสดงออกในทุกเนื้อเยื่อที่ทำการศึกษายกเว้นใน hepatopancreas แสดงให้เห็นว่า ยีน PPAF ทั้ง 6 ยีนไม่ใช่ SP ที่แสดงออกใน hepatopancreas ที่เคยมีรายงานไว้ นอกจากนั้น ยังพบว่ายืน PmPPAE1 และ PmMasSPH1 มีการแสดงออกมากในเม็ดเลือด และ lymphoid ซึ่งเป็นเนื้อเยื่อที่มีความสำคัญต่อระบบภูมิคุ้มกันของกุ้งกุลาดำ



รูปที่ 3 การแสดงออกของขึ้น PmPPAE1, PmClipSP1, PmClipSP2, PmMasSPH1, PmMasSPH2 และ PmMasSPH3 ของกุ้งกุลาคำ ในเนื้อเชื้อ hemocyte (HC), hepatopancreas (HP), gill (G), lymphoid (L) และ intestine (I) และขึ้น EF-1 Ct เป็น internal control

การตรวจสอบการแสดงออกของยืน PPAF ด้วยเทคนิค semi-quantitative RT-PCR

จากการตรวจสอบการแสดงออกของยืน PPAF ทั้ง 6 ยืนในเซลล์เม็ดเลือดของกุ้งกุลาดำที่ กระตุ้นด้วยเชื้อ V. harveyi ที่เวลา 0, 6, 24, 48 ชั่ว โมงด้วยเทคนิค semi-quantitative RT-PCR พบว่า ยืน PmPPAE1 และ PmMasSPH1 มีการแสดงออกเพิ่มขึ้นอย่างมีนัยสำคัญ (p < 0.05) ในชั่วโมงที่ 24 หลังจากกระตุ้นด้วยเชื้อ และยืน PmClipSP1, PmClipSP2 และ PmMasSPH2 มีการแสดงออก น้อยลงอย่างมีนัยสำคัญ (p < 0.05) ที่เวลา 6 - 48 ชั่วโมง ในขณะที่ยืน PmMasSPH3 ไม่มีการ เปลี่ยนแปลงหลังจากกระตุ้นด้วยเชื้อ (รูปที่ 4) ชี้ให้เห็นว่า ยืน PmPPAE1 และ PmMasSPH1 น่าจะ เป็นยืนที่เกี่ยวข้องกับระบบภูมิคุ้มกันของกุ้งกุลาดำ

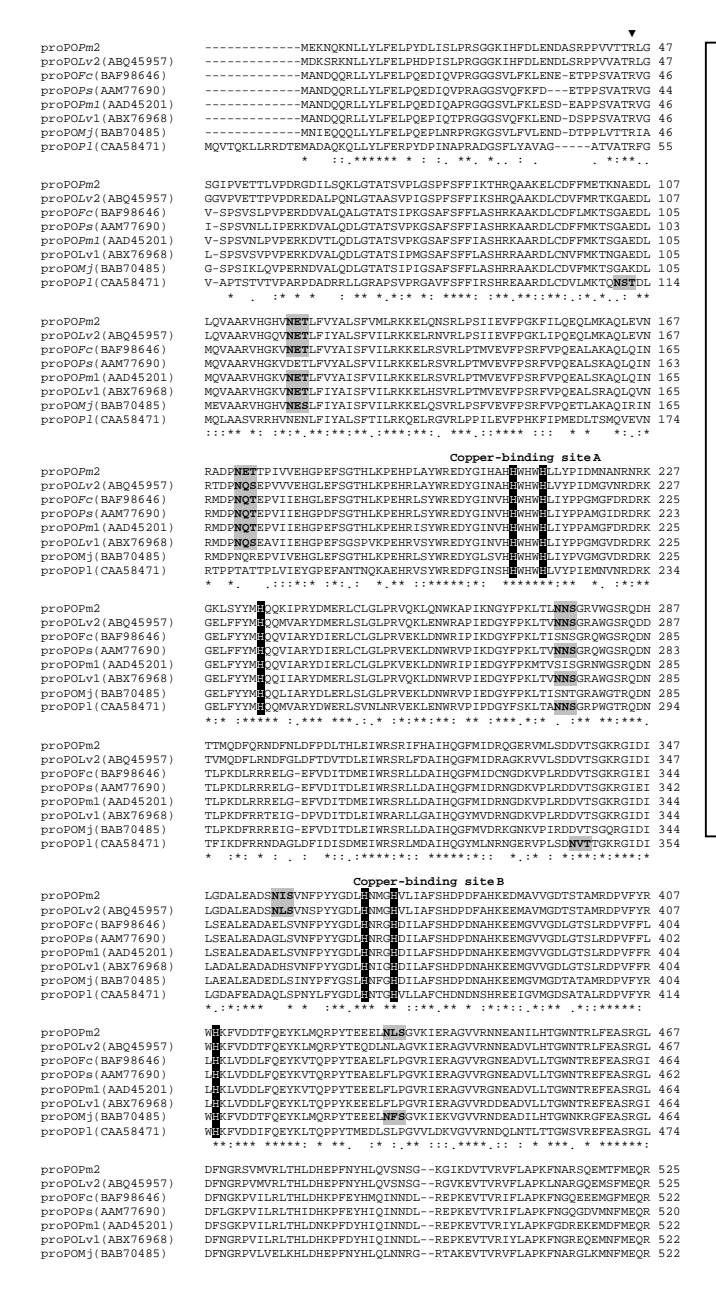


รูปที่ 4. ระดับของการแสดงออกของยืน PmPPAE1, PmClipSP1, PmClipSP2, PmMasSPH1, PmMasSPH2และ PmMasSPH3 ในเม็ดเลือดของกุ้งกุลาดำที่ชั่วโมงต่าง ๆ (0, 6, 24 และ 48) หลังกระตุ้นด้วยเชื้อ V. harveyi โดยวิเคราะห์ ด้วยเทคนิก semi-quantitative RT-PCR และใช้ยืน EF-1 α เป็น internal control

ป็น prophenoloxidase (proPO)

จากการค้นหายืน proPO ในกุ้งกุลาดำ พบยืน proPO จำนวน 2 ยีน ยีนแรกเป็นยีนที่มี รายงาน โดย Sritunyalucksana และคณะ (1999) โดยในงานวิจัยนี้ให้ชื่อว่า PmproPO1 และยีนที่ สองเป็นยืน proPO ชนิดใหม่ให้ชื่อว่า PmproPO2 และได้หาลำดับนิวคลีโอไทด์สมบูรณ์ของยืน PmproPO2 ด้วยเทคนิด RACE-PCR ผลจากการวิเคราะห์ลำดับนิวคลีโอไทด์พบว่า ยีน PmproPO2 มีความยาวของยืนที่สมบูรณ์ทั้งหมด 2513 bp ประกอบด้วย open reading frame (ORF) ยาว 2072 bp ซึ่งแปลรหัสเป็นลำดับกรดอะมิโน 689 ตัว ในส่วน 5'-UTR และ 3'-UTR มีความยาว 113 bp และ 330 bp ตามลำดับ และเมื่อวิเคราะห์ด้วยโปรแกรม SignalP 3.0 ไม่พบ signal peptide เมื่อคำนวณ molecular mass ของโปรตีน PmproPO2 พบว่า มี molecular mass 74.16 kDa และมีค่า pI 6.78 จาก การหา N-glycosylation site (NXT และ NXS) พบว่า ยีน PmproPO2 มี putative N-glycosylation site 5 ตำแหน่งที่กรดอะมิโนตำแหน่งที่ 119 (NET), 172 (NET), 275 (NNS), 357 (NIS) และ 432 (NLS) ซึ่งแสดงว่ายีน PmproPO2 น่าจะเป็น glycoprotein

จากการวิเคราะห์ โครงสร้างปฐมภูมิของกลุ่มโปรตีน proPO จากลำดับกรดอะมิโนของ โปรตีน PmproPO2 (รูปที่ 5) พบ putative cleavage site สำหรับกระตุ้นขึ้น proPO ระหว่างกรดอะมิโนตำแหน่งที่ Arg45 และ Lys46 และพบ thiol-ester motif (GCGWPQHM) ที่กรดอะมิโนตำแหน่ง ที่ Gly584 ถึง Met591 และพบ putative copper-binding site 2 ตำแหน่ง คือ copper-binding site A (มี 3 conserved histidine residue ที่ตำแหน่ง 209, 213 และ 235) และ copper-binding site B (มี 3 conserved histidine residue ที่ตำแหน่ง 369, 373 และ 386)



ฐปที่ 5 Multiple alignment ของขึ้น proPO ที่พบในกุ้งกุลาคำ (proPOP m 1; AAM77689 และ AAD45201) และขึ้น proPOในกุ้ง P. semisulcatus (proPOPs; AAM77690) กุ้งขาว *L*. (proPOLv; ABL10871 และ AAW51360), และกุ้ง *M*. japonicus (proPOMj; BAB70485 และ BAB83773) ตัวอักษรสี ขาวแรเงาสีคำแสดง conserved histidine residue ที่อยู่ภายใน putative copperbinding site A และ B ตัวอักษรสีขาวแร เงาสีดำในกรอบสี่เหลี่ยมแสดง thiol-ester motif (GCGWPQHM) และตัวอักษรสีดำ เข้มแรเงาสีเทาแสดง putative glycosylation site ลูกศรแสคงถึง putative cleavage site สำหรับกระตุ้นยืน proPO * แสคงถึงกรคอะมิโนที่ สัญลักษณ์ เหมือนกัน : และ . แสดงถึงกรดอะมิโนที่ อยู่กลุ่มเคียวกัน

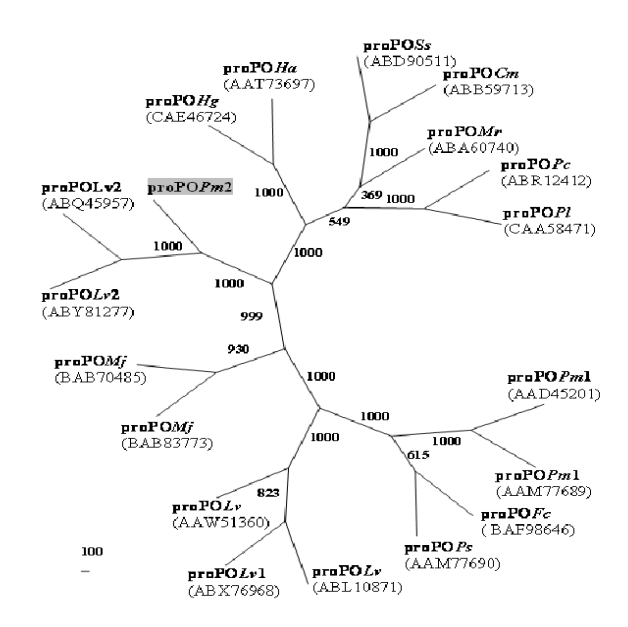
Sequence comparison !!as phylogenetic tree analysis

จากการเปรียบเทียบความเหมือนของยืน PmproPO2 พบว่า มีความเหมือนกับยืน proPO2 ของกุ้ง Litopenaeus vannamei (91%), proPO ของกุ้ง Marsupenaeus japonicus (84%), proPO ของกุ้ง L. vannamei (82%), proPO ของกุ้ง Fenneropenaeus chinensis (81%), proPO ของกุ้ง Penaeus semisulcatus (80%), proPO ของกุ้ง Penaeus monodon (81%), proPO ของกุ้ง lobster Homarus gammarus (76%), proPO ของกุ้ง lobster Homarus americanus (76%) และ proPO ของกุ้ง crayfish Pacifastacus leniusculus (73%) เมื่อทำการเปรียบเทียบ PmproPO1 กับ PmproPO2

พบว่า ยืนทั้งสองมีความยาวของ ORF, ขนาดของ MW, ค่า pI, ตำแหน่งของ putative cleavage site สำหรับกระตุ้น proPO และ putative N-glycosylation ที่แตกแต่งกันดังแสดงในตารางที่ 3 อย่างไรก็ ตาม พบว่าทั้งสองยืนมี thiol-ester motif (GCGWPQHM) ที่เหมือนกันและมี conserved histidine residue จำนวน 6 ตำแหน่งภายใน copper-binding site A และ copper-binding site B ที่เหมือนกัน จากการสร้าง phylogenetic tree ของยืน proPO ของสิ่งมีชีวิตจำพวกครัสเตเซียน (รูปที่ 6) พบว่า ยืน PmproPO2 มีความใกล้ชิดกับยืน proPOLv2 ของกุ้งขาว L. vannamei มากกว่ายืน proPO1 ของทั้งกุ้ง กุลาดำ และกุ้งขาว แสดงให้เห็นว่า ยืน proPOPm2 ที่พบเป็นยืนใหม่ที่พบในกุ้งกุลาดำ

ตารางที่ 3 ข้อมูลของยืน proPOPm1 และ proPOPm2 ที่พบในกุ้งกุลาคำ

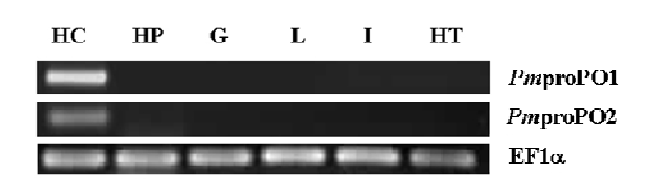
Name of gene	PmproPO1	PmproPO2	
Full-length cDNA	3,002 bp	2,513 bp	
ORF	2,067 bp	2,072 bp	
Protein	688 aa	682 aa	
MW	73.8 kDa	74.16 kDa	
pI	5.98	6.78	
putative cleavage site for activation	Arg44/Val45	Arg45/Lys46	
putative N-glycosylation	มี 4 ตำแหน่ง [117 (NET), 170 (NQT),	มี 5 ตำแหน่ง [119 (NET), 172 (NET),	
	571 (NTS) และ 622 (NTT)]	275 (NNS), 357 (NIS) และ 432 (NLS)]	
Thiol ester motif	GCGWPQHM	GCGWPQHM	
copper-binding site	copper-binding site A (3 conserved	copper-binding site A (3 conserved	
	histidine residues)	histidine residues)	
	copper-binding site B (3 conserved	copper-binding site B (3 conserved	
	histidine residues)	histidine residues)	



รูปที่ 6 Phylogenetic tree ของยืน proPOs ที่พบในครัสเต เชียนประกอบด้วยยืน proPO ของกั้งกลาคำ P. monodon (proPOPm1: AAM77689 และ proPOPm1: AAD45201), กุ้ง ขาว Litopenaeus vannamei (proPOLv1: ABX76968; proPOLv: ABL10871; proPOLv: AAW51360; proPOLv2: ABO45957 และ proPOLv2: ABY81277), กั๋ง kuruma Marsupenaeus japonicus (proPOMj: BAB70485 และ proPOMj: BAB83773), กุ้งจิน Fenneropenaeus chinensis (proPOFc: BAF98646), กุ้ง P. semisulcatus (proPOPs: AAM77690), กุ้ง giant freshwater prawn Macrobrachium rosenbergii (proPOMr: ABA60740), กั๋ง European lobster Homarus gammarus (proPOHg: CAE46724), กุ้ง American lobster Homarus americanus (proPOHa: AAT73697), กุ๋ง signal crayfish Pacifastacus leniusculus (proPOPl: CAA58471), กุ้ง red swamp crayfish Procambarus clarkii (proPOPc: ABR12412), 1 Dungeness crab Cancer magister (proPOCm: ABB59713) และ ปู mud crab Scylla serrata (proPOSs: ABD90511)

การตรวจสอบการแสดงออกของยืนในเนื้อเยื่อต่าง ๆ ด้วยเทคนิค RT-PCR

ตรวจสอบการแสดงออกของยืน PmproPO1 กับ PmproPO2 ในเนื้อเยื่อต่าง ๆ ของกุ้งเช่น เม็คเลือด, hepatopancreas, gill, lymphoid, intestine และ heart ของกุ้งกุลาคำด้วยเทคนิค RT-PCR โดยใช้ EF-1 α ซึ่งเป็น housekeeping gene เป็น control (รูปที่ 7) พบว่า ยืนทั้งสองมีการแสดงออก มากใน hemocyte แต่ไม่มีการแสดงออกใน hepatopancreas และเนื้อเยื่ออื่น ๆ

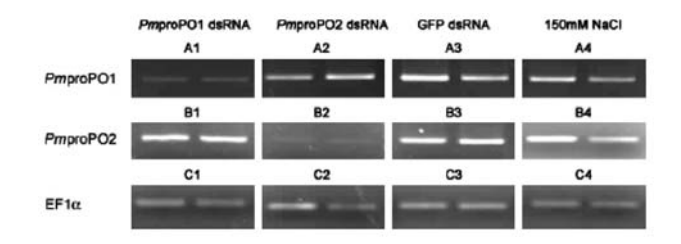


ร**ูปที่ 7** การแสดงออกของขึ้น *Pm*proPO1 และ*Pm*proPO2 ของกุ้งกุลาดำในเนื้อเชื่อ hemocyte (HC), hepatopancreas (HP), gill (G), lymphoid (L), intestine (I) และ heart (HT) และซื่น EF-10 เป็น internal control

1.4.2 การศึกษาหน้าที่ของยืน PPAF และ proPO ด้วยเทคนิค RNA interference (RNAi) การตรวจสอบประสิทธิภาพการยับยั้งการแสดงออกของยืนด้วยเทคนิค RNAi

ทำการศึกษาหน้าที่ของยืน 4 ยืน ซึ่งประกอบด้วย PmproPO1, PmproPO2, PmPPAE1 และ PmClipSP1 ด้วยเทคนิค RNAi โดยฉีด dsRNA ของยืน PmproPO1, PmproPO2, PmPPAE1, PmClipSP1 หรือ GFP (กลุ่มควบคุม) เข้าสู่ตัวกุ้งด้วยปริมาณ 2 μg dsRNA ต่อน้ำหนักกุ้ง 1 g หลังจาก 24 ชั่วโมง ทำการฉีดซ้ำด้วย dsRNA ปริมาณเท่าเดิมพร้อมกับกระตุ้นด้วย LPS และ larminarin (β-glucan) ทำการเลี้ยงกุ้งต่ออีก 48 ชั่วโมง จากนั้น ทำการเก็บเลือดมาสกัด RNA และ สร้าง cDNA วิเคราะห์ด้วยเทคนิค RT-PCR เพื่อตรวจสอบประสิทธิภาพการยับยั้งการแสดงออก ของยืนด้วยเทคนิค RNAi

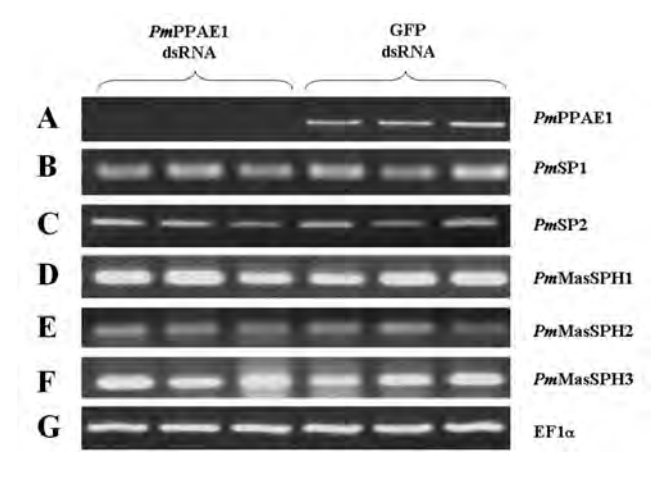
ผลจากการตรวจสอบเมื่อใช้ โพรเมอร์ ที่จำเพาะกับยืน PmproPO1 (โพรเมอร์ PmPO1-F และ PmPO1-R), PmproPO2 (โพรเมอร์ PmPO2-F และ PmPO2-R), PmPPAE1 (โพรเมอร์ PmPPArt-F และ PmPPArt-R) หรือ PmClipSP1 (โพรเมอร์ PmClipSP1-F และ PmClipSP1-R) พบว่า dsRNA ของแต่ละยืน (PmproPO1, PmproPO2, PmPPAE1 หรือ PmClipSP1) สามารถลด การแสดงออกของแต่ละยืน PmproPO1 (รูปที่ 8A1), PmproPO2 (รูปที่ 8B2), PmPPAE1 (รูปที่ 9A) หรือ PmClipSP1 (รูปที่ 10A) ได้ตามลำดับ เมื่อเทียบกับกลุ่มควบคุม ที่ฉีดด้วย dsRNA GFP (รูปที่ 8A3 และ B3; รูปที่ 9A) หรือ NaCl (รูปที่ 8A4 และ B4) นอกจากนั้น ยังพบว่า dsRNA ของทั้งสี่ยืน สามารถยับยั้งการแสดงออกได้นานอย่างน้อย 5 วันหลังจากทำการ knockdown



รูปที่ 8 ระดับการแสดงออกของขึ้น PmproPO1 และ PmproPO2 ในเม็ดเลือดของกุ้งกุลาดำที่ถูกขับยั้งการแสดงออกของขืนด้วย เทกนิก RNAi รูป A1 - A4 แสดงระดับการแสดงออกของขึ้น PmproPO1 ในเม็ดเลือดของกุ้งที่ถูกฉีดด้วย PmproPO1 dsRNA (A1), PmproPO2 dsRNA (A2), GFP dsRNA (A3) หรือ NaCl solution (A4) B1 - B4 แสดงระดับการแสดงออกของขืน PmproPO2 ใน เม็ดเลือดของกุ้งที่ถูกฉีดด้วย PmproPO1 dsRNA (B1), PmproPO2 dsRNA (B2), GFP dsRNA (B3) หรือ NaCl solution (B4) C1 - C4 แสดงระดับการแสดงออกของขืน EF-1 α (housekeeping gene หรือ internal control gene) ในเม็ดเลือดของกุ้งที่ถูกฉีดด้วย PmproPO1 dsRNA (C1), PmproPO2 dsRNA (C2), GFP dsRNA (C3) หรือ NaCl solution (C4)

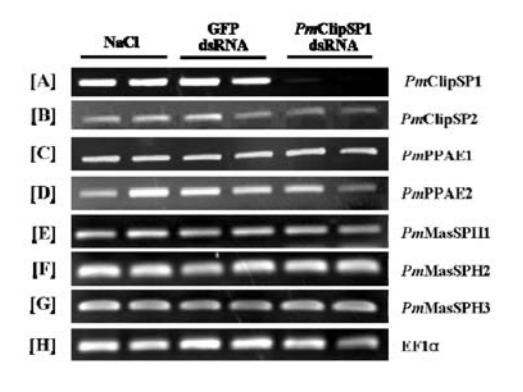
การตรวจสอบความจำเพาะของการยับยั้งการแสดงออกของยืนด้วยเทคนิค RNAi

เมื่อทำการตรวจสอบผลของการยับยั้งการแสดงออกของยืนทั้งสี่ยืนต่อการแสดงออกของ ยืนอื่น ๆ ที่มีลำคับนิวคลีโอไทด์ที่คล้ายกัน หรือยืนที่มีโครงสร้างคล้ายกัน พบว่า dsRNA ของ PmproPO1 หรือ PmproPO2 ไม่มีผลในการไปยับยั้งการแสดงออกของยืน PmproPO2 mRNA (รูป ที่ 8A2) หรือ PmproPO1 mRNA (รูปที่ 8B1) ตามลำดับ ในส่วนของยืน PmPPAE1 หรือ PmClipSP1 พบว่า dsRNA ของยืน PmPPAE1 หรือ PmClipSP1 ไม่มีผลต่อการแสดงออกของยืนใน กลุ่ม clip domain serine proteinase (รูปที่ 10) ที่พบในกุ้งกุลาดำทั้ง 6 ชนิด ซึ่งประกอบด้วยยืน PmPPAE2 (FJ620685), PmClipSP1 (FJ620688), PmClipSP2 (FJ620687), PmMasSPH1 (DQ455050), PmMasSPH2 (FJ620686) และ PmMasSPH3 (FJ620689) ผลการทดลองแสดงให้ เห็นว่า สามารถยับยั้งการแสดงออกของทั้งสี่ยืนได้อย่างมีประสิทธิภาพและมีความจำเพาะ ซึ่ง สามารถนำมาศึกษาหน้าที่ของยืนนั้นได้ในขั้นตอนต่อไป



รูปที่ 9 ระดับการแสดงออกของยืน PmPPAE1

(A) ในเม็ดเลือดของกุ้งกุลาดำที่ถูกถืดด้วย dsRNA
ของ PmPPAE1 และ GFP (กลุ่มควบกุม) B, C, D, E,
F แสดงระดับการแสดงออกของยืนในกลุ่ม clip
domain SP ที่พบในกุ้งกุลาดำประกอบด้วยยืน
PmClipSP1 (B), PmClipSP2 (C), PmMasSPH1 (D),
PmMasSPH2 (E) และ PmMasSPH3 (F) G แสดง
ระดับการแสดงออกของยืน EF-1α (housekeeping
gene หรือ internal control gene) ในเม็ดเลือดของกุ้งที่
ถูกฉีดด้วย PmPPAE1 และ GFP (กลุ่มควบกุม)



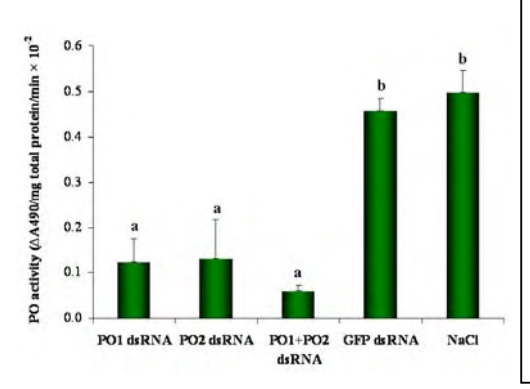
รูปที่ 10 การแสดงออกของขึ้น PmClipSP1 (A) ในเม็คเลือดของ กุ้งกุลาคำที่ถูกฉีดด้วย PmClipSP1 dsRNA หรือ GFP dsRNA (กลุ่มควบคุม) หรือ NaCl solution (กลุ่มควบคุม) รูป B, C, D, E, F, G แสดงระดับการแสดงออกของขึ้นในกลุ่ม clip domain serine proteinase ที่พบในกุ้งกุลาคำประกอบด้วยขื้น PmClipSP2 (B), PmPPAE1 (C), PmPPAE2 (D), PmMasSPH1 (E), PmMasSPH2 (F) และ PmMasSPH3 (G) (H) แสดงระดับ การแสดงออกของขืน EF-1α (internal control gene)

การศึกษาความสำคัญของยืน PmproPO1, PmproPO2, PmPPAE1 และ PmClipSP1 ต่อ ระบบ proPO โดยตรวจสอบ phenoloxidase (PO) activaty หลังการยับยั้งการแสดงออกของยืน PO acitivity ในเลือดกุ้งที่ถูกฉีดด้วย PmproPO1 และ PmproPO2 dsRNA

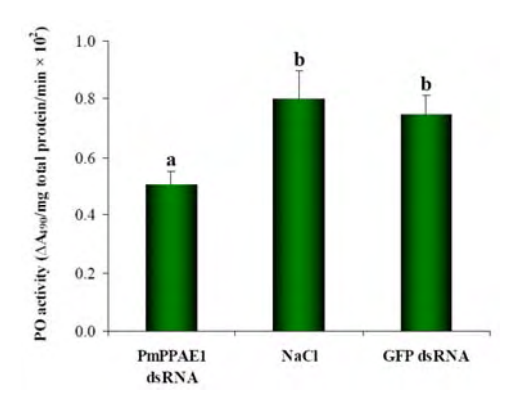
ผลจากการยับยั้งการแสดงออกของยืน PmproPO1 และ PmproPO2 และตรวจสอบ phenoloxidase (PO) activity ของกุ้งที่ถูก knockdown เพื่อศึกษาว่า ยืนมีความเกี่ยวข้องกับระบบ proPO จากผลการทดลองพบว่า กุ้งที่ฉีดด้วย dsRNA ของยืน PmproPO1 หรือ PmproPO2 จะมี PO activity ลดลง 75% และ 73% ตามลำดับ (รูปที่ 11) เมื่อเปรียบเทียบกับกลุ่มควบคุม (กุ้งที่ฉีดด้วย NaCl) ในขณะที่ PO activity ของกลุ่มที่ฉีดด้วย GFP dsRNA ไม่มีความแตกต่างกันอย่างมี นัยสำคัญเมื่อเทียบกับกุ้งที่ฉีดด้วย NaCl (p < 0.05, ANOVA, Duncan's test) เมื่อทำการ cosilencing ด้วย PmproPO1 dsRNA และ PmproPO2 dsRNA พร้อมกัน พบว่า สามารถลด PO activity ใค้ถึง 88% อย่างไรก็ตาม พบว่า ผลต่อ PO activity จากการยับยั้งการแสดงออกของยืน เดี๋ยวหรือพร้อมกันไม่มีความแตกต่างอย่างมีนัยสำคัญ จากผลสามารถสรุปได้ว่าทั้ง PmproPO1 และ PmproPO2 มีหน้าที่ในระบบ proPO ในกุ้งกุลาดำ

PO activity ในเลือดของกุ้งที่ถูกฉีดด้วย PmPPAE1 และ PmClipSP1 dsRNA

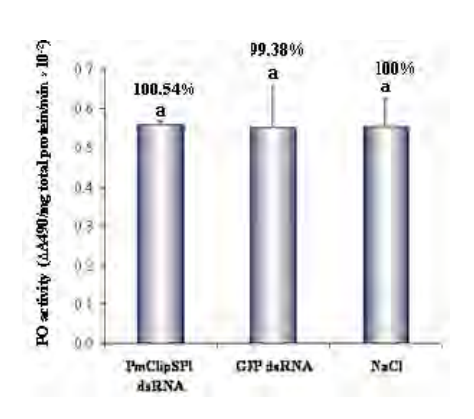
ผลจากการยับยั้งการแสดงออกของยืน PmPPAE1 และ PmClipSP1 และตรวจสอบ PO activaty ของกุ้งที่ถูก knockdown เพื่อศึกษาว่ายืน PmPPAE1 มีความเกี่ยวข้องกับระบบ proPO โดย เมื่อทำการตรวจสอบ PO activity ในกุ้งที่ถูก knockdown ด้วยยืน PmPPAE1 พบว่าสามารถลด PO activity ได้ ~36.7% ในขณะที่กุ้งที่ฉีดด้วย dsRNA ของยืน PmClipSP1 ไม่พบการเปลี่ยนแปลงของ PO activity (รูปที่ 12 และ 13) เมื่อเปรียบเทียบกับกลุ่มควบคุม (กุ้งที่ฉีดด้วย NaCl) ในขณะที่ PO activity ของกลุ่มที่ฉีดด้วย GFP dsRNA ไม่มีความแตกต่างกันอย่างมีนัยสำคัญเมื่อเทียบกับกุ้งที่ฉีดด้วย NaCl (p < 0.05, ANOVA, Duncan's test) สรุปได้ว่า ยืน PmPPAE1 มีความเกี่ยวข้องกับระบบ proPO ในกุ้งกุลาดำ



รูปที่ 11 Phenoloxidase (PO) activity ในเลือดของกุ้ง กุลาดำที่ถูกขับขั้งการแสดงออกของขึ้น *Pm*proPO1 และ *Pm*proPO2 ด้วยเทคนิค RNAi โดยกลุ่มที่ 1 (PO1 dsRNA) กุ้งที่ถืดด้วย *Pm*proPO1 dsRNA กลุ่มที่ 2 (PO2 dsRNA) กุ้งที่ฉีด ด้วย *Pm*proPO2 dsRNA กลุ่มที่ 3 (PO1+PO2 dsRNA) กุ้งที่ฉีดด้วย *Pm*proPO1 dsRNA และ *Pm*proPO2 dsRNA พร้อม กัน กลุ่มที่ 4 (GFP dsRNA) กุ้งที่ฉีดด้วย GFP dsRNA (control dsRNA) และกลุ่มที่ 5 (NaCl) กุ้งที่ฉีดด้วย 150 mM NaCl (control)



รูปที่ 12 Phenoloxidase (PO) activity ในเลือดของกุ้ง กุลาดำที่ถูกขับขั้งการแสดงออกของขึ้น PmproPO1 และ PmproPO2 ด้วยเทกนิก RNAi โดยกลุ่มที่ 1 (PO1 dsRNA) กุ้ง ที่ถืดด้วย PmproPO1 dsRNA กลุ่มที่ 2 (PO2 dsRNA) กุ้งที่ถืด ด้วย PmproPO2 dsRNA กลุ่มที่ 3 (PO1+PO2 dsRNA) กุ้งที่ถืดด้วย PmproPO1 dsRNA และ PmproPO2 dsRNA พร้อม กัน กลุ่มที่ 4 (GFP dsRNA) กุ้งที่ถืดด้วย GFP dsRNA (control dsRNA) และกลุ่มที่ 5 (NaCl) กุ้งที่ถืดด้วย 150 mM NaCl (control)

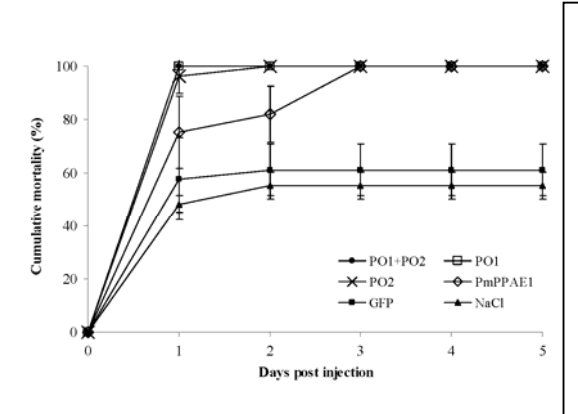


รูปที่ 13 Phenoloxidase (PO) activity ในเลือดของกุ้ง กุลาดำที่ถูกยับยั้งการแสดงออกของยืน PmClipSP1 ด้วย เทคนิค RNAi ในการทคลอง ได้แบ่งกุ้งออกเป็น 3 กลุ่ม ๆ ละ 3 ตัวอย่าง และในแต่ละกลุ่มการทคลอง ทำการทคลอง ทั้งหมด 3 กรั้ง กลุ่มที่ 1 (PmClipSP1 dsRNA) กุ้งที่ฉีดด้วย PmClipSP1 dsRNA กลุ่มที่ 2 (GFP dsRNA) กุ้งที่ฉีดด้วย GFP dsRNA (control dsRNA) และกลุ่มที่ 3 (NaCl) กุ้งที่ฉีด ด้วย 150 mM NaCl (control)

Cumulative mortality assay

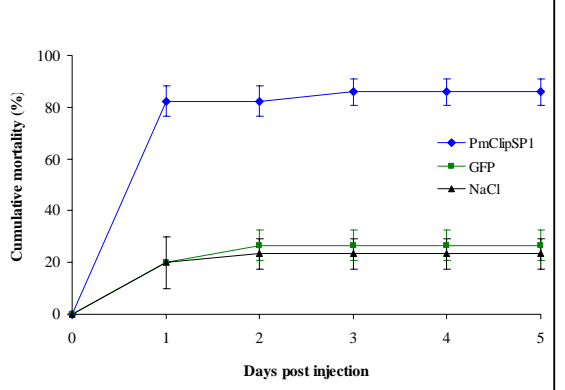
ทคสอบความสำคัญของยืนทั้งสี่ต่อความอยู่รอดของกุ้ง หลังจากที่ถูกกระคุ้นด้วยเชื้อ แบคทีเรียแกรมลบ V. harveyi 639 ซึ่งเป็น pathogenic bacteria ของกุ้งกุลาคำ ในการทคลองแรกซึ่ง ประกอบด้วยยืน PmproPO1, PmproPO2 และ PmPPAE1 ซึ่งเป็นยืนที่เกี่ยวข้องกับระบบ proPO โดยได้ฉีดกุ้งด้วยอัตราส่วน 2 µg dsRNA ต่อกุ้งหนัก 1 g โดยได้แบ่งกุ้งออกเป็นกลุ่ม ๆ ละ 10 ตัวอย่าง และในแต่ละกลุ่มการทคลอง ทำการทคลองทั้งหมค 3 ครั้ง แบ่งเป็น 6 กลุ่ม กลุ่ม (1) กุ้งที่ ฉีคด้วย PmproPO1 dsRNA กลุ่ม (2) กุ้งที่ฉีดด้วย PmproPO2 dsRNA กลุ่ม (3) กุ้งที่ฉีดด้วย PmproPO1 dsRNA และ PmproPO2 dsRNA พร้อมกัน กลุ่ม (4) กุ้งที่ฉีดด้วย PmPPAE1 กลุ่ม (5)

กุ้งที่ฉีดด้วย GFP dsRNA (control dsRNA) และกลุ่ม (6) กุ้งที่ฉีดด้วย 150 mM NaCl (control) ผล จากการทดลองพบว่า กุ้งกลุ่ม (1) ที่ฉีดด้วย PmproPO1 dsRNA และกลุ่ม (3) ที่ฉีดด้วย PmproPO1 dsRNA และกลุ่ม (3) ที่ฉีดด้วย PmproPO1 dsRNA และ PmproPO2 dsRNA พร้อมกัน มีอัตราการตายเพิ่มขึ้นถึง 100% ภายใน 1 วันหลังการ กระตุ้นด้วยเชื้อ กุ้งกลุ่ม (2) ที่ฉีดด้วย PmproPO2 dsRNA มีอัตราการตายเพิ่มขึ้น 96.3% และตาย เพิ่มขึ้นเป็น 100% ภายในวันที่หนึ่งและวันที่สองตามลำดับ กุ้งกลุ่ม (4) ที่ฉีดด้วย PmPPAE1 มี อัตราการตาย 100% ภายใน 3 วันหลังกระตุ้นด้วยเชื้อ ในขณะที่กุ้งกลุ่มควบกุม กลุ่ม (5) ที่ฉีดด้วย GFP dsRNA (control dsRNA) มีอัตราการตาย 61.1% ซึ่งไม่แตกต่างอย่างมีนัยสำคัญเมื่อเทียบกับกุ้ง กลุ่มควบกุม กลุ่ม(6) ที่ฉีดด้วย 150 mM NaCl (55.2%) (รูปที่ 14)



รูปที่ 14 อัตราการตายของกุ้งที่ถูกยับยั้งการแสดงออกของยืนและ กระตุ้นค้วยการฉีดเชื้อ V. harveyi 639 $(2 \times 10^5 \, \mathrm{CFU})$ โดยฉีดกุ้ง ขนาดประมาณ $10 \, \mathrm{g}$ (อัตราส่วน $2 \, \mu \mathrm{g}$ dsRNA ต่อน้ำหนักกุ้ง $1 \, \mathrm{g}$) โดยแบ่งกุ้งเป็น 6 กลุ่ม 9 ละ 10 ตัวอย่าง และทำการทดลอง ทั้งหมด 3 ครั้ง กลุ่ม $1 \, (\longrightarrow)$ กุ้งที่ฉีดด้วย $PmproPO1 \, \mathrm{dsRNA}$ กลุ่ม $2 \, (\longrightarrow)$ กุ้งที่ฉีดด้วย $PmproPO2 \, \mathrm{dsRNA}$ กลุ่ม $3 \, (\longrightarrow)$ กุ้งที่ฉีดด้วย $PmproPO2 \, \mathrm{dsRNA}$ กลุ่ม $3 \, (\longrightarrow)$ กุ้งที่ฉีดด้วย $PmproPO2 \, \mathrm{dsRNA}$ กลุ่ม $5 \, (\longrightarrow)$ กุ้งที่ฉีดด้วย $9 \, \mathrm{dsRNA}$ กลุ่ม $9 \, \mathrm{dsRNA}$

ในส่วนของยืน PmClipSP1 ได้ทดสอบความสำคัญของยืนทั้งสองต่อความอยู่รอดของกุ้ง หลังจากที่ถูกกระตุ้นด้วยเชื้อ V. harveyi 639 โดยได้ฉีดกุ้งด้วยอัตราส่วน 2 $\mu_{\rm g}$ dsRNA ต่อกุ้งหนัก 1 $_{\rm g}$ โดยได้แบ่งกุ้งออกเป็นกลุ่ม ๆ ละประมาณ 9-10 ตัวอย่าง และในแต่ละกลุ่มการทดลอง ทำการ ทดลองทั้งหมด 3 ครั้ง แบ่งเป็น 3 กลุ่ม กลุ่ม (1) กุ้งที่ฉีดด้วย PmClipSP1 dsRNA กลุ่ม (2) กุ้งที่ฉีดด้วย GFP dsRNA (control dsRNA) และกลุ่ม (3) กุ้งที่ฉีดด้วย 150 mM NaCl (control) ผลพบว่า กุ้ง กลุ่ม (1) ที่ฉีดด้วย PmClipSP1 dsRNA มีอัตราการตายเพิ่มขึ้นเป็น 86% ภายใน 3 วัน (รูปที่ 15) ซึ่งมี ความแตกต่างอย่างมีนัยสำคัญเมื่อเทียบกับกุ้งกลุ่มควบคุม โดยกุ้งกลุ่มควบคุมที่ฉีดด้วย GFP dsRNA (กลุ่ม 2) มีอัตราการตาย 26.67% และกลุ่มควบคุมที่ฉีดด้วย 150 mM NaCl (กลุ่ม3) มีอัตรา

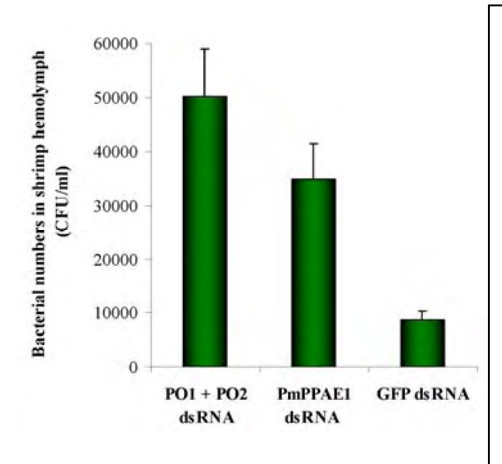


การตาย 23.33%

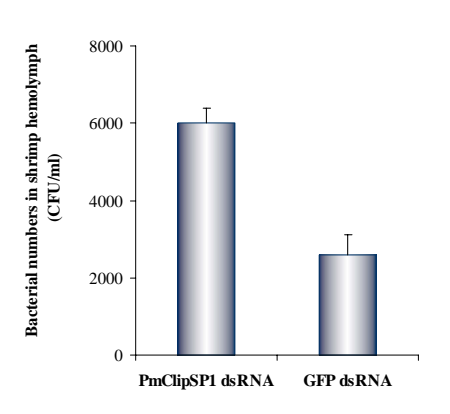
การตรวจสอบจำนวนของเชื้อ V. harveyi ในเลือดของกุ้งกุลาดำที่ถูกยับยั้งการแสดงออก ของยืนด้วยเทคนิค RNAi

ผลจากการทดลองทำ cumulative mortality assay ของกุ้งที่ถูกขับขั้งการแสดงออกของขึ้น และฉีคกระดุ้นด้วยเชื้อแบคทีเรีย V. harveyi 639 ซึ่งเป็น pathogenic bacteria ในกุ้งกุลาคำ และ พบว่า กุ้งที่ถูกขับขั้งการแสดงออกของขึ้นมีอัตราการตายสูงกว่ากลุ่มควบคุม เราจึงทำการศึกษาว่า การขับขั้งการแสดงออกของขึ้นทั้งสี่ขึ้น PmproPO1, PmproPO2, PmPPAE1 และ PmClipSP1 มีผล ทำให้เชื้อ V. harveyi สามารถเพิ่มจำนวนใต้ในกุ้ง โดยทำการขับขั้งการแสดงออกของขึ้นและฉีด กระคุ้นด้วยเชื้อ จากนั้นทำการเก็บเลือดมาตรวจสอบจำนวนเชื้อโดย plate count method พบว่า กุ้ง กลุ่มที่ถูกขับขั้งการแสดงออกของขืน PmproPO1 และ PmproPO2 โดยการฉีดด้วย PmproPO1 dsRNA และ PmproPO2 dsRNA พร้อมกัน และฉีดกระคุ้นด้วยเชื้อ V. harveyi เมื่อดูดเลือดมานับ จำนวนเชื้อ V. harveyi พบว่า กุ้งกลุ่มที่ถูกขับขั้งการแสดงออกของขืนมีจำนวนเชื้อมากขึ้นประมาณ 6 เท่า (รูปที่ 16) เมื่อเทียบกับกลุ่มกุ้งที่ฉีดด้วย GFP dsRNA ในขณะที่กุ้งกลุ่มที่ถูกขับขั้งการ แสดงออกของขืน PmPPAE1 หรือ PmClipSP1 โดยการฉีดด้วย PmPPAE1 หรือ PmClipSP1 โดยการฉีดด้วย PmPPAE1 หรือ PmClipSP1 โดยการฉีดด้วย PmPPAE1 หรือ PmClipSP1 เมื่านวนเชื้อมากขึ้นประมาณ 4 เท่า (รูปที่ 16) และ 2.4 เท่า (รูปที่ 17) ตามลำดับ เมื่อเทียบกับกลุ่มกุ้งที่ฉีดด้วย GFP dsRNA จากผลการทดลองแสดงให้เห็นว่า กุ้งที่ถูกขับขั้งการแสดงออกของขีนมีจำนวนเชื้อ V. harveyi มากขึ้นอย่างมีนัยสำคัญเมื่อเทียบกับกลุ่มกุงที่ถูกขับขั้งการแสดงออกของขีนมีจำนวนเชื้อ V. harveyi มากขึ้นอย่างมีนัยสำคัญเมื่อเทียบกับกลุ่มคุมกาวการบุดม (GFP dsRNA)

จากผลการทคลองทั้งหมด สามารถวิเคราะห์ได้ว่า ยืน PmproPO1, PmproPO2 และ PmPPAE1 เป็นยืนที่เกี่ยวข้องกับระบบ proPO ในขณะที่ยืนPmClipSP1 ไม่เกี่ยวข้องกับระบบ proPO อย่างไรก็ตามพบว่าทั้ง 4 ยืนเป็นยืนที่มีความสำคัญต่อระบบภูมิคุ้มกันที่สำคัญต่อการอยู่รอด ของกุ้งที่ติดเชื้อ V. harveyi 639 ซึ่งเป็น pathogenic bacteria ในกุ้งกุลาคำ



รูปที่ 16 จำนวนของเชื้อ V. harveyi 639 (CFU/mL) ในเลือดของกุ้งที่ ถูกขับขั้งการแสดงออกของขีน PmproPO1 และ PmproPO2 (PO1+PO2 dsRNA) และ PmPPAE1 (PmPPAE1 dsRNA) ฉีคกุ้ง ขนาดประมาณ 10 g (อัตราส่วน 2 µg dsRNA ต่อน้ำหนักกุ้ง 1 g) หลังจาก 24 ชั่วโมง ทำการฉีดช้ำด้วย dsRNA ปริมาณเท่าเดิมพร้อม กับฉีดกระตุ้นด้วย V. harveyi 639 (2 × 10 °CFU) จากนั้น 6 ชั่วโมง เก็บเลือดมานับจำนวนเชื้อ V. harveyi โดย plate count method โดย แบ่งการทดลองเป็น 3 กลุ่ม ๆ ละ 3 - 4 ตัวอย่าง และทำการทดลอง ทั้งหมด 3 ครั้ง กลุ่มที่ 1 คือ กุ้งที่ฉีดด้วย PmproPO1 dsRNA และ PmproPO2 dsRNA พร้อมกัน กลุ่มที่ 2 คือ กุ้งที่ฉีดด้วย PmPPAE1 dsRNA และกลุ่มที่ 3 คือ กุ้งที่ฉีดด้วย GFP dsRNA (control dsRNA)



ร**ูปที่ 17** จำนวนของเชื้อ V. harveyi 639 (CFU/ml) ในเลือด ของกุ้งที่ถูกยับยั้งการแสดงออกของขืน PmClipSP1 (PmClipSP1 dsRNA) ถืดกุ้งขนาดประมาณ 3 g (อัตราส่วน 2 µg dsRNA ต่อน้ำหนักกุ้ง 1 g) หลังจาก 24 ชั่วโมง ถึดซ้ำด้วย dsRNA ปริมาณเท่าเดิมพร้อมกับถืดกระตุ้นด้วย V. harveyi 639 (2 × 10⁵ CFU) จากนั้น 6 ชั่วโมง เก็บเลือดมานับจำนวนเชื้อ V. harveyi โดย plate count method โดยแบ่งการทดลองเป็น 3 กลุ่ม ๆ ละ 3 ตัวอย่าง และทำการทดลองทั้งหมด 3 ครั้ง กุ้งกลุ่ม ควบคุมฉีดด้วย GFP dsRNA (control dsRNA)

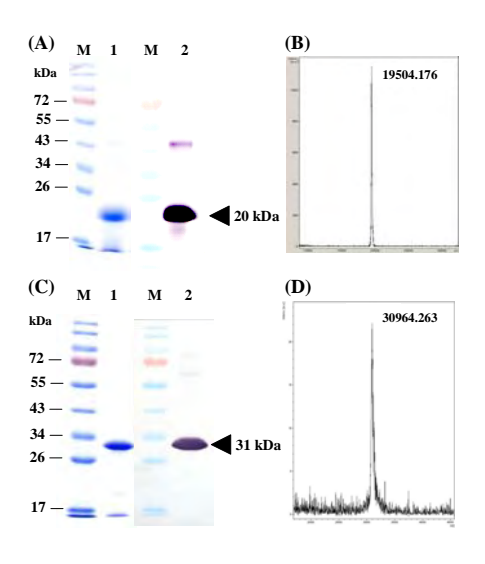
1.4.3 การสร้างและผลิตรีคอมบีแนนท์โปรตีนของยืน *Pm*MasSPH1

ประกอบด้วยสองส่วนที่น่าจะมีความสำคัญทางชีวภาพคือ PmMasSPH1 ทางด้านปลาย N ประกอบด้วย glycine-rich repeats และ clip domain (Gly-Clip domain) และ ทางค้านปลาย C ประกอบด้วย serine proteinase domain (SP domain) คังนั้นผู้วิจัยได้ทำการสร้าง และผลิตรีคอมบิแนนท์โปรตีนเพื่อมาศึกษาหน้าที่ทางชีวภาพ ผลจากการผลิตรีคอมบิแนนท์โปรตีน พบว่ามีการแสดงออกในส่วนที่เป็น inclusion body และทำให้ละลายโดยใช้ 8M urea และแยก บริสุทธิ์ด้วย Ni-NTA affinity column หลังจากนำรีคอมบิแนนท์โปรตีนที่แยกบริสุทธิ์ไปวิเคราะห์ ด้วยเทคนิค SDS-PAGE และ Western blotting โดยใช้ anti-His antibody พบแถบโปรตีนขนาด ประมาณ 20 kDa สำหรับ Gly-Clip domain และ 31 kDa สำหรับ SP domain (รปที่ 18) นอกจากนั้น เมื่อตรวจสอบ molecular weight โดยใช้ MALDI-TOF mass spectrometry พบว่ารีคอมบิแนนท์ โปรตีนที่ใค้มีขนาค 20,115.40 Da และ 31,060.39 Da (รูปที่ 18) ซึ่งใกล้เคียงกับที่ใค้คำนวณไว้คือ 19,504.176 Da และ 30,964.263 Da ของรีกอมบิแนนท์โปรตีน Gly-Clip domain และ SP domain จากผลแสดงให้เห็นว่าสามารถผลิตและแยกบริสุทธิ์รีคอมบิแนนท์โปรตีนได้เพียง ตามถำดับ พอที่จะใช้ศึกษาหน้าที่ทางชีวภาพต่อไปได้ เนื่องจากยืน PmMasSPH1 เป็นยืนในกลุ่มของ serine proteinase homologue ซึ่งมีรายงานถึงหน้าที่ชีวภาพหลายแบบ เช่น มี proteinase activity มีหน้าที่ เป็น cell adhesion molecule มีความสามารถจับกับผนังเซลล์ของจุลชีพได้ และมี antimicrobial activity ดังนั้นในการศึกษาขั้นต่อไปจึงได้ทำการศึกษาหน้าที่ทางชีวภาพของรีคอมบิแนนท์โปรตีน

Serine proteinase activity assay

เนื่องจากยืน PmMasSPH1 มี serine proteinase domain อยู่ที่บริเวณปลาย C อย่างไรก็ตาม เมื่อวิเคราะห์พบว่ากรคอะมิโนที่เป็น active site คือ Ser ของโปรติเนสทั่วไป มีการเปลี่ยนเป็น Gly ในยืน PmMasSPH1 ซึ่งแสดงให้เห็นว่า PmMasSPH1 ไม่น่าจะมี proteinase activity ดังนั้นในการ ทดลองนี้ได้ทำการตรวจสอบ proteinase activity ของโปรตีน rSP domain โดยใช้ substrate ของโปรติเนส 3 ชนิดคือ trypsin, chymotrypsin และ elastase พบว่าโปรตีน rSP domain ไม่มี proteinase

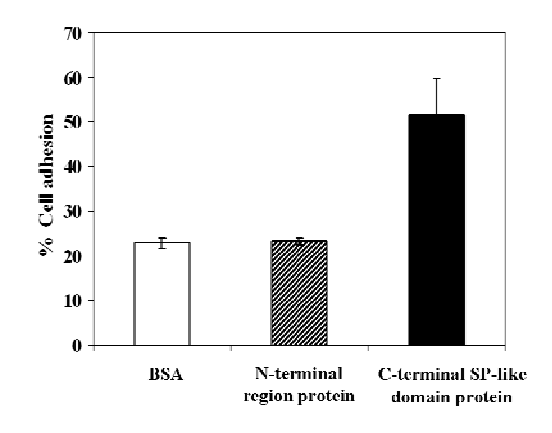
activity กับทั้ง 3 substrate ที่ใช้ศึกษา จากผลแสดงให้เห็นว่า *Pm*MasSPH1 ไม่มี proteinase activity เนื่องมาจากบริเวณ active site ของ SP domain มีการเปลี่ยนเป็น Gly



รูปที่ 18 รีกอมบิแนนท์โปรตีน Gly-Clip domain (A และ B) และ SP domain (C และ D) วิเคราะห์ด้วยเทคนิค SDS-PAGE (A และ C, แถว 1), Western blotting (A และ C, แถว 2) และ MALDI-TOF mass spectrometry (B และ D) ตามลำดับ แถว M แสดง pre-stained protein standard marker

Cell adhesion assay

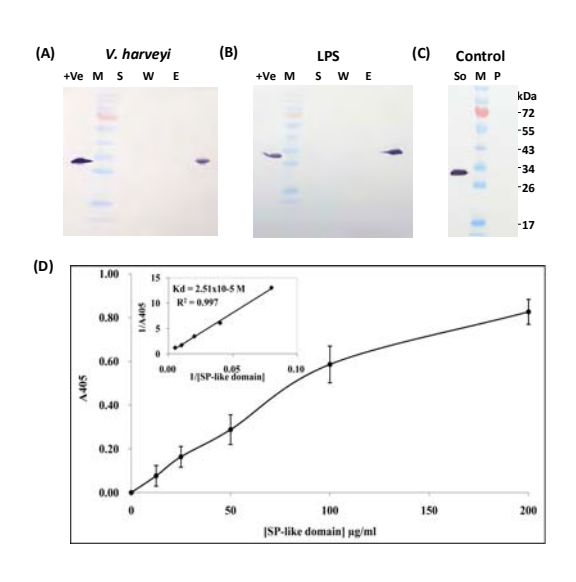
จากการศึกษาหน้าที่ทางชีวภาพของโปรตีน PmMasSPH1 ถึงคุณสมบัติในการเป็น cell adhesion molecule ผลพบว่าโปรตีน rSP domain สามารถยึดติดเซลล์เม็ดเลือดของกุ้งได้มากถึง 51% (รูปที่ 19) ซึ่งมากว่าในกลุ่มควบคุมที่ใช้โปรตีน BSA มีค่า 25% อย่างไรก็ตามพบว่า rGly-Clip domain ไม่สามารถยึดติดเซลล์เม็ดเลือดของกุ้งได้ จากผลการทดลองแสดงให้เห็นว่าในส่วนของ SP domain ของโปรตีน PmMasSPH1 มี adhesion activity ทำหน้าที่เป็น cell adhesion molecule ในการยึดติดกับเซลล์เม็ดเลือดของกุ้งได้



รูปที่ 19 Cell adhesion activity ของรีคอมบิแนนท์ โปรตีน Gly-Clip domain (N-terminal region protein) และ SP domain (C-terminal SP-like domain protein) โปรตีนควบคุมในการทคลองคือ BSA

Binding activity

จากการตรวจ binding ability ของโปรตีน rSP domain ต่อการจับเชื้อแบคทีเรีย V. harveyi และส่วนประกอบของผนังเซลล์แบคทีเรียแกรมลบคือ LPS พบว่าโปรตีน rSP domain สามารถจับ กับทั้งเซลล์ V. harveyi และส่วน LPS ได้ และเมื่อทำ quantitative binding โดยใช้เทคนิค ELISA พบว่า โปรตีน rSP domain สามารถจับกับ LPS ตามปริมาณของโปรตีนต่อ LPS (concentration dependent manner) (รูปที่ 20, A, B, C) และเมื่อทำ Scatchard plot analysis พบว่ามีค่า apparent dissociation constant (K_d) ของ โปรตีน rSP domain ต่อ LPS เท่ากับ $2.51 \times 10^{-5} \, \mathrm{M}$ (รูปที่ $20, \, \mathrm{D}$) จาก ผลสรุปได้ว่าในส่วน SP domain ของโปรตีน PmMasSPH1 สามารถจับแบคทีเรียแกรมลบ V. harveyi ผ่านทาง LPS



รูปที่ 20 Binding activity ของรีกอมบิแนนท์โปรตีน SP domain ต่อเชื้อแบกทีเรียแกรมลบ *V. harveyi* [Vh] (A) และ LPS (B) กลุ่มควบคุม (C) คือรีกอมบิแนนท์โปรตีนอย่างเดียว ที่ไม่มีทั้ง Vh (A) และ LPS (B)

แถว E (elution) แสดงส่วนของ SP domain ที่จับได้กับ Vh (A) และ LPS (B)

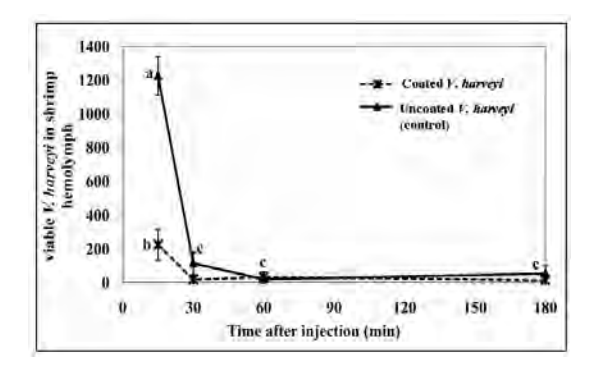
แถว S (supernatant) และ W (wash) คือสิ่งที่ไม่จับกับ Vh และ LPS แถว +Ve แสคง รีคอมบิแนนท์โปรตีน SP domain

แถว So และ P แสดงส่วน soluble protein และ precipitated protein ตามลำดับ

รูป D แสคง quantitative binding ของรีกอมบิแนนท์โปรตีน SP domain (0–200 μ g/ml) ต่อ LPS ค้วยเทคนิก ELISA

Opsonic activity

จากการตรวจสอบ opsonic activity ของ PmMasSPH1 ในความสามารถของโปรตีนในการ กำจัดหรือ clearance ของเชื้อแบคทีเรีย V. harveyi ในเลือดของกุ้ง โดยนำเชื้อ V. harveyi ($1x10^5$ cells) มาบ่มกับ โปรตีน rSP domain และ rGly-Clip domain และฉีดเข้าสู่ตัวกุ้ง เปรียบเทียบกับกลุ่ม ควบคุมที่เป็น V. harveyi อย่างเดียว ผลพบว่าโปรตีน PmMasSPH1 สามารถทำให้เกิดการ clearance ในกุ้งได้อย่างรวดเร็วภายใน 30 นาที (รูปที่ 21) แสดงให้เห็นว่า โปรตีน PmMasSPH1 มีฤทธิ์ของ opsonic activity



รูปที่ 21 Opsonic activity รีกอมบิแนนท์โปรตีน PmMasSPH (Gly-Clip domain และ SP domain) ในการกำจัดเชื้อ V. harveyi ในเลือดของกุ้ง หลังจากฉีดเชื้อเป็นเวลา 15, 30, 60 และ 180 นาที กลุ่มควบกุมคือกุ้งที่ฉีดเชื้ออย่างเดียว

Antimicrobial activity assay

เนื่องจากมีรายงานถึงหน้าที่ทางชีวภาพของโปรตีนในส่วนของ Clip domain และ glycinerich regionในการมีฤทธิ์ของ antimicrobial activity ดังนั้นในการทดลองนี้เราได้นำ rGly-Clip domain มาศึกษาฤทธิ์ทางชีวภาพดังกล่าวกับเชื้อแบคทีเรียหลายชนิด ทั้งแกรมบวก และแกรมลบ พบว่า rGly-Clip domain มีฤทธิ์ในการยับยั้งการเจริญเติบโตของแบคทีเรียแกรมบวก และ S. aureus A. Viridians และ B. megaterium ที่มีค่า MICs เท่ากับ 0.89, 3.23 และ 60 µM ตามลำดับ แต่ ไม่มีฤทธิ์ในการยับยั้งการเจริญเติบโตของแบคทีเรียแกรมลบที่ได้ทำการทดลอง (ตารางที่ 4) จากผล แสดงให้เห็นว่า rGly-Clip domain มีฤทธิ์ antimicrobial acvity

Microorganisms	MIC (μM)	Microorganisms	MIC (μM)
Gram-positive bacteria		Gram-negative bacteria	
Staphylococcus aureus	0.89	Escherichia coli 363	NA
Aerococcus viridans	3.23	Enterobacter cloacae	NA
Bacillus megaterium	60	Erwinia carotovora	NA
Micrococcus luteus	NA	Klebsiella pneumoniae	NA
		Salmonella thyphimurium	NA
		Vibrio harveyi	NA

ตาราง 4 antimicrobial activity ของ รีคอมบิแนนท์ โปรตีน Gly-Clip domain

Minimum inhibition concentration (MIC) ค่าที่ รายงานคือช่วงความเข้มข้นสูงสุดของโปรตีนที่ยัง มีการเจริญของเชื้อและความเข้มข้นต่ำสุดที่ทำให้ เกิดการขับขั้ง 100%

NA คือปริมาณของ Gly-Clip domain ที่ 80 μM ที่ไม่สามารถขับขั้งการเจริญของแบคทีเรียได้

สรุปและวิจารณ์ผลการทดลอง

ยีนกลุ่ม PPAF และกลุ่ม proPO เป็นยืนที่มีความสำคัญต่อระบบภูมิคุ้มกันของกุ้งกุลาดำ แต่ ในปัจจุบันมีข้อมูลการศึกษายืนและหน้าที่ของยืนโดยเฉพาะกลุ่มยืน PPAF อยู่น้อยมากในกุ้งกุลาดำ ดังนั้น จึงมีความจำเป็นที่จะต้องมีการศึกษายืนทั้งสองกลุ่มให้มากยิ่งขึ้น เพื่อที่จะนำไปสู่ความเข้าใจ ในระบบภูมิคุ้มกันของกุ้งกุลาดำให้มากยิ่งขึ้น

ผลจากการศึกษาและการหาลำดับนิวคลีโอไทด์สมบูรณ์ของยืนกลุ่ม PPAF พบว่า มีจำนวน 6 ขึ้น ซึ่งประกอบด้วยขืน PmPPAE1, PmClipSP1, PmClipSP2, PmMasSPH1, PmMasSPH2 และ PmMasSPH3 และจากการวิเคราะห์พบว่า ทั้ง 6 ขึ้นมี clip-domain อยู่ที่ปลาย N และมี serine proteinase domain (ขึ้น PmPPAE1, PmClipSP1 และ PmClipSP2) หรือ serine proteinase homologue domain (ขึ้น PmMasSPH1, PmMasSPH2 และ PmMasSPH3) อยู่ที่ปลาย C ซึ่งเป็น ลักษณะของขึ้น PPAF ที่พบได้ทั้งในแมลงและกุ้ง crayfish เมื่อตรวจสอบการแสดงออกในเนื้อเชื่อ พบว่า ขึ้นทั้ง 6 มีการแสดงออกมากในเม็ดเลือด และ ไม่แสดงออกใน hepatopancreas เมื่อศึกษาการ ตอบสนองของขึ้นในเม็ดเลือดที่ถูกกระตุ้นด้วยเชื้อ V. harveyi พบว่า ขึ้น PmPPAE1 และ PmMasSPH1 มีการแสดงออกเพิ่มขึ้นที่ชั่วโมงที่ 24 และขึ้น PmClipSP1, PmClipSP2 และ PmMasSPH2 มีการแสดงออกน้อยลงที่เวลา 6-48 ชั่วโมง ในขณะที่ขึ้น PmMasSPH3 ไม่มีการ เปลี่ยนแปลง

สำหรับการค้นหายืนในกลุ่ม proPO พบยืน proPO จำนวน 2 ยืน ได้แก่ proPOPm1 เป็นยืนที่ มีรายงานแล้ว และยืน proPOPm2 ซึ่งเป็นยืน proPO ชนิดใหม่ที่พบในกุ้งกุลาดำ ผลจากการ วิเคราะห์ลำดับกรดอะมิโนพบว่า ทั้งสองยืนมีความเหมือนกันประมาณ 80% และมี ORF MW และ pI ที่แตกต่างกัน เมื่อศึกษาการแสดงออกในเนื้อเยื่อต่าง ๆ พบว่า ทั้งสองยืนมีการแสดงออกเฉพาะ ในเม็ดเลือด และไม่แสดงออกใน hapatopancreases ซึ่งแสดงให้เห็นว่า ยืนทั้งสองน่าจะเป็นยืนที่ สร้างจากเม็ดเลือด การศึกษาครั้งนี้ทำให้เราพบยืนใหม่ที่ยังไม่มีรายงาน ซึ่งยืนที่พบน่าจะมี ความสำคัญต่อระบบ proPO ในกุ้งกุลาดำ

ผลจากการศึกษาหน้าที่ของยืนทั้งสาม PmproPO1, PmproPO2, PmPPAE1 และ PmClipSP1 ด้วยเทคนิค RNAi และทำการตรวจสอบประสิทธิภาพและความจำเพาะในการยับยั้งการแสดงออก ของยืนด้วย dsRNA พบว่า สามารถลดการแสดงออกของยืนทั้งสามยืนได้ และพบว่า dsRNA ของ แต่ละยืนมีความจำเพาะไม่มีผลในการยับยั้งการแสดงออกของยืนที่มีลำดับนิวคลีโอไทด์คล้ายกัน นอกจากนั้น เราพบว่า ปริมาณ dsRNA (~2 µg dsRNA ต่อน้ำหนักกุ้ง 1 g) ที่ใช้ไม่สามารถยับยั้งการ แสดงออกของยืนทั้งสี่ได้เกือบสมบูรณ์ ผลการศึกษาครั้งนี้สอดคล้องกับรายงานการยับยั้งการ แสดงออกของยืน proPO ในกุ้ง crayfish (Pacifastacus leniusculus) ที่พบว่าสามารถลดการ แสดงออกของยืนได้ประมาณ 57% (Liu และคณะ 2007) อย่างไรก็ตามการศึกษาครั้งนี้พบว่า

สามารถลดการแสดงออกของยืน ได้อย่างมีประสิทธิภาพและมีความจำเพาะเพียงพอที่จะ ทำการศึกษาหน้าที่ของยืนทั้งสี่ได้

เมื่อทำการศึกษาหน้าที่ของยืนทั้งสี่ต่อความเกี่ยวข้องกับระบบ proPO พบว่ากุ้งที่ฉีดด้วย dsRNA ของยืน PmproPO1 หรือ PmproPO2 หรือ PmPPAE1 มี PO activity ลดลง 75%, 73% หรือ 36.7% ตามลำดับ เมื่อเปรียบเทียบกับกลุ่มควบคุม (กุ้งที่ฉีดด้วย NaCl) จึงสรุปได้ว่า ทั้งสามยืนเป็น ยืนที่เกี่ยวข้องกับระบบ proPO นอกจากนั้น เมื่อทำ co-silencing ด้วย PmproPO1 dsRNA และ PmproPO2 dsRNA พร้อมกันพบว่า สามารถลด PO activity ได้ 88% ซึ่งแสดงให้เห็นว่า proPO ทั้ง สองอาจจะมีการทำงานร่วมกันในระบบ proPO ของกุ้งกุลาดำ อย่างไรก็ตามกุ้งที่ฉีดด้วย dsRNA ของยืน PmClipSP1 มี PO activity ไม่แตกต่างจากกุ้งกลุ่มควบคุมทั้งสองกลุ่ม (GFP dsRNA และ NaCl) แสดงว่ายืน PmClipSP1 เป็นยืนที่ไม่เกี่ยวข้องกับระบบ proPO จากรายงานการศึกษายืนใน กลุ่ม Clip domain serine proteinase ของยุง A. gambiae โดยใช้เทกนิค RNAi พบยืน CLIPB14, CLIPB4 และ CLIPB8 มีความเกี่ยวข้องกับระบบ proPO (Volz และคณะ 2005; Paskewitz และคณะ 2006; Volz และคณะ 2006) นอกจากนั้นในกุ้ง crayfish ได้มีรายงานการยับยั้งการแสดงออกของ ยืน proPO และยืน pacifastin พบว่า ทั้งสองยืนมีความเกี่ยวข้องกับระบบ proPO (Liu และคณะ 2007)

ระบบ proPO เป็นระบบภูมิคุ้มกันที่มีความสำคัญในสิ่งมีชีวิตไม่มีกระดูกสันหลัง ในการต่อสู้ กับเชื้อโรค (Cerenius และ Söderhäll K, 2004) อย่างไรก็ตาม ในแมลงบางชนิด เช่น Drosophila (Leclerc และคณะ 2006) และ Anopheles gambiae (Schnitger และคณะ 2007) รายงานว่าระบบ proPO ไม่มีความสำคัญต่อการอยู่รอดของแมลงหลังติดเชื้อโรค ในการศึกษาครั้งนี้ เมื่อทำการ ทดสอบความสำคัญของยืนทั้งสามยืน คือ PmproPO1, PmproPO2 และ PmPPAE1 ต่อความอยู่รอดของกุ้งหลังจากที่ถูกกระคุ้นด้วยเชื้อแบคทีเรียแกรมลบ V. harveyi 639 ซึ่งเป็น pathogenic bacteria ของกุ้งกุลาคำ พบว่ากุ้งที่ถูกยับยั้งการแสดงออกของยืน PmproPO1 หรือ PmproPO2 หรือ PmPPAE1 ทำให้กุ้งมีอัตราการตายเพิ่มสูงขึ้น 100% ภายในวันที่ 1, 2 และ 3 ตามลำคับ เมื่อ เปรียบเทียบกับกลุ่มควบคุมซึ่งมีอัตราการตายประมาณ 50 - 60% เมื่อทำการตรวจสอบจำนวนของ เชื้อ V. harveyi ในกุ้งกุลาคำที่ถูกยับยั้งการแสดงออกของยืนทั้งสาม พบว่า กุ้งกลุ่มที่ถูกยับยั้งการแสดงออกของยืนทั้งสาม พบว่า กุ้งกลุ่มที่ถูกยับยั้งการแสดงออกของยืนทั้งสาม ผบว่า กุ้งกลุ่มที่ถูกยับยั้งการแสดงออกของยืน PmproPO1 และ PmproPO2 พร้อมกัน และ PmPPAE1 มีจำนวนเชื้อมากขึ้น ประมาณ 6 และ 4 เท่า ตามลำคับ เมื่อเทียบกับกลุ่มกุ้งที่ลีดค้วย GFP dsRNA ผลจากการทดลองครั้ง นี้สอดคล้องกับรายงานการศึกษายืน proPO ในกุ้ง crayfish ซึ่งเมื่อถูกยับยั้งการแสดงออกและ ตรวจสอบจำนวนเชื้อแบคทีเรียใน hemolymph พบว่า มีจำนวนเชื้อมากขึ้นประมาณ 2.3 เท่า

ในส่วนของยืน PmClipSP1 เราพบว่า ยืนนี้ไม่เกี่ยวข้องกับระบบ proPO แต่เมื่อยืนนี้ ถูก knockdown และกระตุ้นด้วยเชื้อ V. harveyi กุ้งมีอัตราการตายเพิ่มสูงขึ้น และมีจำนวนเชื้อมาก ขึ้นในเลือด ทั้งนี้เนื่องมาจากยืนในกลุ่ม Clip domain serine proteinase มีหน้าที่สำคัญหลายอย่าง รวมทั้งระบบภูมิกุ้มกัน เช่น ในระบบ proPO (Cerenius and Söderhäll, 2004) เกี่ยวข้องกับการ กระตุ้นการสร้างเพปไทค์ต้านจุลชีพในแมลง (Jang et al., 2008; Jiang and Kanost, 2000) และการ แข็งตัวของเลือดใน horseshoe crab Tachypleus tridentatus (Muta and Iwanaga, 1996) อย่างไรก็ ตามจากการศึกษาครั้งนี้ในการยับยั้งการแสดงออกของยืน PmClipSP1 ไม่พบความแตกต่างของการ แข็งตัวของเลือดระหว่างกลุ่มทดลองและกลุ่มควบกุม (data not shown) ผลการทดลองอาจจะสรุป ได้ว่า PmClipSP1 ไม่เกี่ยวข้องกับการแข็งตัวของเลือดในกุ้ง โดยทั่วไป กลไกการแข็งตัวของเลือด ใน horseshoe crab จะเป็นแบบ hemocyte-derived clotting cascade ซึ่งเกิดจากการกระตุ้นของ serine proteinases ในขณะที่สัตว์จำพวกครัสเทเซียน Pacifastacus leniusculus จะมีกลไกเป็นแบบ transglutaminase-dependent clotting reaction (Jiravanichpaisal et al., 2006) อย่างไรก็ตาม จาก การศึกษาครั้งนี้ ยังไม่ทราบหน้าที่ของยืน PmClipSP1 ว่าทำงานอยู่ในระบบใด แต่ทราบว่ายืนนี้ เกี่ยวข้องกับกลไกการต้านเชื้อโรค (antibacterial mechanism) ในกุ้ง

นอกจากนั้นจากการศึกษาหน้าที่ทางชีวภาพของโปรตีน PmMasSPH1 โดยการสร้างรี คอมบิแนนท์โปรตีน ประกอบด้วย 2 ส่วนคือ ทางด้านปลาย N ประกอบด้วย glycine-rich repeats และ clip domain (Gly-Clip domain) และทางด้านปลาย C ประกอบด้วย serine proteinase domain (SP domain) และศึกษาหน้าที่ทางชีวภาพ พบว่าส่วนทางด้านปลาย N ประกอบด้วย คือ Gly-Clip domain มีฤทธิ์ antimicrobial activity ในขณะที่ทางด้านปลาย C คือ SP domain ไม่มี proteinase activity แต่มีหน้า cell adhesion activity, bacterial binding activity และ bacterial clearance

จากผลการทดลองทั้งหมดในการศึกษาครั้งนี้ โดยการค้นหายีนที่เกี่ยวข้องกับระบบ proPO ในกุ้งกุลาดำและศึกษาการแสดงออกของยืนที่ตอบสนองต่อเชื้อแบคทีเรีย ประกอบด้วยยืน กลุ่ม PPAF (PmPPAE1, PmClipSP1, PmClipSP2, PmMasSPH1, PmMasSPH2 และ PmMasSPH3) และยืน proPO จำนวน 2 ยืน ได้แก่ proPOPm1 เป็นยืนที่มีรายงานแล้ว และยืน proPOPm2 ซึ่งเป็นยืนชนิดใหม่ เมื่อทำการศึกษาหน้าที่ของยืนทั้ง 4 ต่อระบบ proPO และระบบ ภูมิคุ้มกันในกุ้งโดยใช้เทคนิก RNA interference โดยการตรวจสอบ PO activity ศึกษาอัตราการ ตายของกุ้ง และการนับจำนวนเชื้อ V. harveyi ในเลือดของกุ้งที่ถูก knockdown สามารถวิเคราะห์ได้ ว่า ยืนทั้ง 3 ได้แก่ PmproPO1, PmproPO2 และ PmPPAE1 เป็นยืนที่เกี่ยวข้องกับระบบ proPO และ ระบบนี้เป็นระบบภูมิคุ้มกันที่สำคัญต่อการอยู่รอดของกุ้งที่ติดเชื้อ V. harveyi 639 ซึ่งเป็น pathogenic bacteria ของกุ้งกุลาดำ และยืน PmClipSP1 เกี่ยวข้องกับกลไกการด้านเชื้อโรคในกุ้ง นอกจากนั้นยืน PmMasSPH1 มีหน้าที่ทางชีวภาพได้หลายแบบประกอบด้วย antimicrobial activity, cell adhesion, bacterial binding activity และ bacterial clearance

ถึงแม้ว่าการศึกษาครั้งนี้เราจะทราบว่ายืนทั้งสามเกี่ยวข้องกับระบบ proPO ในกุ้ง เนื่องจาก ระบบ proPO เป็นระบบภูมิคุ้มกันที่มีการควบคุมซับซ้อน การศึกษายืนในระบบ proPO ในระดับ โมเลกุลก็ยังมีความจำเป็นอย่างมาก ในการเข้าใจกลไกการกระตุ้นระบบ proPO ซึ่งมีประโยชน์ต่อ การพัฒนากังให้มีความต้านทานโรค

เอกสารอ้างอิง

- Aspán A, and Söderhäll K. Purification of prophenoloxidase from crayfish blood cells and its activating by an endogenous serine proteinase. Insect Biochem 1991;21: 363-73.
- Cerenius L, Söderhäll K. The prophenoloxidase-activating system in invertebrates. Immunol Rev 2004;198:116–26.
- Jiang H, Wang Y, and Kanost MR. Pro-phenol oxidase activating proteinase from an insect, Manduca sexta: a bacteria-inducible protein similar to Drosophila easter. Proc Natl Acad Sci U S A 1998;95: 12220–5.
- Jiang H, Wang Y, Yu X-Q, and Kanost MR Prophenoloxidaseactivating proteinase-2 from hemolymph of *Manduca sexta*: a bacteria inducible serine proteinase containing two clip domains. J Biol Chem 2003;78: 3552–61.
- Leclerc V, Pelte N, El Chamy L, Martinelli C, Ligoxygakis P, Hoffmann JA, Reichhart JM. Prophenoloxidase activation is not required for survival to microbial infections in Drosophila. Embo Reports 2006; 7:231–5.
- Liu H, Jiravanichpaisal P, Cerenius L, Lee BL, Söderhäll I, Söderhäll K. Phenoloxidase is an important component of the defense against *Aeromonas hydrophila* infection in a crustacean, *Pacifastacus leniusculus*. J Biol Chem 2007;282:33593–8.
- Paskewitz SM, Andreev O, Shi L. Gene silencing of serine proteases affects melanization of Sephadex beads in *Anopheles gambiae*. Insect Biochem Mol Biol 2006;36:701–11.
- Satoh D, Horii A, Ochiai M, and Ashida M. Prophenoloxidase-activating enzyme of the silkworm, *Bombyx mori*. Purification, characterization, and cDNA cloning. J Biol Chem 1999;274: 7441-53.
- Schnitger AKD, Kafatos FC, Osta MA. The melanization reaction is not required for survival of Anopheles gambiae mosquitoes after bacterial infections. J Biol Chem 2007; 282: 21884–21888.

- Sritunyalucksana K, Cerenius L, Söderhäll K. (1999). Molecular cloning and characterization of prophenoloxidase in the black tiger shrimp, *Penaeus monodon*. Developmental and Comparative Immunology 23:179-186.
- Volz J, Müller H-M, Zdanowicz A, Kafatos FC, Osta MA. A genetic module regulates the melanization response of *Anopheles* to *Plasmodium*. Cell Microbiol 2006;8:1392–405.
- Volz J, Osta MA, Kafatos FC, Müller H-M. The roles of two clip domain serine proteases in innate immune responses of the malaria vector *Anopheles gambiae*. J Biol Chem 2005;280:40161–8.
- Wang R, Lee SY, Cerenius L, and Söderhäll K. Properties of the prophenoloxidase activating enzyme of the freshwater crayfish, *Pacifastacus leniusculus*. Eur J Biochem 2001; 268: 895–902.

ผลงานวิจัยที่ตีพิมพ์ในวารสารวิชาการระดับนานาชาติ

- 1. **Amparyup, P.**, Charoensapsri, W., and Tassanakajon, A. (2009). Two prophenoloxidases are important for the survival of *Vibrio harveyi* challenged shrimp *Penaeus monodon*. Dev Comp Immunol 33: 247-256.
- Charoensapsri, W., Amparyup, P., Hirono, I., Aoki, T., and Tassanakajon, A. (2009). Gene silencing of a prophenoloxidase activating enzyme in the shrimp, Penaeus monodon, increases susceptibility to Vibrio harveyi infection Dev Comp Immunol 33: 811-820.
- 3. Jitvaropas, R., **Amparyup**, P., Gross, PS., and Tassanakajon, A. (2009). Functional characterization of a masquerade-like serine proteinase homologue from the black tiger shrimp *Penaeus monodon*. Comp Biochem Physiol B 153: 236-243.
- 4. **Amparyup P**, Wiriyaukaradecha K, Charoensapsri W, Tassanakajon A. A clip domain serine proteinase plays a role in antibacterial defense but is not required for prophenoloxidase activation in shrimp. Dev Comp Immunol 2010, 34; 168-176.

การเสนอผลงานในที่ประชุมระดับนานาชาติ

- 1. Jitvaropas, R., **Amparyup, P.,** Gross, P., Tassanakajon, A. (2008). A masquerade-like serine proteinase homologue from black tiger shrimp *Penaeus monodon* is a pattern recognition protein. World Aquaculture 2008, 19-23 May 2008, Busan, Korea.
- 2. **Amparyup, P.,** Charoensapsri, W., Hirono, I., Aoki, H., Tassanakajon, A. (2008). Functional characterization and gene silencing of a prophenoloxidase activating enzyme (PPAE) in the black tiger shrimp, *Penaeus monodon*. The 5th World Fisheries Congress: Fisheries for Global Welfare and Environmental Conservation, 20-25 Oct 2008, Pacifico Yokohama, Yokohama, Japan, p. 183.
- 3. Jitvaropas, R., Tassanakajon, A., **Amparyup, P.,** Gross, P. (2008). Essential function of masquerade-like serine proteinase homologue in shrimp innate immune responses and implication of its role by RNA interference. The 5th World Fisheries Congress: Fisheries for Global Welfare and Environmental Conservation, 20-25 Oct 2008, Pacifico Yokohama, Yokohama, Japan, p. 184.

- 4. Amparyup, P., Charoensapsri, W., Hirono, I., Aoki, T., Tassanakajon, A. (2009). The role of clip-domain serine proteinases in the prophenoloxidase-activating system in shrimp. 1^{1th} Congress of the International Society of Developmental and Comparative Immunology, 28 June-3 July 2009. Prague, Czech Republic, p. 14. (Oral presentation).
- 5. **Amparyup, P.,** Charoensapsri, W., Hirono, I., Aoki, T., Tassanakajon, A. (2009). A prophenoloxidase-activating enzyme 2 is essential for the immune defense against bacterial infection in black tiger shrimp *Penaeus monodon*. The 10th International Symposium on Genetics in Aquaculture: Role of Aquaculture Genetics in Addressing Global Food Crisis, 22-26 June 2009. Bangkok, Thailand, p. 107

การเสนอผลงานในที่ประชุมระดับชาติ

- 1. Wiriyaukaradecha, K., **Amparyup, P.,** Charoensapsri, W., and Tassanakajon, A. (2008). Characterization of a clip-domain serine proteinase from shrimp *Penaeus monodon*. The 20th Annual Meeting and International Conference of the Thai Society for Biotechnology: Biotechnology for Global Care. 14–17 October 2008. Taksila Hotel, Maha Sarakham, Thailand, p. 164.
- 2. **Amparyup, P.,** Charoensapsri, W., Tassanakajon, A. (2008). A novel prophenoloxidase from shrimp *Penaeus monodon*: Characterization and gene siliencing. The 34th Congress on Science and Technology of Thailand, Oct 31-Nov 2, Bangkok, Thailand, pp. 97-98.
- 3. Charoensapsri, W., **Amparyup, P.,** Tassanakajon, A. (2008). Gene silencing of prophenoloxidase-activating enzyme in shrimp *Penaeus monodon* increase susceptibility to *Vibrio harveyi* infection. The 34th Congress on Science and Technology of Thailand, Oct 31-Nov 2, 2008, Bangkok, Thailand, p. 110.

ELSEVIER

Contents lists available at ScienceDirect

Developmental and Comparative Immunology

journal homepage: www.elsevier.com/locate/dci



Two prophenoloxidases are important for the survival of *Vibrio harveyi* challenged shrimp *Penaeus monodon*

Piti Amparyup ^{a,b}, Walaiporn Charoensapsri ^a, Anchalee Tassanakajon ^{a,*}

- ^a Shrimp Molecular Biology and Genomics Laboratory, Department of Biochemistry, Faculty of Science, Chulalongkorn University, Bangkok 10330, Thailand ^b National Center for Genetic Engineering and Biotechnology (BIOTEC), National Science and Technology Development Agency (NSTDA),
- *National Center for Genetic Engineering and Biotechnology (BIOTEC), National Science and Technology Development Agency (NSTD/ 113 Paholyothin Road, Klong1, Klong Luang, Pathumthani 12120, Thailand

ARTICLE INFO

Article history:
Received 17 August 2008
Received in revised form 8 September 2008
Accepted 9 September 2008
Available online 1 October 2008

Keywords: Shrimp Prophenoloxidase proPO system Innate immunity RNA interference

ABSTRACT

Phenoloxidase (PO) plays an important role in arthropod melanization. Previously, a prophenoloxidase (*Pm*proPO1) gene was cloned and characterized from the hemocytes of the black tiger shrimp, *Penaeus monodon*. In the present study, we report a novel proPO gene (*Pm*proPO2) belonging to the proPO family identified from the *P. monodon* EST database (http://pmonodon.biotec.or.th). The full-length sequence of *Pm*proPO2 consists of 2513 bp encoding a predicted 689 amino acid residues with a calculated molecular mass and pl of 79.21 kDa and 6.69, respectively. It is predicted to possess all the expected features of proPO members, including two putative tyrosinase copper-binding motifs with six histidine residues and a thiol ester-like motif, sharing 67% amino acid sequence identity with *Pm*proPO1. Tissue distribution analyses revealed that the two proPO genes are primarily expressed in the hemocyte. Gene silencing of either *Pm*proPO1 or *Pm*proPO2 or both by RNA interference (RNAi) resulted in a significant decrease in the respective endogenous proPO mRNA level in hemocytes and a reduction of total PO enzyme activity by 75, 73 and 88%, respectively. Experimental infection of *P. monodon* with the pathogenic bacterium, *Vibrio harveyi*, revealed that *Pm*proPO silenced shrimps were more susceptible to bacterial infection than the control GFP injected shrimps, and suggesting that the two proPOs are important components in the shrimp immune defense.

© 2008 Elsevier Ltd. All rights reserved.

1. Introduction

The prophenoloxidase-activating system (proPO-activating system) is an important non-self recognition system in arthropods [1]. The proPO cascade is activated upon recognition of microbial cell wall components, such as peptidoglycan (PGN), β -1,3-glucan or lipopolysaccharide (LPS), and leads to the limited proteolysis of proPO to the active PO which catalyzes the formation of melanin [1,2]. Active PO can catalyze oxidation of phenol to quinone, which can convert to form the melanin around invading pathogens. During proPO activation (melanization cascade), highly reactive and toxic quinone intermediates are produced. Thus, it is of no surprise that PO activity is tightly regulated by specific proteinases and proteinase inhibitors to prevent excessive production of these toxic substances [1,3,4]. PO is also important for cuticle sclerotization and wound healing process [3,5,6].

The invertebrate proPO gene was first purified and cloned from the freshwater signal crayfish, *Pacifastacus leniusculus* [7,8]. Subsequently, several proPO genes have been identified and cloned from a variety of arthropod species [9–30]. In most crustaceans, only one gene has been reported, whereas one or more proPO genes have been found in insect species [1]. However, the specific role(s) of several different proPOs in the defense mechanism has not yet been elucidated.

In several arthropods, it has been shown both *in vitro* and *in vivo* that the proPO-activating system affects pathogen survival [4,32]. More recently, dsRNA knockdown of a proPO gene in the crayfish, *P. leniusculus*, was reported to reduce the PO activity in hemolymph leading to increase mortality after infection with the pathogenic bacterium, *Aeromonas hydrophila*, suggesting a potentially important role for proPO in crayfish immunity [33].

In this study, a second and different proPO gene transcript was found to be present in the black tiger shrimp *P. monodon* EST database (http://pmonodon.biotec.or.th) [34], and is a novel proPO gene which shows 67% amino acid sequence identity to other proPO gene already reported in *P. monodon* [13], and also found in this EST database. The two proPOs were further characterized for

^{*} Corresponding author. Tel.: +66 2 218 5439; fax: +66 2 218 5414. E-mail address: anchalee.k@chula.ac.th (A. Tassanakajon).

Table 1 Primer sequences used for amplification of proPO genes.

Primer	Sequence (5′–3′)	Purpose
PO2-R1	5'CCCAGTTTGCAGGGACACTTAACCATTC3'	5'-RACE
PO2-R2	5'AAGACTGCATCACAGAAAACGGACCCCA3'	5'-RACE
PO2-F1	5'CCGGTCAATCTCCTCGGCCAGAGTGTCA3'	3'-RACE
PO2-F2	5'CGCAGACTATGCACGCCTCGATAACGCT3'	3'-RACE
PO1RT-F	5'GGTCTTCCCCTCCGCTTCG3'	RT-PCR
PO1RT-R	5'GCCGCAGGTCCTTTGGCAGC3'	RT-PCR
PO2RT-F	5'GCCAAGGGGAACGGGTGATG3'	RT-PCR
PO2RT-R	5'TCCCTCATGGCGGTCGAGGT3'	RT-PCR
PO1i-F	5'CACCCTGAGAGCTCCCACTT3'	RNAi
PO1i-R	5'GAGATCCTGCAGTGTAACGT3'	RNAi
PO1iT7-F	5'GGATCCTAATACGACTCACTATAGGCACCCTGAGAGCTCCCACTT3'	RNAi
PO1iT7-R	5'GGATCCTAATACGACTCACTATAGGGAGATCCTGCAGTGTAACGT3'	RNAi
PO2i-F	5'CGTCTTCCTCGGCCGCTCCT3'	RNAi
PO2i-R	5'CCACGGGGATACCGCTGCCA3'	RNAi
PO2iT7-F	5'GGATCCTAATACGACTCACTATAGGCGTCTTCCTCGGCCGCTCCT3'	RNAi
PO2iT7-R	5'GGATCCTAATACGACTCACTATAGGCCACGGGGATACCGCTGCCA3'	RNAi
GFP-F	5'ATGGTGAGCAAGGGCGAGGA3'	RNAi
GFP-R	5'TTACTTGTACAGCTCGTCCA3'	RNAi
GFPT7-F	5'TAATACGACTCACTATAGGATGGTGAGCAAGGGCGAGGA3'	RNAi
GFPT7-R	5'TAATACGACTCACTATAGGTTACTTGTACAGCTCGTCCA3'	RNAi
EF1α-F	5'GGTGCTGGACAAGCTGAAGGC3'	RT-PCR
EF1α-R	5'CGTTCCGGTGATCATGTTCTTGATG3'	RT-PCR

their gene expression profiles and potential role in the shrimp immune defense. Gene silencing of each and both of the two *Pm*proPOs was performed using double-stranded RNA (dsRNA) mediated RNA interference (RNAi), with the efficiency of gene knockdown determined at the transcript level by semi-quantitative RT-PCR. The proPO-silenced shrimps were then assayed for total PO enzymic activity and susceptibility to challenge by injection with the pathogenic bacterium, *V. harveyi*.

2. Materials and methods

2.1. Sample preparation

Juvenile shrimps were purchased from a commercially cultured $P.\ monodon$ shrimp farm in Thailand and reared in laboratory tanks with sea water (20 ppt) for 7 days before processing to allow acclimatization. Shrimp tissues (gills, lymphoid organ, hepatopancreas, intestine and heart) were dissected and snap-frozen in liquid nitrogen. Hemocytes were isolated from hemolymph by centrifugation at 800 g for 10 min at 4 °C. A hemocyte pellet was resuspended in 200 μ l of TRI REAGENT® (Molecular Research Center, USA).

2.2. Total RNA and cDNA synthesis

The samples were homogenized in TRI REAGENT® and total RNA was extracted according to the manufacturer's instruction. Total RNA was incubated with RNase-free DNase I (Promega, USA) to remove contaminating genomic DNA before being reverse transcribed into cDNA using oligo $(dT)_{15}$ primers with the ImProm-IITM Reverse Transcriptase System kit (Promega, USA), according to the manufacturer's protocol. The synthesized cDNA was stored at $-80\,^{\circ}\text{C}$.

2.3. Rapid amplification of cDNA End (RACE)-PCR

Nucleotide sequences encoding the prophenoloxidase (proPO) were retrieved from the *P. monodon* EST database deposited at http://pmonodon.biotec.or.th [34]. After clustering analysis, two clusters were found; one is identical to known proPO of *P. monodon* (*Pm*proPO1), and another is a contig composing of nine ESTs that

showed a high nucleotide sequence similarity (e-value of 1×10^{-90}) with the already annotated and known proPO (PmproPO1) of P. monodon (AF099741) in the NCBI GenBank database. From this contig sequence (named PmproPO2), four internal gene-specific primers (GSPs), PO2-R1 and PO2-R2 for 5'-RACE and PO2-F1, PO2-F2 for 3'-RACE (Table 1) were designed for rapid amplification of cDNA ends (RACE) to determine the fulllength cDNA sequence. Total RNA isolated from the hemocytes of *P*. monodon (2 µg) was used to prepare 5'- and 3'-RACE cDNAs using the SMART RACE cDNA Amplification Kit (Clontech, USA) according to the manufacturer's instructions. PCR reactions were performed using the Advantage 2 PCR kit (Clontech, USA) and touchdown PCR as described in Amparyup et al. [35]. After agarose gel electrophoresis, RACE-PCR products were recovered from the gel and cloned into pGEM®-T Easy vector (Promega, USA). Three recombinant plasmids were sequenced in both directions. Internal sequencing primers were subsequently designed and used for sequencing along the entire length of the insert (Macrogen Inc., Korea).

2.4. Tissue distribution analysis

The mRNA expression of PmproPO1 and PmproPO2 in different tissues was analyzed by semi-quantitative RT-PCR. Gene-specific primers for PmproPO1 (PO1RT-F and PO1RT-R) and PmproPO2 (PO2RT-F and PO2RT-R) were designed from P. monodon proPO (AF099741) which had the same nucleotide sequences as PmproPO1 obtained from this study, and from PmproPO2 the novel new homolog (Table 1). Elongation factor 1- α gene (EF1- α) was used as internal control to monitor the amount of RNA/cDNA PCR template and amplification efficiency between samples. Total RNA from the tissues of hemocytes, gills, hepatopancreas, intestines and heart was extracted from P. monodon. The RT-PCR reaction (25 µl final volume) was performed first at 94 °C for 3 min for denaturation, followed by 25 cycles of amplification (denaturing for 30 s at 94 °C, annealing for 30 s at 55 °C and extension for 30 s at 72 °C). The final extension was performed at $72\ ^{\circ}\text{C}$ for 5 min. Eight microlitres of the RT-PCR product was electrophoretically resolved through a 1.8% (w/v) agarose gel and visualized by UV-transillumination after ethidium bromide staining.

2.5. Preparation of double-stranded RNA (dsRNA)

To prepare double-stranded RNAs (dsRNAs) specifically targeted to PmproPO1 and PmproPO2, DNA fragments of PmproPO1 (280 bp) and PmproPO2 (279 bp) genes were amplified by PCR using specific primers (PO1i-F and PO1i-R for PmproPO1 and PO2i-F and PO2i-R for PmproPO2), designed by Primer Premier 5 program (Table 1). In vitro transcription using T7 RNA polymerase was performed to produce sense and anti-sense RNA strands. The sense and anti-sense DNA templates containing the T7 promoter sequence at the 5'-end on each different strand were generated by PCR using oligonucleotide primers containing the T7 promoter RNA polymerase recognition sequence at the 5'end (PO1iT7-F and PO1iT7-R for PmproPO1 and PO2iT7-F and PO2iT7-R for *Pm*proPO2) (Table 1). For a negative dsRNA control, DNA template amplification was performed on the green fluorescent protein (GFP) gene of pEGFP-1 vector (Clontech, USA) using GFPT7-F and GFP-R (Table 1) for the sense strand template, the other with GFP-F and GFPT7-R (Table 1) for the antisense strand template. The T7 RiboMAXTM Express Large Scale RNA Production Systems (Promega, USA) was used to synthesize RNA by in vitro transcription according to the manufacture's protocol. The quality of double-stranded RNAs was verified by agarose gel electrophoresis and quantified by using UV spectrophotometer.

2.6. Injection of dsRNA into shrimp

The dsRNAs were injected into juvenile shrimps (2 ± 0.2 g, fresh weight) by using 0.5-ml insulin syringes with 29-gauge needle. Approximately 5 µg of PmproPO1, PmproPO2 or control GFP dsRNAs dissolved in 25 µl of injection buffer (150 mM NaCl) was intramuscularly injected into the third abdominal segment of each shrimp. Control shrimps were injected with injection buffer only. The injection of dsRNA was repeated together with 20 µg of the lipopolysaccharide (LPS) of Escherichia coli 0111:B5 (Sigma) and laminarin (β -1,3-glucan chain with some β -1,6-linked glucose units) (Sigma) at 24 h after the first dsRNA injection. Thereafter, injected shrimps were reared for 48 h after the second dsRNA injection.

2.7. Measurement of PmproPO1 and PmproPO2 transcripts after dsRNA injection

Semi-quantitative RT-PCR analysis was performed to monitor the expression of PmproPO1 and PmproPO2 transcript levels in the RNA interference experimental and control groups. The hemolymph was withdrawn from two individual shrimps at 48 h after the second injection of either dsRNAs or buffer and total RNA was extracted from the isolated hemocytes using NucleoSpin® RNAII (MACHEREY-NAGEL) according to the manufacturer's instructions. First-strand cDNA was synthesized from total RNA using the ImProm-IITM Reverse Transcriptase (Promega, USA) and oligo(dT)₁₅ primer, as described by the manufacturer's instructions. RT-PCR was carried out to monitor the effect of dsRNA or buffer injections on the level of transcripts by using gene-specific primers. A pair of EF1- α gene primers was used as an internal control to monitor equal loading of cDNA for analysis of transcript levels. One microlitre of the first strand cDNA was subjected to PCR in a 25 µl reaction volume containing 75 mM Tris-HCl, pH 8.8, 20 mM (NH₄)₂SO₄, 0.1% (v/v) Tween 20, 1.5 mM MgCl₂, 100 μ M of each dNTP, 0.2 μ M of each specific primers and 1 unit of Taq DNA polymerase (Fermentas, USA). The thermal cycling conditions were: 94 °C for 1 min, followed by 25 cycles of 94 °C for 30 s, 55 $^{\circ}$ C for 30 s, 72 $^{\circ}$ C for 30 s and 72 $^{\circ}$ C for 5 min. The PCR product was analyzed by agarose gel electrophoresis.

2.8. Assay of hemolymph phenoloxidase (PO) activity

Hemolymph was withdrawn without the use of any anticoagulant from the ventral sinus of experimental shrimps at 48 h after the second dsRNA injection. Protein concentration was measured using a Bradford protein assay kit (Bio-Rad). Hemolymph PO activity was detected using L-3,4-dihydroxyphenylalanine (L-dopa) dissolved in water according to Liu et al. [33]. Briefly, 2 mg of total hemolymph proteins in 435 μ l of Tris–HCl (10 mM, pH 8.0) were mixed with 65 μ l of freshly prepared L-dopa (3 mg/ml in water) (Fluka). After incubation at room temperature for 30 min, 500 μ l of 10% (v/v) acetic acid was added to the mixtures and PO activity was measured by monitoring the absorbance at 490 nm. PO activity was recorded as ΔA_{490} per mg total protein/min. Control samples were prepared using distilled water instead of shrimp hemolymph.

2.9. Cumulative mortality assay

Pathogenic Gram-negative bacteria, V. harveyi 639 was picked with a sterile loop, streaked out on a sterile TSA (tryptic soy agar) plate and grown for 18 h at 30 °C. A single colony was picked and resuspended in TSB (tryptic soy broth) medium overnight at 30 °C. The bacterial concentration was established by estimating the optical density (OD) at 600 nm using spectrophotometer. A bacterial suspension $(2 \times 10^5 \text{ colony})$ forming units, CFUs) was chosen as the injection dose for mortality assays based on prior LD50 test results (data not shown). Unfortunately, as small sizes ($\sim 2 \, \mathrm{g}$) of the specific pathogen-free (SPF) shrimp are not available, lager sizes of SPF shrimps (\sim 10 g) were used in mortality experiment with higher amount of dsRNA (20 µg). SPF P. monodon were individually injected with 20 µg of dsRNAs of PmproPO1 and PmproPO2 in 30 µl volume. Injection of GFP dsRNA was included as a sequence-independent dsRNA control. Control shrimp were injected with the same volume of saline solution (150 mM NaCl) at an equivalent dilution. Twenty-four hours after the first dsRNA injection, shrimps were injected with 25 µl of saline solution containing 20 µg of dsRNA and V. harveyi $(2 \times 10^5 \, \text{CFUs})$. Cumulative mortality rate was recorded from after 3 h post-V. harveyi challenge for 5 days. The experiment was performed in triplicate with 10 healthy shrimps each. Statistical analysis of the mortality test was performed using one-way analysis of variance (ANOVA) followed by Duncan's test.

2.10. Sequence and phylogenetic analysis

Similarity searches of DNA and deduced amino acid sequence were performed using the BLASTX program (http://www.ncbi. nlm.nih.gov/blast). Putative signal peptide was predicted by SignalP 3.0 Server (http://www.cbs.dtu.dk/services/SignalP/). The deduced amino acid sequences were analyzed with the Genetyx program and the protein domain features were predicted by the Simple Modular Architecture Research Tool (SMART) (http:// smart.embl-heidelberg.de/). Multiple-sequence alignment was performed using the CLUSTAL W program and phylogenetic analysis performed by neighbor-joining distance analysis with sequence divergence calculations being based on the Kimura two parameter method using Prodist. Bootstrapped neighbor-joining trees were constructed using Neighbor and Consense with bootstrap analysis performed using Seqboot (1000 replicates). All phylogenetic programs are routine in PHYLIP [36]. Phylogenetic trees are illustrated using TREEVIEW (http://taxonomy. zoology.gla.ac.uk/rod.html).

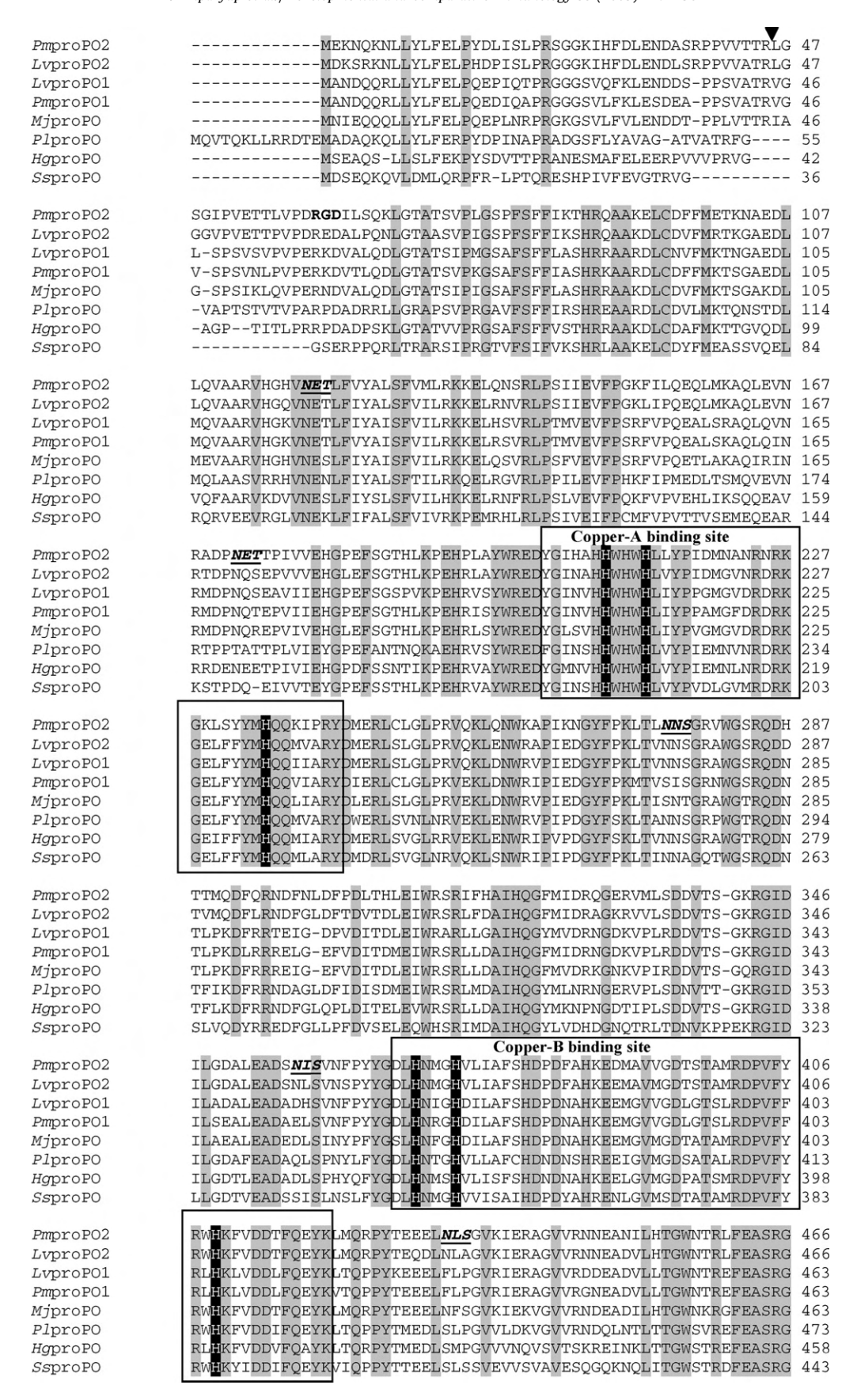


Fig. 1. Multiple amino acid sequence alignment of *Penaeus monodon* proPO2 (*Pm*proPO2; FJ025814) with that of other crustacean proPOs: *P. monodon* proPO1 (*Pm* proPO1: AF099741); *Litopenaeus vannamei* proPO1 (*Lv*proPO1: ABX76968), *L. vannamei* proPO2 (*Lv*proPO2: ABQ45957); *Marsupenaeus japonicus* (*Mj*proPO: AB073223); *Pacifastacus leniusculus* (*Pl*proPO: X83494); *Homarus gammarus* (*Hg*proPO: AJ581662) and *Scylla serrata* (*Ss*proPO: DQ435606). Identical amino acid residues are grey shaded. The filled

PmproPO2	LDFNG-RSVMVRLTHLDHEPFNYHLQVSNSGKGIKDVTVRVFLAPKFNARSQEMTFME	523
LvproPO2	LDFNG-RPVMVRLTHLDHEPFNYHLQVSNSGRGVKEVTVRVFLAPKLNARGQEMSFME	523
LvproPO1	IDFNG-RPVILRLTHLDHKPFDYHIQINNDLREPKEVTVRIYLAPKFNGREQEMNFME	520
PmproP01	LDFSG-KPVILRLTHLDNKPFDYHIQINNDLREPKEVTVRIYLAPKFGDREKEMDFME	520
MjproPO	LDFNG-RPVLVELKHLDHEPFNYHLQLNNRGRTAKEVTVRVFLAPKFNARGLKMNFME	520
PlproPO	LDFNSPNPVTAHYPSRPCTLHLPSPDNKQHRKPKSVTVRIYMAPKHNERGLEMGFME	530
HgproPO	IDFNSPNPVILRLTHLDSVPFNYHIEVTNTEPKPKVVTVRIFLAPKHNGSGAEMPFME	516
SsproPO	LDFNADKPVMVRLTHLNHHPFVYSIKLQAANSGSLPKEVTVRIFMAPKLNERGVEMSFME	503
PmproPO2	ORILWAEMDKFTVSLKPGSNHVVRSSRDSSITNTEELTFRDLENFNIDPASPATTP	579
LvproPO2	ORILWAEMDKFTVSLKPGSNHVVRSSKDSSITNAEELTFRDLENANIDPASPEATG	579
LvproP01		575
PmoroPO1	ORILWAEMDKFTVLLKPGKNOEHVTRSSKESSITNLEELTFKDLENSGPGNTS-EODA	577
MjproPO	QRILWAEMDKFTVSLKPGGNHVVRTSKDSSITNPEELTFRDLENSGTDPASPEATA	576
PlproPO	QRLLWAEMDKFTQDLKPGQNQIVRASNLSSITNPSGYTFRSLEAVN-PANPGPPANAE	587
HgproPO	QRILWTEMDKFNHTLNPGKNQIVRSSKDSSITNPTDITFRDLDSKPMTSETEA-TE	571
SsproPO		561
	Thiol ester-like motif	
PmproPO2		
LvproPO2		638
LvproP01	FNFCGCGWPQHMLLPRGRPEGMAFQLFFMLTDYAKDKVSNPGGVRRCANGVSFCGMQDAK	635
PmproP01	FNFCGCGWPQHMLLPRGRPEGMVFQLFFMLTDYAQDKVSNPGGVRRCANGVSFCGMQDAK	637
<i>Mj</i> proPO	FNFCGCGWPQHMLVPRGRPEGMAFQLFFMLTDYAIDKVTQP-AARSCPNGVSFCGIQDAK	635
PlproPO	TNFCGCGWPEHLLLPRGKPEGMTYQLFFMLTDLEKDQVDQPAGPRRCANAVSFCGILDSK	647
HgproPO	FDFCGCGWPQHLLLPRGKPEGMAFQLFYMITDFEKDKVEQAQGARSCANAVSFCGVLDAK	631
SsproPO	FNFCGCGWPQHMLLPRGKQEGMPFELFVMVTDWNQDKVAQPDGACSCSAAASFCGILDAL	621
PmoroPO2	YPDTRAMGFPFDRRPPVNLLGOSVNTAADYARLDNAYIHDISIKFLAEKLN 68	19
LvproP02	YPDTRPMGFPFDRRPPPTLLDOPVNTAADYARLENAFIHEISIKFLAERLNRD 69	1
LvproP01	YPDARPMGFPFDRRPAPTLOGLPVNTTADYARLGNAFMHDVTIKFLGDKLN 68	86
PmproP01	YPDARPMGFPFDRRPAPLLQGLPVNTTADYARLGNAFMHDITIKFLGEKLN 68	88
MiproPO	YPDTRPMGFPFDRRPPPMILNRPVEDAADYARLDNAFIHDISIKFLADELKLN 68	88
PlproPO	FPDKRPMGFPFDRRPPPRLQDAEVTSVADYARLSNMTVQDITITFLTTASRSRHDGPI 70	15
HgproPO	FPDSRPMGFPFDRRPPPVLLDAGVLTTADYARLDNIMMQDVTITFLADKLVK 68	3
SsproPO	YPDARPMGFPFDRRPMPMLLNRPVGRASDLTRLSNIAMODITITFTNAOITO 67	3

Fig. 1. (Continued).

Table 2Characteristics of the *P. monodon Pm*proPO1 and *Pm*proPO2 cDNA transcripts and predicted protein products.

	PmproPO1	PmproPO2
Accession no.	AF099741	FJ025814
Completed coding sequence	2067 bp	2070 bp
Predicted protein	688 aa	689 aa
Molecular weight	78.67 kDa	79.21 kDa
Isoelectric point (pI)	5.8	6.69
Predicted proteolytic cleavage site	Between Arg44 and Val45	Between Arg45 and Leu46
Putative N-glycosylation	Four sites [117 (NET), 170 (NQT),	Five sites [119 (NET), 172 (NET),
	571 (NTS) and 662 (NTT)]	275 (NNS), 357 (NIS) and 432 (NLS)]
Thiol ester-like motif	GCGWPOHM	GCGWPOHM
Copper-binding site	Copper-binding site A (3 conserved	Copper-binding site A (3 conserved
•	histidine residues)	histidine residues)
	Copper-binding site B (3 conserved	Copper-binding site B (3 conserved
	histidine residues)	histidine residues)

3. Results

3.1. proPO genes in Penaeus monodon

From the *P. monodon* EST database (http://pmonodon.biotec.or.th) [34], we identified two distinct homologous genes (*Pm*proPO1 and *Pm*proPO2) which showed high amino acid sequence similarity to crustacean proPO sequences. Sequence comparison revealed that *Pm*proPO1 is the same sequence and thus most likely the same gene as that previously reported by Sritunyalucksana et al. [13], whilst *Pm*proPO2 is a novel proPO

gene. To obtain the full-length sequence of *Pm*proPO2, 5' and 3' RACE were performed. The full-length cDNA of *Pm*proPO2 contained 2513 bp with a predicted 2070 bp open reading frame encoding 689 amino acids. The cDNA contained a 5' untranslated (UTR) region of 113 bp and a 3' untranslated region of 330 bp, including a stop codon (TAA) and a poly (A) tail. No putative signal peptide was found at the N-terminus as analyzed by The SignalP software (http://www.cbs.dtu.dk/services/SignalP/). The predicted molecular mass and pI for the mature protein were 79.21 kDa and 6.69, respectively (Table 2). The cDNA sequence has been submitted to the NCBI database (GenBank Accession FJ025814).

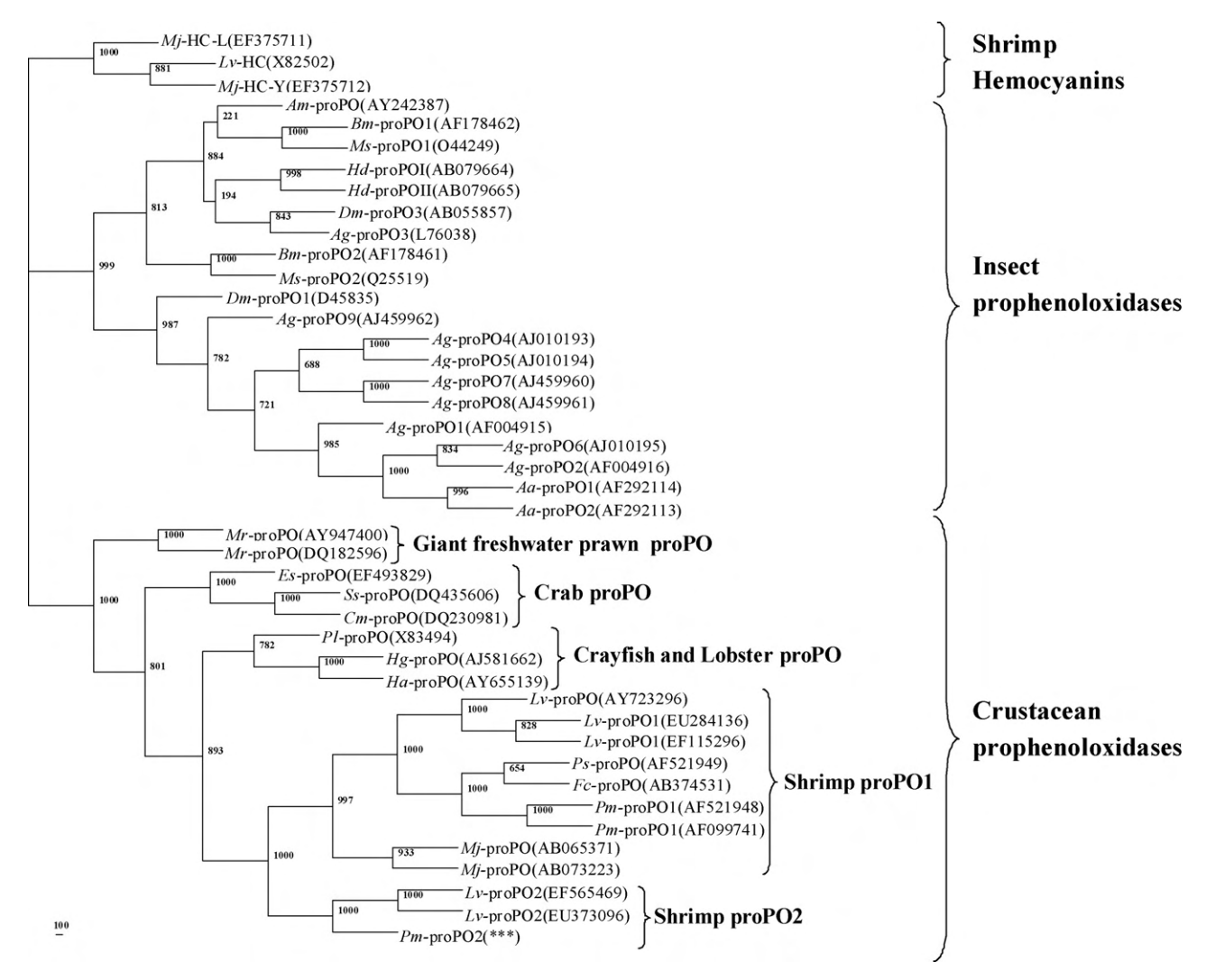


Fig. 2. Phylogenetic relationships of arthropod proPOs (crustaceans and insects) and shrimp hemocyanins (as out group) on the basis of the amino acid sequence using neighbor-joining distance analysis with K2P correction. Bootstrap values from 1000 replicates are indicated at the nodes. Crustacean proPOs: *P. monodon* (*Pm*-proPO2: FJ025814 and *Pm*-proPO1: AF521948 and AF099741); *P. semisculcatus* (*Ps*-proPO: AF521949); *Litopenaeus vannamei* (*Lv*-proPO1: EU284136, EF115296 and AY723296; *Lv*-proPO2: EF565469 and EU373096); *Marsupenaeus japonicus* (*Mj*-proPO: AB073223 and AB065371); *Fenneropenaeus chinensis* (*Fc*-proPO: AB374531); *Homarus americanus* (*Ha*-proPO: AY655139); *H. gammarus* (*Hg*-proPO: AJ581662); *Pacifastacus leniusculus* (*Pl*-proPO: X83494); *Scylla serrata* (*Ss*-proPO: DQ435606); *Eriocheir sinensis* (*Es*-proPO: EF493829); *Cancer magister* (*Cm*-proPO: DQ230981) and *Macrobarchium rosenbergii* (*Mr*-proPO: DQ182596 and AY947400). Insect proPOs: Holotrichia diomphalia (*Hd*-proPOI: AB079664 and *Hd*-proPOII: AB079665); *Bombyx mori* (*Bm*-proPO1: AF178462 and *Bm*-proPO2: AF178461); *Manduca sexta* (*Ms*-proPO1: O44249 and *Ms*-proPO2: Q25519); *Apis Mpis Mpis*

The proteolytic cleavage site of *Pm*proPO2 was predicted to be between Arg45 and Leu46 based on sequence comparison with the putative cleavage site of *Pm*proPO1 [13]. Cleavage at this site generates a putative active *Pm*proPO2 enzyme of 74.0 kDa. The highly conserved thiol ester motif (GCGWPQHM) was also present in *Pm*proPO2 at Gly584 to Met591. Six histidine residues, which are likely to be involved in copper-binding were present at conserved sites within the two annotated copper-binding sites, namely copper A (H209, H213 and H235) and copper B (H369, H373 and H409) (Fig. 1).

BLASTX analysis of *Pm*proPO2 showed a relevant sequence identity and similarity with proPO2 (84 and 91%) of *Litopenaeus vannamei* (EF565469 and EU373096), proPO (71 and 84%) of *Marsupenaeus japonicus* (BAB70485), proPO1 (67 and 81–82%) of *L. vannamei* (EU284136, EF115296 and AY723296), proPO (68 and 81%) of *Fenneropenaeus chinensis* (AB374531), proPO (68 and 80%) of *P. semisulcatus* (AF521949), proPO1 (67–68 and 81%) of *P.*

monodon (AF521948 and AF099741), proPO (64 and 80%) of *M. japonicus* (AB065371) and proPO (58 and 73%) of *Pacifastacus leniusculus* (X83494), respectively.

Amino acid sequence alignment revealed that *Pm*proPO2 exhibited 67% sequence identity with the already reported *P. monodon* proPO (AF099741). All of the copper-binding regions are highly conserved between them (67% and 72% identity for copper A and B, respectively) and the histidine residues and thiol ester motif are completely conserved (Fig. 1). However, some different characteristics between *Pm*proPO1 and *Pm*proPO2 were observed including putative proteolytic cleavage site and number of putative *N*-glycosylation sites as shown in Table 2. In addition, a potential adhesive motif RGD localized in the N-terminal part of *Pm*proPO2, which is similar to that found in *Anopheles gambiae* proPO6 [14], was observed (Fig. 1).

The evolutionary relationship between members of arthropod prophenoloxidases, constructed by the neighbor-joining distance

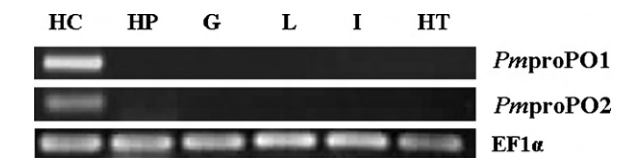


Fig. 3. Tissue distribution analysis of *Pm*proPO1 and *Pm*proPO2 of *Penaeus monodon* by RT-PCR approach: hemocytes (Hc); hepatopancreas (Hp); gill (G); lymphoid (L); intestine (I); heart (HT). EF1- α was used as a control housekeeping gene to indicate and standardize the amount of cDNA template in each RT-PCR reaction. A representative experiment of two independent experiments is shown.

method using shrimp hemocyanins as the out group, is shown in Fig. 2. The phylogenetic analysis of the 40 proPO sequences resulted in a tree that forms three different groups composed of the (1) crustacean proPOs, (2) the insect proPOs, and (3) the shrimp hemocyanins (Fig. 2). The crustacean proPOs group can be further separated into four distinct and well-supported clades: (a) penaeid shrimp proPOs, (b) lobster and crayfish proPOs, (c) crab proPOs and (d) prawn proPOs. Finally, the shrimp proPOs clade was subdivided into two distinct groups that separate proPO2 from proPO1. *Pm*proPO2 belongs to the shrimp proPO subgroup and is more closely related to proPO2 of *L. vanamei* than proPO1 of *P. monodon* and *L. vanamei*. This strongly supports a common evolutionary lineage of shrimp proPOs leading to the two proPOs (proPO1 and proPO2).

3.2. Expression analysis of PmproPO1 and PmproPO2 mRNA in different tissues

RNA was extracted from hemocyte, hepatopancreas, gill, lymphoid organ, intestine, and the heart of normal shrimps and the levels of *Pm*proPO1 and *Pm*proPO2 transcripts were assessed using semi-quantitative RT-PCR. The amplification reaction yielded a single amplicon of either 443 or 226 bp of gene-specific cDNA fragments for *Pm*proPO1 and *Pm*proPO2, respectively. The result showed that both *Pm*proPO1 and *Pm*proPO2 mRNAs were mainly expressed in hemocyte (Fig. 3).

3.3. Specific-gene silencing of the two proPO transcripts by RNA interference

Gene silencing mediated by RNAi was performed to elucidate any potential role of PmproPO1 and PmproPO2 in the shrimp immune system. Shrimps (2 \pm 0.2 g, fresh weight) were intramuscularly injected twice with either PmproPO1 or PmproPO2 dsRNAs for

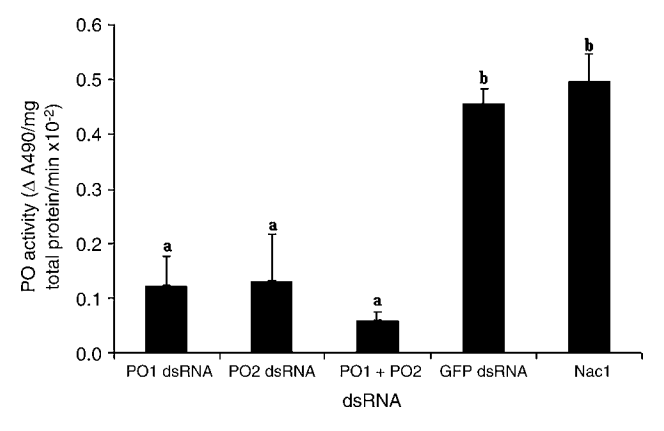


Fig. 5. Hemolymph phenoloxidase (PO) activity in proPO silenced shrimp. Hemolymph was collected at 48 h after the second dsRNA injection (PmproPO1 and PmproPO2 dsRNAs). Shrimps injected with GFP dsRNA and saline buffer (150 mM NaCl) were used as control groups. The PO activity was measured using 1-dopa and defined as ΔA_{490} per mg protein. Experiments have been repeated three times and the data represent means of triplicates. Bars indicate mean \pm standard deviation (n = 2 or 3).

the experimental groups and with GFP dsRNA or NaCl for the control groups. Gene-specific primer pairs for PmproPO1 (PO1RT-F and PO1RT-R) and PmproPO2 (PO2RT-F and PO2RT-R) were used to examine the expression levels of both genes in the knockdown shrimps. The reduction of the transcripts was determined at 48 h after the second injection. Fig. 4 summarizes representative results of the PmproPO1 and PmproPO2 gene knockdown at 48 h post-dsRNA injection, which shows a specific reduction in the transcription level of PmproPO1 (but not PmproPO2) mRNA by PmproPO1 dsRNA (Fig. 4A1), and in *Pm*proPO2 mRNA (but not *Pm*proPO1) by *Pm*proPO2 dsRNA (Fig. 4B2). Moreover, injection of the control GFP dsRNA (Fig. 4A3 and B3) or NaCl (Fig. 4A4 and B4) did not affect the mRNA levels of either *Pm*proPO1 or *Pm*proPO2. The gene silencing is thus apparently sequence-specific. Although the mRNA levels of *Pm*proPO1 and *Pm*proPO2 were not completely eliminated, the levels of PmproPO1 and PmproPO2 transcripts were significantly reduced and the suppression of mRNA lasted until the last day of examination (day 5) (data not shown).

3.4. The effect of proPO silencing on PO activity

To determine whether the knockdown of two *Pm*proPO genes would result in a reduction of PO activity, hemolymph was withdrawn from the proPO silenced shrimps and subjected to total

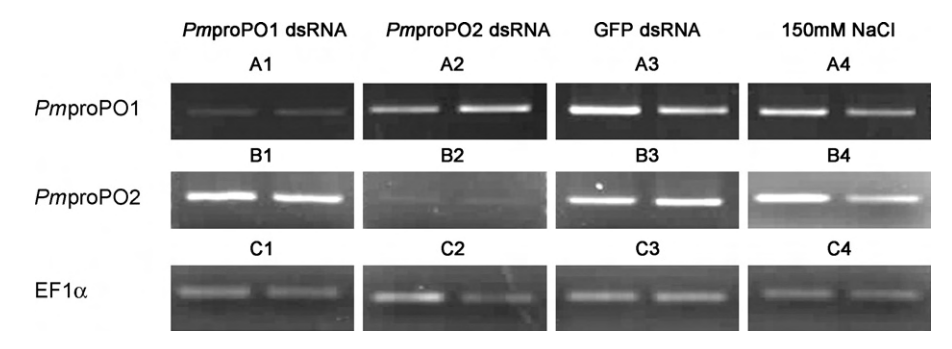


Fig. 4. Specific-gene silencing of PmproPO1 and PmproPO2 transcripts in P. monodon hemocyte. Shrimps (2 ± 0.2 g, fresh weight) were injected twice with 5 μ g of PmproPO1, PmproPO2 or GFP dsRNAs or 25 μ l of NaCl solution. Total RNA was extracted from hemocytes at 48 h after the second injection and subjected to analysis using semi-quantitative RT-PCR. EF-1 α was used as a control housekeeping gene to standardize the amount of cDNA template in each of the various reactions. Each lane represents cDNA from an individual shrimp. A1-A4 represent the expression level of PmproPO1 after injection of PmproPO2 or GFP dsRNA or NaCl solution, respectively. B1-B4 represent the expression level of PmproPO2 after injection of PmproPO2, PmproPO3 or GFP dsRNA or NaCl solution, respectively. C1-C4 represent the expression level of PmproPO1, PmproPO2 or GFP dsRNA or NaCl solution, respectively. The figure is representative of two independent repeats.

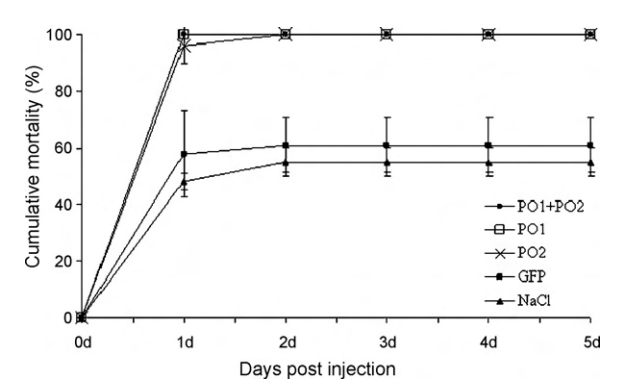


Fig. 6. Cumulative mortality of proPO silenced shrimp challenged with *Vibrio harveyi*. Shrimp were injected with *V. harveyi* 639 (2×10^5 CFU) following the second injection of dsRNA. Control groups were shrimps injected with GFP dsRNA and saline buffer (150 mM NaCl). Shrimp mortality was recorded twice each day for 5 days. Percent mortality in each experimental group (9–10 shrimps/group) is presented as the means of triplicate independent experiments. Bars indicate mean \pm standard deviation.

PO enzymic activity assay. The result showed that knockdown of PmproPO1 and PmproPO2 significantly reduced the total PO activity by 75% and 73%, respectively, as compared with NaClinjected group, whilst co-silencing of PmproPO1 and PmproPO2 dsRNAs reduced the PO activity by 88%. On the contrary, no significant change of PO activity was observed in GFP dsRNA injected shrimps (p < 0.05, ANOVA, Duncan's test). Clearly the total PO activity is not linearly related to the knockdown in PmproPO1 and PmproPO2 and may suggest post-transcriptional/translational interactions such as cooperation between the two gene products (Fig. 5).

3.5. Cumulative mortality assay

The *Pm*proPO silenced shrimps were challenged with the viable pathogenic bacterium, *V. harveyi* 639, to test the effect on the ability of shrimps to mount an immune response and survive. Fig. 6 shows the cumulative mortality for shrimps in each treatment group. The *Pm*proPO1 silenced shrimp had a cumulative mortality of 100% within 24 h (day 1), whereas the mortality of *Pm*proPO2 silenced shrimp was 96.3% and reached 100% by day 2, as compared to 61.1% and 55.2% mortality in the control groups injected with GFP dsRNA and saline, respectively. In addition, shrimps that were co-injected with *Pm*proPO1 and *Pm*proPO2 dsRNAs also showed a high mortality rate of 100% in day 1 post-injection. The significantly increase in mortality observed with *Pm*proPO silenced shrimps was supported by statistical values using ANOVA, Duncan's test to compare the treatments to those of the controls (GFP dsRNA and NaCI).

4. Discussion

In this study, we report the existence of a second prophenoloxidase (proPO) homologous gene which is expressed in the hemocytes of the black tiger shrimp, *P. monodon*. The first proPO gene *Pm*proPO1 was previously reported in 1999 [13], whilst here, a second proPO gene homologue (*Pm*proPO2) was identified and characterized. To date, only one type of proPO genes has been reported in most crustaceans including crayfish *P. leniusculus* [8], penaeid shrimps *P. monodon* [13], and *F. chinensis* [31], lobsters *Homarus gammarus* [25], giant freshwater prawn *Macrobrachium rosenbergii* [26,27] and crabs *Cancer magister* [28], *Scylla serrata* [29] and *Eriocheir sinensis* [30]. The exception is the two species of penaeid shrimps, *L. vannamei* (proPO1; AY723296

[24,37], EF115296 [38] and proPO2; EU373096 and EF565469) and *M. japonicus* (BAB70485 and BAB83773), in which two distinct types of proPO genes have been reported, but the role of these proPOs in proPO-activating system has not yet elucidated. With *P. monodon* now becoming the third out of three reported penaeid shrimps to have two distinct proPO genes, it remains plausible that these two proPO genes are common and ancestral to penaeid shrimps, but the dataset and phylogenetics are far from complete enough for any degree of certainty.

In those insect species for which data are available, the presence of different proPO genes has been reported. For example, there are two proPO encoding genes in the tobacco hornworm Manduca sexta [10,11], the silkworm Bombyx mori [18-20] and the beetle Holotrichia diomphalia [39], whilst three genes are reported in Drosophila melanogaster [9,22] and Pimpla hypochondriaca [40] and, surprisingly, nine and ten genes in A. gambiae [12,14,41,42] and *Aedes aegypti* [43], respectively. Currently, the role of each gene, or why so many different proPO genes exist, remains unknown, and it may be that the each proPOs have different physiological functions or cooperative functions [1,11,14]. Expression analysis of proPO genes in A. gambiae indicated that genes are differentially expressed in different developmental stages (embryo to adult) [14] with some proPOs being apparently inducible after bloodfeeding [12,14,21]. These may hence reflect life history dependent differential vulnerabilities to different pathogens and infection routes, but again awaits confirmed resolution.

In this study, we elucidated the role of the two proPOs, PmproPO1 and PmproPO2 that are specifically expressed in the hemocytes of P. monodon by suppression of their expression by RNAi. To date, gene knockdown using dsRNA has been shown to be a powerful tool for the investigation of gene function in crustacean [33]. Two dsRNA constructs (PmproPO1 and PmproPO2), each targeting a specific part of the respective PmproPO mRNA, were prepared. The targeted region, which covered the 5' UTR and Nterminal region of the predicted coding sequence (CDS) of PmproPO1 and PmproPO2, share only 34% nucleotide sequence identity with each other. It appeared that both PmproPO1 and PmproPO2 dsRNAs efficiently and specifically reduced endogenous expression of their respective transcripts, but not each others, in the shrimp hemolymph after injection. However, a complete silencing of these genes could not be achieved in the dsRNAtreated group. Our findings are similar to those obtained by Liu et al. [33], who reported the knockdown of proPO gene in the crayfish *P. leniusculus* reduced the proPO transcript to about 57%. Such variances in efficiency, as well as incomplete knockdown, are common in dsRNA and likely due to the sequence specific complexities of dsRNA recognition and processing mechanisms.

The effect of proPO gene knockdown on PO activity was investigated. Although PO has long been considered to be the key enzyme in the proPO-activating system in shrimps, there is no direct evidence verifying its role in this system. Our data clearly showed a reduction of PO activity in the proPO silenced shrimps suggesting that both *Pm*proPOs are essential components of the biochemical pathway required for the proPO-activating system in shrimps. This is the first report on the *in vivo* functional characterization of either of the two proPOs in shrimps.

Crustacean proPO sequences are homologous with arthropod hemocyanins, and a PO-like activity in hemocyanins, the coppercontaining proteins that function as arthropod oxygen transporters, has also been detected in the hemolymph of crustaceans [44–46]. Crustacean hemocyanin, synthesized in the hepatopancreas and localized in the plasma, typically represents up to 95% of the total amount of hemolymph protein [48], and it has been suggested that hemocyanins are multifunctional proteins involved in immunity [1,44]. Certainly, hemocyanin is functionally con-

verted into a PO-like enzyme by some reagents or endogenous molecules in several arthropod species [44,45,47–50]. Considering all of the available data, it seems likely that hemocyanin is independently involved in the proPO-activating system [32]. In the present investigation, we have shown that knockdown of two proPO genes by co-silencing in P. monodon had the strongest effect on the total PO activity in the hemolymph with more than a 88% reduction in PO activity being observed after LPS/PGN and laminarin (a β -glucan) activation. This strongly suggests that the two PmproPOs are the key enzymes contributing to the PO activity in P. monodon hemolymph. However, it is unclear if the remaining hemolymph PO activity (12%), after partial co-silencing of both PmproPO's is be due to the activity of hemocyanin, or other proPO isoforms, or simply the incomplete knockdown of PmproPO1 and PmproPO2 allowing a low level of de novo translation and enzyme synthesis.

The prophenoloxidase-activating system is an important defense mechanism in invertebrates against diverse pathogens [1]. However, some controversy on the importance of the proPO system in the defense against microbial infection has been reported [32]. In the insects, it has been reported that the proPO reaction is not important for survival of microbial infections in Drosophila [51] and A. gambiae [52]. Drosophila with a mutant (null) proPO-activating enzyme (PAE1) gene and A. gambiae with a silenced non-catalytic serine protease (CLIPA8) gene both showed depletion of PO activity, but could survive microbial challenge, suggesting that melanization is not essential for defense against microbial infection [51,52]. However, in contrast, the knockdown of the Drosophila melanization proteases (MP1 and MP2) strongly supported that melanization is crucial for the innate immune system against fungal infections [53]. Furthermore, it has been shown in the crayfish, P. leniusculus, that knockdown of the proPO transcript by dsRNA increased susceptibility to A. hydrophila infection, suggesting the important role of phenoloxidase in defense against bacterial invasion.

In this study, we provide further evidence to support that the proPO-activating system plays an essential role in the P. monodon shrimp defense against the pathogenic bacterium, V. harveyi. It is noteworthy that partial silencing of either the PmproPO1 or PmproPO2 gene resulted in a strong PO activity reduction (73-75%) and a very high mortality after V. harveyi challenge, despite the appearance that only one type of proPO mRNA was suppressed (as shown by RT-PCR). It is possible if not likely that the two POs might cooperatively function in the proPO-activating system and probably acts as heteromer. In M. sexta [11] and B. mori [19,20], two different proPOs, encoded by separate subunit genes, exist predominantly as a heterodimer in the plasma, and their transcriptional expression are coordinately regulated [11,54]. Two proPO (A1 and A3) isoforms in D. melanogaster [9] were shown to be a homodimer with different substrate kinetics [55]. In two crustaceans (lobster and crayfish), proPO was reported to form native homo-hexamers, similar to hemocyanin only that exists as hetero-hexamers made up with different subunits [44]. Clearly further study is required to determine the structure of the P. monodon proPOs and whether they exist as a heteromer of two subunit types in hemolymph. Nevertheless, in this study it is clearly shown that both PmproPO1 and PmproPO2 are likely important components in the shrimp defense against the pathogenic bacterium V. harveyi.

Acknowledgments

This work was supported by grants from the Thailand Research Fund (TRF) awarded to Piti Amparyup, and the Thailand National Center for Genetic Engineering and Biotechnology (BIOTEC). A student fellowship granted to Walaiporn Charoensapsri by the Royal Golden Jubilee Ph.D. Program, Thailand Research Fund, is acknowledged.

References

- Cerenius L, Söderhäll K. The prophenoloxidase-activating system in invertebrates. Immunol Rev 2004:198:116–26.
- [2] Söderhäll K, Cerenius L. Role of the prophenoloxidaseactivating system in invertebrate immunity. Curr Opin Immunol 1998;10:23–8.
- [3] Iwanaga S, Lee BL. Recent advances in the innate immunity of invertebrate animals. J Biochem Mol Biol 2005;38:128–50.
- [4] Jiravanichpaisal P, Lee BL, Söderhäll K. Cell-mediated immunity in arthropods: hematopoiesis, coagulation, melanization and opsonization. Immunobiology 2006;211:213–36.
- [5] Kanost MR, Jiang H, Yu X-Q. Innate immune responses of a lepidopteran insect, Manduca sexta. Immunol Rev 2004;198:97–105.
- [6] Sritunyalucksana K, Söderhäll K. The proPO and clotting system in crustaceans. Aquaculture 2000;191:53–69.
- [7] Aspán A, Söderhäll K. Purification of prophenoloxidase from crayfish blood cells and its activating by an endogenous serine proteinase. Insect Biochem 1991;21:363–73.
- [8] Aspán A, Huang T-S, Cerenius L, Söderhäll K. cDNA cloning of prophenoloxidase from the freshwater crayfish *Pacifastacus leniusculus* and its activation. Proc Natl Acad Sci USA 1995;92:939–43.
- [9] Fujimoto K, Okino N, Kawabata S, Ohnishi E. Nucleotide sequence of the cDNA encoding pro-phenoloxidase A1 of *Drosophila melanogaster*. Proc Natl Acad Sci USA 1995;92:7769–73.
- [10] Hall M, Scott T, Sugumaran M, Söderhäll K, Law JH. Proenzyme of Manduca sexta phenol oxidase: purification, activation, substrate specificity of the active enzyme, and molecular cloning. Proc Natl Acad Sci USA 1995;92: 7764–8
- [11] Jiang H, Wang Y, Ma C, Kanost MR. Subunit composition of pro-phenoloxidase from *Manduca sexta*: molecular cloning of subunit proPO-P1. Insect Biochem Mol Biol 1997:27:835–50.
- [12] Lee WJ, Ahmed A, Torre AD, Kobayashi A, Ashida M, Brey PT. Molecular cloning and chromosomal localization of a prophenoloxidase cDNA from the malaria vector Anopheles gambiae. Insect Mol Biol 1998;7:41–50.
- [13] Sritunyalucksana K, Cerenius L, Söderhäll K. Molecular cloning and characterization of prophenoloxidase in the black tiger shrimp, *Penaeus monodon*. Dev Comp Immunol 1999;23:179–86.
- [14] Müller HM, Dimopoulos G, Blass C, Kafatos FC. A hemocyte-like cell line established from the malaria vector *Anopheles gambiae* expresses six prophenoloxidase genes. J Biol Chem 1999;274:11727–35.
- [15] Lee HS, Cho MY, Lee KM, Kwon TH, Homma K, Natori S, et al. The prophenoloxidase of coleopteran insect, *Tenebrio molitor*, larvae was activated during cell clump/cell adhesion of insect cellular defense reactions. FEBS Lett 1999;444:255–9.
- [16] Cui L, Luckhart S, Rosenberg R. Molecular characterization of a prophenoloxidase cDNA from the malaria mosquito *Anopheles stephensi*. Insect Mol Biol 2000;9:127–37.
- [17] Taft AS, Chen CC, Li J, Christensen BM. Molecular cloning of two prophenoloxidase genes from the mosquito Aedes aegypti. Insect Mol Biol 2001;10:97–103.
- [18] Kawabata T, Yasuhara Y, Ochai M, Matsuura S, Ashida M. Molecular cloning of insect pro-phenoloxidase: a copper-containing protein homologous to arthropod hemocyanin. Proc Natl Acad Sci USA 1995;92:7774-8.
- [19] Asano T, Ashida M. Cuticular prophenoloxidase of the silk worm, *Bombyx mori*. | Biol Chem 2001;276:11100–12.
- [20] Asano T, Ashida M. Transepithelially transported pro-phenoloxidase in the cuticle of the silk worm, *Bombyx mori*. J Biol Chem 2001;276:11113–25.
- [21] Christophides GK, Zdobnov E, Barillas-Mury C, Birney E, Blandin S, Blass C, et al. Immunity-related genes and gene families in *Anopheles gambiae*. Science 2002;298:159–65.
- [22] Asada N, Yokoyama G, Kawamoto N, Norioka S, Hatta T. Prophenol oxidase A3 in *Drosophila melanogaster*: activation and the PCR based cDNA sequence. Biochem Genet 2003;41:151–63.
- [23] Huang LH, Christensen BM, Chen CC. Molecular cloning of a second prophenoloxidase cDNA from the mosquito *Armigeres subalbatus*: prophenoloxidase expression in blood-fed and microfilariaeinoculated mosquitoes. Insect Mol Biol 2001;10:87–96.
- [24] Lai CY, Cheng W, Kuo CM. Molecular cloning and characterization of prophenoloxidase from haemocytes of the white shrimp, *Litopenaeus vannamei*. Fish Shellfish Immunol 2005;18:417–30.
- [25] Hauton C, Hammond JA, Smith VJ. Real-time PCR quantification of the in vitro effects of crustacean immunostimulatants on gene expression in lobster (Homarus gammarus) granular haemocytes. Dev Comp Immunol 2005;29: 33_42
- [26] Lu KY, Huang YT, Lee HH, Sung HH. Cloning the prophenoloxidase cDNA and monitoring the expression of proPO mRNA in prawns (*Macrobrachium rosen-bergii*) stimulated in vivo by CpG oligodeoxynucleotides. Fish Shellfish Immunol 2006;20:274–84.
- [27] Liu CH, Tseng SY, Lai CY, Cheng W, Kuo CM. Molecular cloning and characterisation of prophenoloxidase cDNA from haemocytes of the giant freshwater

- prawn, *Macrobarchium rosenbergii*, and its transcription in relation with the moult stage. Fish Shellfish Immunol 2006;21:60–9.
- [28] Terwilliger NB, Ryan MC. Functional phylogenetic analyses of phenoloxidases from brachyuran (*Cancer magister*) and branchiopod (*Artemia franciscana*, *Triops longicaudatus*) crustaceans. Biol Bull 2006;210:38–50.
- [29] Ko CF, Chiou T-T, Vaseeharan B, Lu J-K, Chen J-C. Cloning and characterisation of a prophenoloxidase from the haemocytes of mud crab *Scylla serrata*. Dev Comp Immunol 2007;31:12–22.
- [30] Gai Y, Zhao J, Song L, Li C, Zheng P, Qiu L, et al. A prophenoloxidase from the Chinese mitten crab *Eriocheir sinensis*: gene cloning, expression and activity analysis. Fish Shellfish Immunol 2008;24:156–67.
- [31] Gao H, Li F, Dong B, Zhang Q, Xiang J. Molecular cloning and characterisation of prophenoloxidase (ProPO) cDNA from Fenneropenaeus chinensis and its transcription injected by Vibrio anguillarum. Mol Biol Rep 2008. doi:10.1007/ s11033-008-9292-6.
- [32] Cerenius L, Lee BL, Söderhäll K. The proPO-system: pros and cons for its role in invertebrate immunity. Trends Immunol 2008;29:263–71.
- [33] Liu H, Jiravanichpaisal P, Cerenius L, Lee BL, Söderhäll I, Söderhäll K. Phenoloxidase is an important component of the defense against *Aeromonas hydrophila* infection in a crustacean, *Pacifastacus leniusculus*. J Biol Chem 2007;282: 33593–8.
- [34] Tassanakajon A, Klinbunga S, Paunglarp N, Rimphanitchayakit V, Udomkit A, Jitrapakdee S, et al. *Penaeus monodon* gene discovery project: the generation of an EST collection and establishment of a database. Gene 2006;384: 104–12.
- [35] Amparyup P, Jitvaropas R, Pulsook N, Tassanakajon A. Molecular cloning, characterization and expression of a masquerade-like serine proteinase homologue from black tiger shrimp *Penaeus monodon*. Fish Shellfish Immunol 2007;22:535–46.
- [36] Felsenstein J. PHYLIP (Phylogenetic Inference Package) version 3.5c.[Distributed by the author] Seattle: Department of Genetics, University of Washington: 1993.
- [37] Wang YC, Chang PS, Chen HY. Tissue distribution of prophenoloxidase transcript in the Pacific white shrimp *Litopenaeus vannamei*. Fish Shellfish Immunol 2006:20:414–8.
- [38] Ai HS, Huang YC, Li SD, Weng SP, Yu XQ, He JG. Characterization of a prophenoloxidase from hemocytes of the shrimp *Litopenaeus vannamei* that is down-regulated by white spot syndrome virus. Fish Shellfish Immunol 2008:25:28-39
- [39] Kim MS, Baek MJ, Lee MH, Park JW, Lee SY, Söderhäll K, et al. A new easter-type serine protease cleaves a masquerade-like protein during prophenoloxidase activation in *Holotrichia diomphalia* larvae. J Biol Chem 2002;277:39999– 40004.
- [40] Parkinson N, Smith I, Weaver R, Edwards JP. A new form of arthropod phenoloxidase is abundant in venom of the parasitoid wasp *Pimpla hypochon-driaca*. Insect Biochem Mol Biol 2001:31:57–63.

- [41] Jiang H, Wang Y, Korochkina SE, Benes H, Kanost MR. Molecular cloning of cDNAs for two pro-phenol oxidase subunits from the malaria vector, *Anopheles gambiae*. Insect Biochem Mol Biol 1997;27:693–9.
- [42] Ahmed A, Martin D, Manetti AG, Han SJ, Lee WJ, Mathiopoulos KD, et al. Genomic structure and ecdysone regulation of the prophenoloxidase 1 gene in the malaria vector *Anopheles gambiae*. Proc Natl Acad Sci USA 1999;96: 14795–800.
- [43] Waterhouse RM, Kriventseva EV, Meister S, Xi Z, Alvarez KS, Bartholomay LC, et al. Evolutionary dynamics of immune-related genes and pathways in disease-vector mosquitoes. Science 2007;316:1738–43.
- [44] Lee SY, Lee BL, Söderhäll K. Processing of crayfish hemocyanin subunits into phenoloxidase. Biochem Biophys Res Commun 2004;322:490–6.
- [45] García-Carreño FL, Cota K, Navarrete Del Toro MA. Phenoloxidase activity of hemocyanin in whiteleg shrimp *Penaeus vannamei*: conversion, characterization of catalytic properties, and role in postmortem melanosis. J Agric Food Chem 2008.
- [46] Sellos D, Lemoine S, Van Wormhoudt A. Molecular cloning of hemocyanin cDNA from *Penaeus vannamei* (Crustacea, Decapoda): structure, evolution and physiological aspects. FEBS Lett 1997;407:153–8.
- [47] Decker H, Rimke T. Tarantula hemocyanin shows phenoloxidase activity. J Biol Chem 1998;273:25889–92.
- [48] Nagai T, Osaki T, Kawabata S. Functional conversion of hemocyanin to phenoloxidase by horseshoe crab antimicrobial peptides. J Biol Chem 2001;276:27166–70.
- [49] Pless DD, Aguilar MB, Falcón A, Lozano-Alvarez E, Heimer de la Cotera EP. Latent phenoloxidase activity and N-terminal amino acid sequence of hemocyanin from *Bathynomus giganteus*, a primitive crustacean. Arch Biochem Biophys 2003;409:402–10.
- [50] Adachi K, Hirata T, Nishioka T, Sakaguchi M. Hemocyte components in crustaceans convert hemocyanin into a phenoloxidase-like enzyme. Comp Biochem Physiol Part B Biochem Mol Biol 2003;134:135–41.
- [51] Leclerc V, Pelte N, El Chamy L, Martinelli C, Ligoxygakis P, Hoffmann JA, et al. Prophenoloxidase activation is not required for survival to microbial infections in *Drosophila*. EMBO Rep 2006;7:231–5.
- [52] Schnitger AKD, Kafatos FC, Osta MA. The melanization reaction is not required for survival of *Anopheles gambiae* mosquitoes after bacterial infections. J Biol Chem 2007;282:21884–8.
- [53] Tang H, Kambris Z, Lemaitre B, Hashimoto C. Two proteases defining a melanization cascade in the immune system of *Drosophila*. J Biol Chem 2006:281:28097–104.
- [54] Yasuhara Y, Koizumi Y, Katagiri C, Ashida M. Reexamination of properties of prophenoloxidase isolated from larval hemolymph of the silkworm *Bombyx mori*. Arch Biochem Biophys 1995:320:14–23.
- [55] Asada N, Sezaki H. Properties of phenoloxidases generated from prophenoloxidase with 2-propanol and the natural activator in *Drosophila melanogaster*. Biochem Genet 1999:37:149–58.

ELSEVIER

Contents lists available at ScienceDirect

Developmental and Comparative Immunology

journal homepage: www.elsevier.com/locate/dci



Gene silencing of a prophenoloxidase activating enzyme in the shrimp, *Penaeus monodon*, increases susceptibility to *Vibrio harveyi* infection

Walaiporn Charoensapsri^a, Piti Amparyup ^{a,b}, Ikuo Hirono^c, Takashi Aoki^c, Anchalee Tassanakajon ^{a,*}

- a Shrimp Molecular Biology and Genomics Laboratory, Department of Biochemistry, Faculty of Science, Chulalongkorn University, Bangkok 10330, Thailand
- ^b National Center for Genetic Engineering and Biotechnology (BIOTEC), National Science and Technology Development Agency (NSTDA), 113 Paholyothin Road., Klong1, Klong Luang, Pathumthani 12120, Thailand

ARTICLE INFO

Article history: Received 30 December 2008 Received in revised form 15 January 2009 Accepted 21 January 2009 Available online 12 February 2009

Keywords: Shrimp Penaeus monodon Prophenoloxidase activating enzyme Clip domain serine proteinase proPO system

ABSTRACT

The prophenoloxidase (proPO) activating system is an important innate immune response against microbial infections in invertebrates. The major enzyme, phenoloxidase (PO), is synthesized as an inactive precursor and its activation to an active enzyme is mediated by a cascade of clip domain serine proteinases (clip-SPs). In this study, a cDNA encoding a proPO activating enzyme (PPAE) from the black tiger shrimp, *Penaeus monodon*, designated as *PmPPAE1*, was cloned and characterized. The full-length cDNA contains an open reading frame (ORF) of 1392 bp encoding a predicted protein of 463 amino acids including an 18 amino acid signal peptide. The PmPPAE1 protein exhibits a characteristic sequence structure of clip-SPs consisting of the clip domain at the N-terminus and a SP domain at the C-terminus. Sequence analysis showed that PmPPAE1 exhibited the highest amino acid sequence similarity (70%) to a PPAE of the crayfish, Pacifastacus leniusculus. PmPPAE1 mRNA is abundantly expressed in hemocytes, and this is regulated after systemic Vibrio harveyi infection supporting that it is an immune-responsive gene. RNA interference-mediated suppression of PmPPAE1, performed by injection of double-stranded RNA (dsRNA) corresponding to the PmPPAE1 gene into shrimp, resulted in a significant reduction of PmPPAE1 but not other clip-SP and related gene transcript levels of P. monodon, suggesting gene-specific knockdown. RNAi-mediated silencing of PmPPAE1 gene significantly decreased the total PO activity (36.7%) in shrimp and additionally increased the mortality of V. harveyi infected shrimp, the latter of which correlated with an increase in the number of viable bacteria in the hemolymph. These results indicate that PmPPAE1 functions in the proPO system and is an important component in the shrimp immune system.

© 2009 Elsevier Ltd. All rights reserved.

1. Introduction

Invertebrates utilize two broad but interacting categories of defense responses against invading pathogens that are the cellular and the humoral responses. The cellular response includes encapsulation, phagocytosis and nodule formation, whilst the humoral response includes the synthesis of a broad spectrum of potent antimicrobial proteins, the clotting system and the prophenoloxidase activating system (proPO system) [1–3].

The proPO system is one of the major immune responses in invertebrates [1]. Upon injury or infection, non-self molecules, such as lipopolysaccharide (LPS), peptidoglycan and β -1,3-glucan, are recognized by non-self recognition proteins leading to activation of the proPO cascade. The inactive proPO zymogen is converted to the active phenoloxidase (PO), by a clip domain serine

proteinase (clip-SP) designated as a proPO activating enzyme (PPAE) [1,4]. Subsequently, PO catalyzes the production of quinones, which can crosslink neighboring molecules to form melanin at the injury site or around invading microorganisms. Quinones may also be involved in the production of cytotoxic molecules such as superoxides and hydroxyl radicals that could help to kill the invading microorganisms [1,4,5].

The proPO cascade involves several proteolytic steps which are catalyzed by multiple clip-SPs [6–10]. The PPAE, the terminal clip-SP that carries out the proteolysis of the proPO, has been characterized from several insects and a crustacean, including, within insects, *Bombyx mori* [6], *Manduca sexta* [10], *Holotrichia diomphalia* [7] and *Tenebrio molitor* [9], and, within a crustacean, the crayfish *Pacifastacus leniusculus* [8]. They consist of one or more clip domain(s) at the N-terminus and a SP domain at the C-terminus. The SP domain is responsible for signal amplification by cleaving and activating the downstream SPs or proteins. The clip domain, usually composed of between 37 and 55 amino acid residues, is interlinked by three strictly conserved disulfide bonds

^c Laboratory of Genome Science, Tokyo University of Marine Science and Technology, Konan 4-5-7, Minato-ku, Tokyo 108-8477, Japan

^{*} Corresponding author. Tel.: +66 2 218 5439; fax: +66 2 218 5414. E-mail address: anchalee.k@chula.ac.th (A. Tassanakajon).

[11] and connected to the SP domain by a disulfide linkage. Clip-SPs can be divided into catalytic and non-catalytic groups according to their proteolytic activity. The non-catalytic group members, the serine proteinase homologues (SPHs), do not exhibit any proteolytic activity owing to replacement of the serine residue at the active site by glycine. The overall structure of the SP domain of the non-catalytic group is similar to those of SPs [11,12]. In penaeid shrimp, several clip- (or pseudoclip-) SPs and clip- (or pseudoclip-) SPHs have been cloned and characterized [13–17]. However, shrimp clip-SPs that are involved in the proPO system have yet to be clarified.

Previously, we cloned and functionally characterized two proPO cDNAs from the black tiger shrimp, *Penaeus monodon*, and suggested that both proPOs are likely to be important components in the shrimp immune defense [18]. In the present study, a putative PPAE (*Pm*PPAE1) was cloned from the hemocytes of *P. monodon* and its tissue distribution and expression in response to challenge by a pathogenic *Vibrio harveyi* was investigated. The potential participation of the gene product in the proPO system and shrimp immunity was also elucidated by dsRNA-mediated RNA interference (RNAi). The results suggest that *Pm*PPAE1 is an important molecule in the proPO system and is essential for shrimp survival to a systemic infection of *V. harveyi*.

2. Materials and methods

2.1. Sample preparation

Black tiger shrimp, *P. monodon*, were purchased from a local shrimp farm in Thailand and reared in laboratory tanks with sea

water (20 ppt) for seven days before processing. For bacterial challenge experiments, the shrimp of challenged and control samples were intramuscularly injected into the third abdominal segment with V. harveyi (10^6 CFU) in $25~\mu l$ of saline (150~mM NaCl), or with the same volume of saline solution only, respectively. Hemolymph was collected from the ventral sinus between 0 and 48~h after challenge in an anticoagulant solution (10%~(w/v) trisodium citrate dihydrate). Hemocytes were isolated by centrifugation at $800 \times g$ for 10~min at 4~C and the hemocyte pellet was resuspended in $200~\mu l$ of TRI REAGENT (Molecular Research Center, USA).

2.2. Total RNA and cDNA synthesis

Total RNA was extracted from various dissected tissues using the TRI REAGENT and then treated with RNase-free DNase I (Promega, USA). Messenger RNA (mRNA) was purified from the total RNA using a QuickPrep Micro mRNA Purification Kit (Pharmacia, USA). First-strand cDNAs were reverse transcribed from poly-A tailed mRNA using 1.5 μg of DNA-free RNA sample and 0.5 μg of oligo (dT) $_{15}$ primer and the ImProm-II TM Reverse Transcriptase System kit (Promega, USA), according to the manufacturer's protocol.

2.3. Cloning and sequencing of PmPPAE1 cDNA fragment

Degenerate primers were designed from the conserved region of the serine proteinase (SP) domain of PPAEs using the available sequences of crayfish and insect PPAE genes in the database. Primers PPAE-SP-F and PPAE-SP-R (Table 1), designed from the

Table 1
Primer sequences.

Primer	Sequence (5'-3')	Purpose
PPAE-SP-F	5'CGATACGTCYTGACSGCSGCNCAYTG 3'	RT-PCR
PPAE-SP-R	5' TGCATGTGCGGRCCRCCRGARTCNCC 3'	RT-PCR
PmPPA1-F	5' ACATCGCCATCAAGCTGCAAGGAAG 3'	3'-RACE
PmPPA1-R	5' GCTTGTCGATGATGTTCTGTTCGTAGGC 3'	5'-RACE
PmPPAE1-F	5′ TGGGGCGAAGGCACAAGGCGCAG 3′	RT-PCR
PmPPAE1-R	5' CTCTTCTTCAAGCTCACCACTTCTATCT 3'	RT-PCR
PmPPArt-F	5' GTCCTACGACACCACCTAC 3'	RT-PCR
PmPPArt-R	5' CTGTCACCCTGGCACGAATCCT 3'	RT-PCR
realPPA-F	5' AAGAAGAGGGAGCCCCAGCAAC 3'	Real time PCR
realPPA-R	5' TTACTCCTCCCTGTCCAAG 3'	Real time PCR
NcoIppA-F	5' CATGCCATGGGCCATCATCATCATCATCGC	Recombinant protein
• •	ATCGTGGGCGGAAAGGACGCCGA 3'	•
NotIppA-R	5' ATAAGAATGCGGCCGCTTAGACTGCATTATTTT	Recombinant protein
• •	TAATCCAGTC 3'	•
PPAi-F	5' CGTCTGCTTCATTGAGGGAGTG 3'	RNAi
PPAi-R	5' GTAGTAGATGCTCCCAGCCT 3'	RNAi
T7PPAi-F	5' GGATCCTAATACGACTCACTATAGGCGTCT GCTTCATTGAGGGAGTG 3'	RNAi
T7PPAi-R	5' GGATCCTAATACGACTCACTATAGGGTAGTA GATGGTGCCCCAGCCT 3'	RNAi
GFP-F	5'ATGGTGAGCAAGGGCGAGGA 3'	RNAi
GFP-R	5' TTACTTGTACAGCTCGTCCA 3'	RNAi
GFPT7-F	5' TAATACGACTCACTATAGGATGGTGAGCAA GGGCGAGGA 3'	RNAi
GFPT7-R	5' TAATACGACTCACTATAGGTTACTTGTACAG CTCGTCCA 3'	RNAi
PmPPAE2rt-F	5' GCGGCGGTCACGCTCCTTGTTC 3'	RT-PCR
PmPPAE2rt-R	5' ACTCTCGGGGGCACGCTTGTTG 3'	RT-PCR
PmSP1rt-F	5' TGAGAGCACAAATAGTGGAGGGGTA 3'	RT-PCR
PmSP1rt-R	5' TGGAGGCAGGCACAGGCAAC 3'	RT-PCR
PmSP2rt-F	5' GGCGTTGGTCTCACTGCTCTC 3'	RT-PCR
PmSP2rt-R	5' CAGAACTGCCTTCCAAGGATAG 3'	RT-PCR
PmSPH1rt-F	5' TACGTACTCATTGATATCAGGTTTGG 3'	RT-PCR
PmSPH1rt-R	5' GCCTCGTTATCCTTGAATCCAGTGA 3'	RT-PCR
PmSPH2rt-F	5' CCGTGAACCAGCGATGTCCTTA 3'	RT-PCR
PmSPH2rt-R	5' GCCACACTCTCCGCCTGCTCCG 3'	RT-PCR
PmSPH3rt-F	5' GCTCTTGGTGCTGCCGCTGTTG 3'	RT-PCR
PmSPH3rt-R	5' CACCGTCCACGCACAGGTAATA 3'	RT-PCR
EF1α-F	5' GGTGCTGGACAAGCTGAAGGC 3'	RT-PCR
EF1α-R	5' CGTTCCGGTGATCATGTTCTTGATG 3'	RT-PCR

conserved amino acid sequences TAAHC and GDSGGP, respectively, were used for PCR amplification. Hemocyte cDNA samples were used as templates in a 25 μl PCR reaction containing the primer pair PPAE-SP-F and PPAE-SP-R (0.2 μM each), dNTP (100 μM), PCR buffer (1X) and Taq DNA polymerase (1.0 U). The PCR conditions consisted of an initial denaturation at 94 °C for 3 min, followed by 35 cycles of denaturation at 94 °C for 1 min, annealing at 55 °C for 1 min, extension at 72 °C for 1 min, and a final extension at 72 °C for 10 min. The PCR product was analyzed by TBE-1.5% agarose gel electrophoresis and the PCR product of the expected molecular size (500 bp) was recovered from the gel and cloned into the pGEM-T Easy vector (Promega, USA). The recombinant plasmids were extracted by plasmid DNA extraction kit (Qiagen, USA) and commercially sequenced (Macrogen Inc., Korea) on both strands to obtain the complete consensus sequence.

2.4. Rapid amplification of cDNA end (RACE)-PCR

Based on the obtained partial cDNA sequences, specific primers of PmPPAE1 (Table 1) were designed for 3' and 5' rapid amplification of cDNA ends (RACE). Both 3' and 5' RACE reactions were performed with a SMART RACE cDNA Amplification Kit (Clontech, USA), according to the manufacturer's instructions. The PCR reaction was performed using PmPPA1-F and PmPPA1-R (Table 1), otherwise as described by Amparyup et al. [16]. The RACE products were purified, cloned, and sequenced as described above. Three clones were selected randomly to verify the complete cDNA sequence data. The amplification of a single fragment of a fulllength PmPPAE1 cDNA was carried out by PCR using the primer pair PmPPAE1-F and PmPPAE1-R (Table 1) and Pfu DNA polymerase (Promega, USA). Amplification was composed of 94 °C for 3 min followed by 25 cycles of 94 °C for 1 min, 55 °C for 1 min and 72 °C for 3 min. The final extension was carried out at 72 $^{\circ}$ C for 10 min. The PCR product was cloned and sequenced in both directions by a commercial service (Macrogen Inc., Korea).

2.5. Sequence analysis

DNA and deduced amino acid sequences were analyzed using the BLAST programs in the GenBank database. The potential cleavage site of the signal peptide was predicted using the SignalP 3.0 server (http://www.cbs.dtu.dk/services/SignalP/). Multiple sequence alignments of nucleotide and deduced amino acids were performed using Clustal W2 program (http://www.ebi.ac.uk/Tools/clustalw2/).

2.6. Tissue specific expression of PmPPAE1

The mRNA expression of PmPPAE1 in various shrimp tissues was determined by semi-quantitative RT-PCR. Total RNA was extracted from the tissues of hemocyte, gill, lymphoid organ, intestine, hepatopancreas and heart of P. monodon. The PmPPAE1 specific primers, PmPPArt-F and PmPPArt-R (Table 1), were designed from the full-length PmPPAE1 cDNA sequence. The elongation factor $1-\alpha$ gene (EF1- α) was amplified as a partial gene fragment of 150 bp using the primer pair EF1 α -F and EF1 α -R (Table 1) as an internal control. One microliter of the first-strand cDNA synthesized from 1.5 µg of total RNA was subjected to PCR in a 25 µl reaction volume containing 75 mM Tris-HCl, pH 8.8, $20 \text{ mM} (NH_4)_2SO_4, 0.1\% (v/v)$ Tween 20, 1.5 mM MgCl₂, 100 μ M of each dNTP, 0.2 µM of each specific primer and 1 unit of Taq DNA polymerase (Fermentas, USA). The template DNA was denatured at 94 °C for 1 min followed by 30 cycles of denaturing at 94 °C for 30 s, annealing at 60 °C for 30 s and extension at 72 °C for 30 s. The final extension was performed at 72 °C for 5 min. Ten microliter of the amplification product was analyzed by electrophoretic resolution through a TBE-1.8% agarose gel followed by ethidium bromide staining and UV-transillumination.

2.7. Real-time PCR analyses

Real-time PCR of PmPPAE1 mRNA was performed using gene-specific primers (realPPA-F and realPPA-R)(Table 1). The shrimp elongation factor $1-\alpha$ gene fragment was amplified as above and used as the normalization control. The amplification reaction and thermal profile were performed as described by Amparyup et al. [16]. Real-time PCR reaction was carried out in an iCycler-iQTM system (Bio-Rad Laboratories, USA) using SYBR Green I dye detection. Each sample had three replicates in each plate. For the relative quantification analyses, the amount of target transcript was related to the internal standard, EF1- α , in the same sample of V. harveyi injected shrimp hemocytes. The Ct values of V. harveyi injected samples at each time point were thus normalized with the saline-injected samples and a mathematical model was used to determine the relative expression ratio [19].

2.8. Recombinant protein expression, purification and antibody production

The SP domain of *Pm*PPAE1 was amplified with the primer pair NcoIPPA-F and NotIPPA-R (Table 1) using Pfu DNA polymerase (Promega, USA). The purified PCR product was cloned into the prokaryotic expression vector pET28b and transformed into Escherichia coli Rosetta (DE3) pLysS cells. The transformed E. coli was grown in culture, and recombinant protein expression was induced with IPTG (1 mM). The recombinant SP-domain (rSPdomain) of PmPPAE1 was analyzed by reducing SDS-PAGE resolution, with a 15% (w/v) acrylamide resolving gel, and subsequent coomassie brilliant blue staining. The rSP-domain protein was found to be located principally in inclusion bodies. The pellet containing the inclusion bodies was then subjected to purification by Ni-NTA affinity chromatography column according to the manufacturer's suggestions for insoluble proteins (Qiagen, USA). The purified rSP-domain of PmPPAE1 was used to generate rabbit polyclonal antibodies by a commercial service at Biomedical Technology Research Unit, Chiang Mai University, Thailand.

2.9. Western blot analysis

Hemolymph was collected from the ventral sinus in an anticoagulant solution (0.45 M NaCl, 0.1 M glucose, 26 mM citric acid, 30 mM trisodium citrate, 10 mM EDTA, pH 4.6) and centrifuged at $800 \times g$ for 10 min at 4 °C. The supernatant was used as a cell-free plasma solution. The hemocyte pellet was washed twice and homogenized in 150 mM NaCl containing 2 mM EDTA. The homogenate was then centrifuged at $25,000 \times g$ for 20 min at 4 °C to obtain the hemocyte lysate supernatant (HLS). For Western blot analysis, approximately 20 µg of shrimp HLS protein and $100 \, \mu g$ of cell-free plasma protein were loaded on a reducing SDS-PAGE gel (15% (w/v) acrylamide resolving gel), and after electrophoresis was electro-blotted onto a PVDF membrane (Amersham Biosciences). Membranes were then blocked in 5% (w/v) non-fat dry milk in Tris-Buffered Saline (TBS; 20 mM Tris pH 7.5, 150 mM NaCl) and 0.05% (v/v) Tween 20. PmPPAE1 protein was detected with rabbit polyclonal anti-rSP-domain of PmPPAE1 antisera (1:1000 dilution) as the primary antibody and, after incubation and washing, with anti-rabbit alkaline phosphatase conjugated antibodies (1:20,000 dilution) as a secondary antibody (Promega, USA). After secondary antibody incubation and washing, the alkaline phosphatase antibody-protein band complex was detected with 5-Bromo-4-chloro-3-indolyl Phosphate/Nitroblue Tetrazolium (BCIP/NBT) as the chromogenic substrate.

2.10. Synthesis of dsRNA

Double-stranded RNA (dsRNA) corresponding to the PmPPAE1 sequence was generated by in vitro transcription. DNA templates for dsRNA preparation of PmPPAE1 were performed using the gene-specific primers PPAi-F and PPAi-R (Table 1). The primers for the dsRNA synthesis consist of the same primer sequences but flanked at the 5' end by a T7 promoter sequence. Two separate PCR reactions were set up, one with T7PPAi-F and PPAi-R (Table 1) for the sense strand template, the other with PPAi-F and T7PPAi-R (Table 1) for the anti-sense strand template. For an exogenous gene, a 740-bp fragment of the green fluorescent protein (GFP) was amplified with the pEGFP-1 vector as template using GFPT7-F and GFP-R (Table 1) for the sense strand template, and GFP-F and GFPT7-R (Table 1) for the anti-sense strand template. One microgram of each template was used in an in vitro transcription using the T7 RiboMAXTM Express Large Scale RNA Production Systems (Promega, USA), according to the manufacturer's instructions. Equal amounts of sense and anti-sense single stranded RNA were annealed to produce dsRNA and the remaining DNA template in the solution was digested with RNase-free DNase I. The quality and amount of dsRNAs was verified by TBE-1.5% agarose gel electrophoresis with UV visualization following ethidium bromide staining, and UV spectrophotometry, respectively.

2.11. In vivo gene silencing

Specific pathogen-free (SPF) *P. monodon* were obtained from the Shrimp Genetic Improvement Center, BIOTEC, Thailand. These SPF shrimp were specifically free of white spot syndrome virus (WSSV), yellow head virus (YHV), Taura Syndrome Virus (TSV), infectious hypodermal and haematopoietic necrosis virus (IHHNV) and *V. harveyi* bacteria as determined by PCR diagnosis.

SPF shrimp (\sim 2 g, fresh weight) was intramuscularly injected with 5 µg of either PmPPAE1 (2.5 µg dsRNA per 1 g shrimp) or GFP dsRNA dissolved in 25 µl of 150 mM NaCl, using a 0.5-ml insulin syringe with a 29-gauge needle, to assess the sequence-specific knockdown effect of dsRNA. Injection of 150 mM NaCl alone was done as an additional control for handling and injection induced mortality. The injection of dsRNA (5 µg) or saline was repeated together with 20 µg of the lipopolysaccharide (LPS) from E. coli 0111:B4 (Sigma) and laminarin (β -1,3-glucan chain with some β -1,6-linked glucose units) (Sigma) at 24 h after the first injection. Total RNA was collected and extracted from the hemolymph of shrimp from all three groups at 48 h after the second dsRNA/saline injection. From this total RNA preparation, the PmPPAE1 transcript level was determined by semi-quantitative RT-PCR analysis.

2.12. Semi-quantitative RT-PCR analysis

First-strand cDNA was synthesized from total RNA (180 ng) using the ImProm-IITM Reverse Transcriptase (Promega, USA) and oligo(dT)₁₅ primer as described by the manufacturer. The level of PmPPAE1 gene transcript in each RNA sample was examined by semi-quantitative RT-PCR using the PPAi-F and PPAi-R primer pair (Table 1). Elongation factor $1-\alpha$ gene fragment amplification again served as the internal control for cDNA template normalization. One microliter of the first-strand cDNA synthesized from total RNA was subjected to PCR in a 25 µl reaction volume containing 75 mM Tris-HCl, pH 8.8, 20 mM (NH₄)₂SO₄, 0.1% (v/v) Tween 20, 1.5 mM MgCl₂, 100 μ M of each dNTP, 0.2 μ M of each specific primers and 1 unit of Taq DNA polymerase (Fermentas, USA). The thermal cycling conditions were: 94 °C for 1 min, followed by 25 cycles of 94 °C for 30 s, 55 °C for 30 s, 72 °C for 30 s and 72 °C for 10 min. The PCR product was analyzed by TBE-1.8% agarose gel electrophoresis as above.

2.13. Assay of hemolymph phenoloxidase activity

Total PO enzymic activity was assayed 48 h after the second dsRNA injection. Hemolymph was withdrawn without the use of anti-coagulant from the shrimp ventral sinus. L-3,4-dihydroxyphenylalanine (L-dopa) dissolved in water was used to detect PO activity in the hemolymph extracts according to Amparyup et al. [18]. Briefly, 2 mg of total hemolymph proteins in 435 μ l of Tris–HCl (10 mM, pH 8.0) were mixed with 65 μ l of freshly prepared L-dopa (3 mg/ml in water) (Fluka). After incubation at room temperature for 30 min, 500 μ l of 10% (v/v) acetic acid was added to each mixture and the PO activity was measured as the increased absorbance at 490 nm with time. PO activity was recorded as ΔA_{490} /mg total protein/min against control samples that used distilled water instead of shrimp hemolymph. Protein concentration was measured using a Bradford assay kit (Bio-Rad).

2.14. Cumulative mortality assay

V. harveyi isolate 639, a known pathogenic isolate of *P. monodon* shrimp, was revived from a glycerol stock previously stored at $-80\,^{\circ}\text{C}$ using TSA (tryptic soy agar). The plate was incubated for 18 h at 30 °C. A single colony was picked and resuspended in 4 ml of TSB (tryptic soy broth) medium overnight at 30 °C, and 40 μl was subsequently inoculated into 8 ml TSB and cultured at 30 °C. The bacterial concentration was established by estimating the optical density (OD) at 600 nm. Four different concentrations; 10^6 , 10^5 , 10^4 and 10^3 colony forming units (CFUs)/ml were assessed as a preliminary experiment, conducted to determine the appropriate dose for mortality assay experiments (data not shown), with the result that 2×10^5 CFUs/ml was the dose that could kill 40-50% of the shrimp within 48 h, and so was chosen.

SPF shrimp, each of ${\sim}10\,\mathrm{g}$ in size, were each intramuscularly injected with 20 μg of $\mathit{PmPPAE1}$ dsRNA (2 μg dsRNA per 1 g shrimp) or 150 mM NaCl in 25 μl volume. Injection of GFP dsRNA (20 μg) was included as a sequence-independent dsRNA control. Twenty-four hours after the first dsRNA injection, shrimp were again injected intramuscularly with 25 μl of saline solution containing 20 μg of dsRNA and 2 \times 10 CFUs of $\mathit{V. harveyi.}$ Controls, injected with saline or GFP dsRNA in saline, were included to evaluate the effects of saline injection and handling, and that plus non-specific dsRNA injections, respectively. The cumulative mortality was recorded twice a day for 5 days post $\mathit{V. harveyi}$ challenge. The experiment was performed in triplicate groups, with each group consisting of 8–12 healthy shrimp. Statistical analysis of the mortality test was performed using a one-way ANOVA test.

2.15. Viable bacterial counts in the hemolymph of PmPPAE1-silenced shrimp after systemic V. harveyi challenge

The bacteria count was performed as described by Liu et al. [20]. SPF shrimp, each $\sim\!10$ g in size, were injected with 20 μg of either PmPPAE1 dsRNA, or for controls, the same amount of GFP dsRNA. Experimental tests were conducted in triplicate with three shrimp per replicate. Twenty-four hours after the first dsRNA injection, shrimp were reinjected intramuscularly but with 20 μg of dsRNA and 2 \times 10 5 CFUs of $\emph{V. harveyi.}$ Hemolymph from each shrimp were collected 6 h after $\emph{V. harveyi}$ injection and the number of bacterial cells in hemolymph was determined by a modified total plate count by serial dilution of each hemolymph sample and then plating by 10 μl spotting onto LB-agar plate (10 $\mu l/dot$) and incubating at 30 $^\circ$ C overnight followed by counting of bacterial CFUs.

3. Results

3.1. Cloning and characterization of PmPPAE1

Using degenerate primers corresponding to the conserved regions of the serine proteinase (SP) domain of PPAEs, several SPs and serine proteinase homologues (SPHs) were obtained from the hemocyte of *P. monodon* including two putative PPAEs (*Pm*PPAE1; accession nos. FJ595215 and *Pm*PPAE2; FJ620685) and a masquerade-like SPH (named *Pm*MasSPH2; FJ620686). Interestingly, a putative PPAE (*Pm*PPAE1; FJ595215) exhibited the highest sequence similarity score (77%) with the freshwater crayfish, *P.*

leniusculus, PPAE (AJ007668). The partial cDNA of *PmPPAE1* encoded most of the SP catalytic domain (155 predicted aa.). A full-length sequence of the putative *P. monodon PmPPAE1* cDNA (1515 bp) was then obtained by RACE-PCR and found to contain 55-nucleotides of 5'-untranslated region (UTR), a 1392-nucleotide open reading frame, and a 68-nucleotide 3'-UTR. The ORF encoded a predicted polypeptide of 463 amino acid residues. The putative signal peptide consists of 18 amino acids followed by the mature peptide of 445 amino acids (Fig. 1). The calculated molecular mass of the mature peptide is 50.54 kDa with a predicted isoelectric point (pI) of 7.46. Two putative N-glycosylation sites, NGS (aa. position 42) and NAT (aa. position 192) sites, were found in the

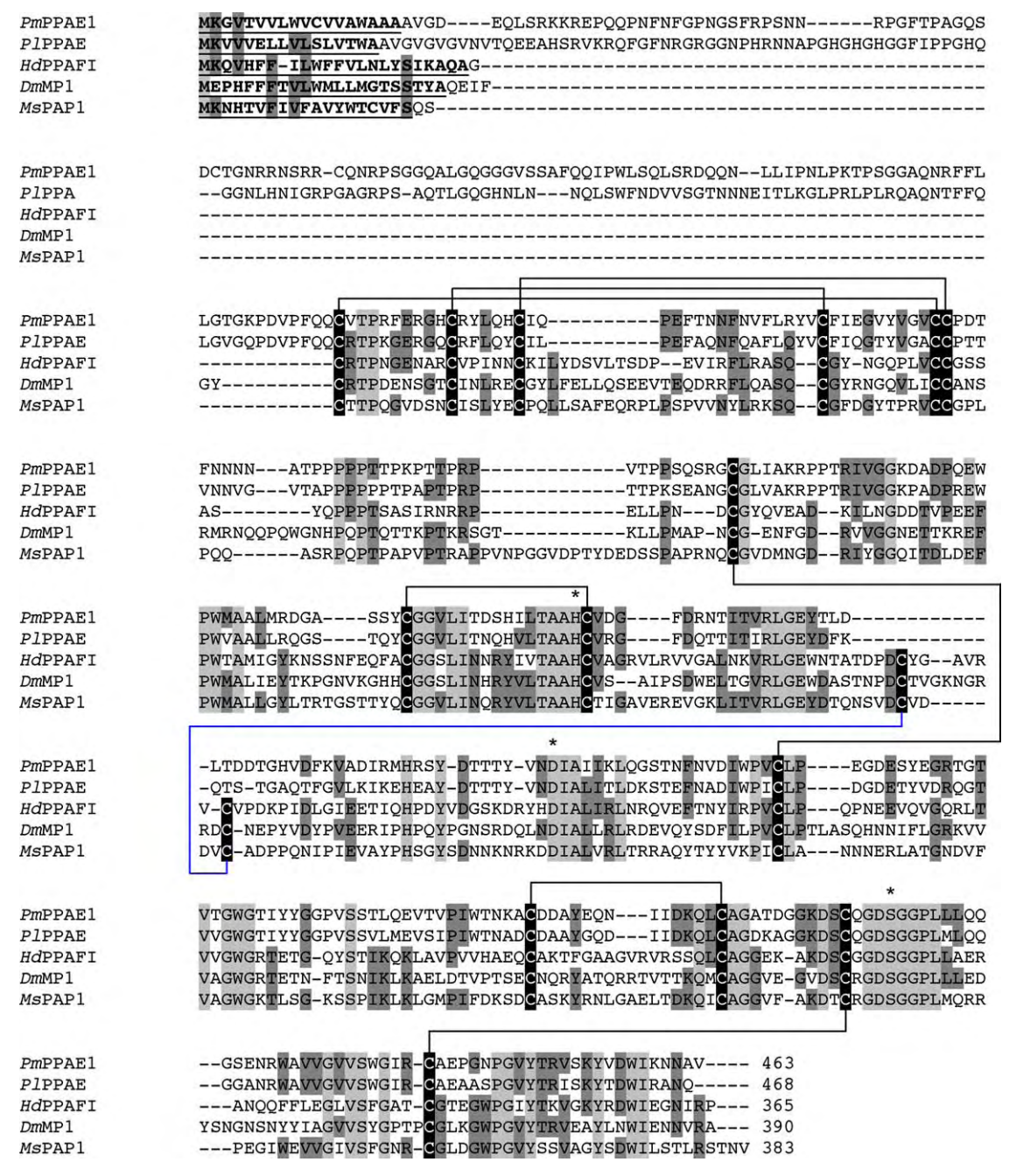


Fig. 1. Multiple amino acid sequence alignment of *Penaeus monodon* PPAE1 (*PmPPAE*1; FJ595215) with that of other arthropod PPAEs: the crustacean *Pacifastacus leniusculus* (*PlPPAE*: AJ007668); the insects *Holotrichia diomphalia* PPAE (*HdPPAFI*: AB013088); *Manduca sexta* PPAE (*MsPAP1*: AF059728) and *Drosophila melanogaster* Melanization Protease-1 (*DmMP1*: NM_141193). The signal peptide is in bold and underlined. Identical amino acid residues are grey shaded. Dark gray indicates conservation in three or more species. Black highlights indicate conserved cysteine residues. The putative disulfide linkages are shown by solid lines. The amino acid residues corresponding to the catalytic triad of serine proteinases are marked by black stars.

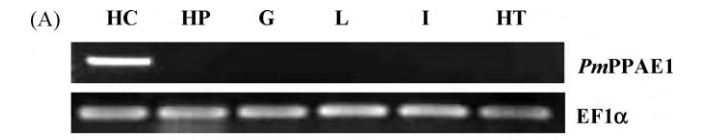
N-terminal region suggesting that it is a likely glycoprotein. Using the SMART program analysis, the six conserved cysteines of the clip domain and the three conserved catalytic sites (H271, D320 and S413) of trypsin-like SP domain were annotated as being present in the mature peptide of *PmPPAE1*.

Searching for sequence similarities of known proteins by BlastX revealed that the amino acid sequence of the *P. monodon PmPPAE1* is highly similar to *P. leniusculus PPAE* (70% similarity; AJ007668), the lepidopteran insects *Manduca sexta* hemocyte protease-1 (62% similarity; AAB94557) and *Bombyx mori* hemocyte protease (61% similarity; NM_001046950). It also shows 59% similarity to the horseshoe crab, *Tachypleus tridentatus*, proclotting enzyme (AAA30094).

Pair-wise alignments between the complete sequence of shrimp *PmPPAE1* and that of crayfish PPAE revealed that the predicted amino acid residues representing a clip domain (six cysteine residues) and a SP domain (H271, D320 and S413) were located at the N- and C- terminus, respectively (Fig. 1), indicating that this protein likely belongs to the family of clip domain SPs. Interestingly, two additional domains, a glycine-rich and proline-rich region, in the pro-region of *PmPPAE1* (13.2% of glycine and 31.8% of proline) are similar to the glycine (18.5%) and proline (31.8%) rich domains of the crayfish PPAE, respectively. Therefore, this *PmPPAE1* was identified as a crustacean PPAE.

3.2. Expression of PmPPAE1 transcript in different tissues of P. monodon

The *PmPPAE1* mRNA expression in various tissues of *P. monodon* was investigated by RT-PCR (Fig. 2(A)). The *PmPPAE1* mRNA was abundantly expressed in hemocytes, but it was not detected in all other tissues examined, that are the hepatopancreas, gill, lymphoid organ, intestine and heart. EF1- α was used as the internal PCR and cDNA template control and was positively amplified from all tissues with no apparent large differences (if any) in the amount of



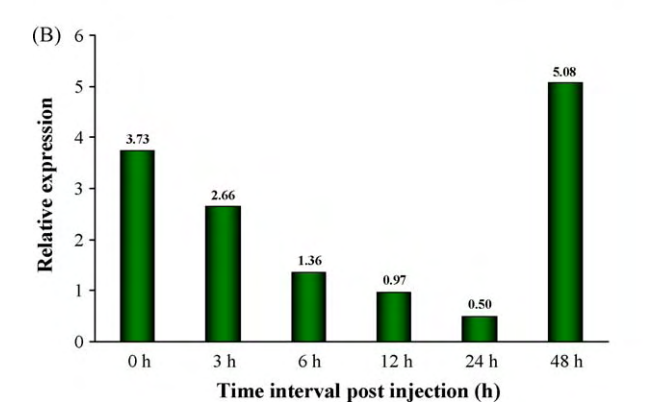


Fig. 2. (A) Tissue distribution analysis of the *PmPPAE1* transcript of *Penaeus monodon* by RT-PCR analysis: Hemocyte (HC), hepatopancreas (HP), gill (G), lymphoid organ (L), intestine (I) and heart (HT). EF1- α was used as a control housekeeping gene to indicate and standardize the amount of cDNA template in each RT-PCR reaction. Shown is a representative experiment from two independent repeats. (B) Relative expression analysis of *PmPPAE1* transcripts in the hemocytes of *Vibrio harveyi*-injected shrimp by SYBR Green real-time PCR at the indicated times post-injection. Relative expression levels of mRNA were calculated according to Pfaffl [19], using EF1- α as the internal reference gene.

PCR products, suggesting equal cDNA template levels and thus the specificity of transcript expression of *Pm*PPAE1 to hemocytes.

3.3. The temporal expression of PmPPAE1 mRNA in hemocyte after bacterial challenge

The temporal mRNA expression of the PmPPAE1 after challenge with the Gram-negative bacteria $V.\ harveyi$ 639 was measured by real-time quantitative RT-PCR (Fig. 2(B)). The pooled cDNAs of three individual shrimp at each time point were prepared from the total RNA of hemocytes of the challenged and control shrimp. Amplification of the partial fragment of EF1- α mRNA was used as the template reference gene. Bacterial injection affected the transcript abundance of the PmPPAE1 gene. The transcript of PmPPAE1 was decreased almost linearly over the first 6 h by 0.71-and 0.36- fold at 3 and 6 h, respectively, and then decreased further, but at a slower rate, up to a minimum 0.13-fold decreased expression level at 24 h after injection. Interestingly, by 48 h the transcript expression levels increased back to some 1.36-fold higher than at zero post infection.

3.4. Recombinant expression and Western blotting

The C-terminal SP domain of *Pm*PPAE1 was recombinantly expressed in *E. coli* Rosetta (DE3) pLysS cells. The predicted molecular mass of the recombinant protein (rSP-domain) is 26.59 kDa whilst that determined by SDS-PAGE, was ~27 kDa (Fig. 3(A)), which is consistent with the calculated value. Using the purified rSP-domain protein as immunogen, rabbit polyclonal anti-rSP-domain antisera was generated commercially by standard immunization and bleeding of rabbits. Western blot analysis indicated that the polyclonal rabbit antisera reacted specifically with the rSP-domain protein (Fig. 3(B)).

To detect endogenous *PmPPAE1* expression in hemocytes of healthy shrimp, hemolymph was collected with anticoagulant containing EDTA. Twenty micrograms of the inactive crude HLS was subjected to reducing SDS-PAGE (12% (w/v) acrylamide resolving gel) and then transferred onto a polyvinylidene difluoride (PVDF) membrane. Western blot analysis showed that one protein band, which corresponded to *PmPPAE1* with a predicted molecular weight of 50 kDa, was detected in hemocytes but not in the cell-free plasma (Fig. 3(C) and (D)).

3.5. Gene silencing of PmPPAE1

To determine the efficiency of dsRNA mediated knockdown of PmPPAE1 transcript levels, shrimp (~ 2 g) were injected with 5 μ g of dsRNA specific for the PmPPAE1 gene and the level of PmPPAE1 expression was determined 2 days after dsRNA injection. The RT-PCR analysis showed that the transcript level of PmPPAE1 was decreased in PmPPAE1 knockdown shrimp, whereas injection of GFP dsRNA had no discernable effect on the PmPPAE1 transcript levels (Fig. 4).

The specificity of gene knockdown was further verified by RT-PCR using gene-specific primers for the other known clip-SPs of *P. monodon*. The RT-PCR results demonstrated that injection of *PmPPAE1*-dsRNA did not detectably suppress transcription of the other clip-SPs (*PmPPAE2*; FJ620685, *PmClipSP1*; FJ620688 and *PmClipSP2*; FJ620687) and clip-SPHs (*PmMasSPH1*; DQ455050, *PmMasSPH2*; FJ620686 and *PmMasSPH3*; FJ620689) (Fig. 4), which supports the likely specificity of *PmPPAE1* RNAi knockdown.

3.6. Total phenoloxidase enzymic activity in the hemolymph

To determine whether suppression of the *PmPPAE1* gene transcript levels by RNAi knockdown would result in a reduction of

Purified rSP-domain of PmPPAE1 (A) M M — 170 kDa - 170 kDa - 130 kDa - 130 kDa - 100 kDa 100 kDa 70 kDa 70 kDa 55 kDa 55 kDa 40 kDa 40 kDa - 35 kDa 35 kDa 25 kDa 25 kDa 15 kDa 15 kDa

Hemocyte and plasma proteins

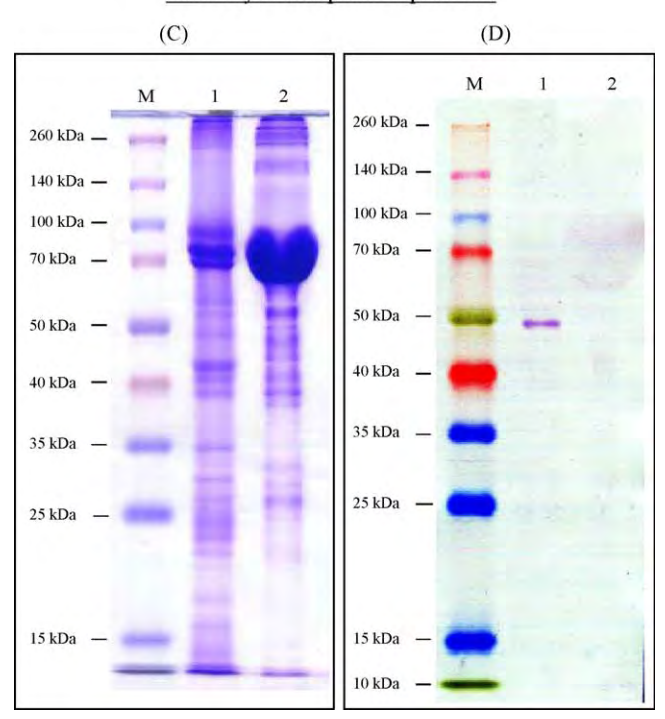


Fig. 3. SDS-PAGE and Western blot analysis of purified recombinant SP-domain (rSP-domain) of *Pm*PPAE1 (A and B), hemocyte and cell-free plasma proteins (C and D). Purified recombinant protein (1 μ g), hemocyte proteins (20 μ g) and cell-free plasma proteins (100 μ g) were separated on reducing SDS-PAGE (12% (w/v) acyrlamide resolving gel), and the proteins were stained with Coomassie blue (left) or transferred to a PVDF membrane for Western blot analysis (right) probing with rabbit anti-rSP-domain polyclonal antibody. Lanes 1A and 1B, rSP-domain; lanes 1C and 1D, hemocyte proteins; lane 2C and 2D, cell-free plasma proteins; lane M, protein marker.

the total PO activity, hemolymph was collected from the knockdown shrimp and subjected to a total PO enzymic activity assay. The result showed a significant reduction (\sim 36.7%) in the total PO activity in the RNAi-mediated *PmPPAE1* knockdown shrimp,

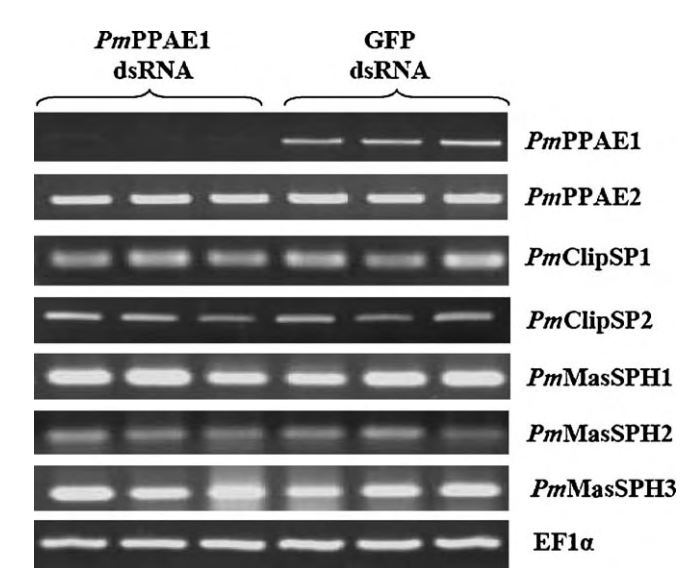


Fig. 4. Gene-specific silencing of *PmPPAE1* transcript levels in *Penaeus monodon* hemocyte. Shrimp (\sim 2 g, fresh weight) were injected twice with 5 μg of *PmPPAE1* or GFP dsRNAs as outlined in Section 2. Total RNA was extracted from hemocytes 48 h after the second injection and was subjected to analysis using semi-quantitative RT-PCR. Each lane represents cDNA from an individual shrimp. The effect of *PmPPAE1* dsRNA injection on the expression levels of *PmPPAE1* and the other known other clip-SPs (*PmPPAE2*; FJ620685, *PmC*lipSP1; FJ620688 and *PmC*lipSP2; FJ620687) and clip-SPHs (*PmMasSPH1*; DQ455050, *PmMasSPH2*; FJ620686 and *PmMasSPH3*; FJ620689) of *P. monodon* was further examined by RT-PCR using gene-specific primers (Table 1). EF1- α was used as a control housekeeping gene to standardize the amount of cDNA template in each reaction.

whereas the GFP injected shrimp showed no significantly decreased total PO activity when compared to the NaCl control (Fig. 5).

3.7. Mortality assay and bacterial clearance

To test whether *Pm*PPAE1 is necessary for shrimp to survive *V. harveyi* infection, shrimp (\sim 10 g) were pre-injected with *Pm*PPAE1 dsRNA (\sim 20 μ g), followed by a subsequent injection with a normally sub-lethal dose of the Gram-negative pathogenic bacterium, *V. harveyi* 639 (2×10^5 CFUs). Mortality was then

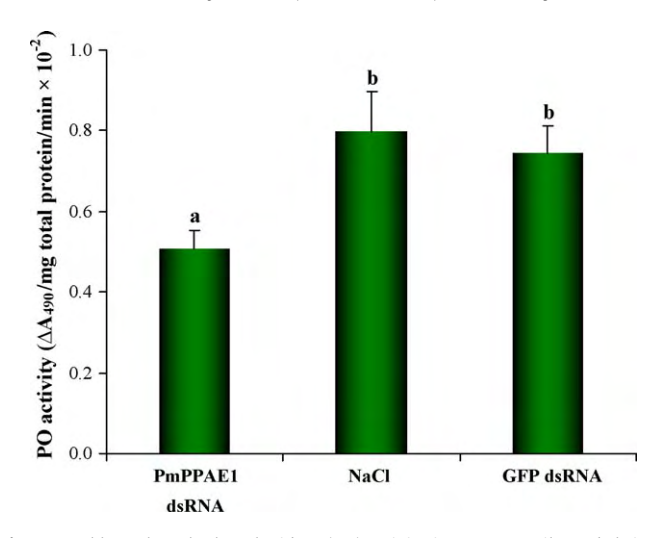


Fig. 5. Total hemolymph phenoloxidase (PO) activity in PmPPAE1 silenced shrimp. Hemolymph was collected 48 h after the second dsRNA injection. Shrimp injected with either GFP dsRNA in saline (150 mM NaCl), or with only saline, were used as control groups. The total PO enzymic activity was measured using L-dopa and was defined as ΔA_{490} /mg protein/min. Experiments were repeated three times and the data is shown as the mean \pm standard deviation. Means with the same lower case letters (above each bar) are not significantly different at the p < 0.05 level.

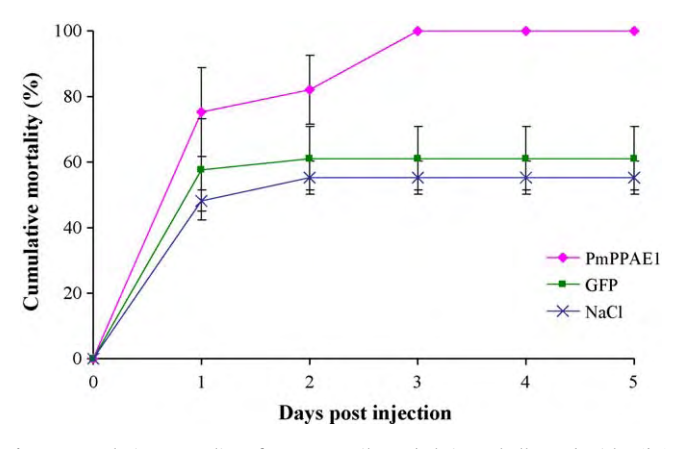


Fig. 6. Cumulative mortality of *PmPPAE1* silenced shrimp challenged with *Vibrio harveyi*. Shrimp were injected with *V. harveyi* 639 (2×10^5 CFUs) following the second injection of dsRNA as outlined in Section 2. Control groups were injected with either GFP dsRNA in saline (150 mM NaCl), or just saline. Shrimp mortality was recorded twice each day for 5 days. The cumulative mortality (%) in each experimental group (\$-10 shrimp/group) is presented as the mean \pm standard deviation, and is derived from triplicate independent experiments.

scored 3 h after infection and twice a day thereafter (Fig. 6). Shrimp injected with PmPPAE1 dsRNA attained 100% cumulative mortality within 72 h post infection, whereas shrimp injected with GFP dsRNA attained a total cumulative mortality of $\sim 60\%$, which was not significantly different from that of the control (saline injected shrimp). The high mortality rate of the PmPPAE1 knockdown shrimp were accompanied by a high viable bacterial count in the hemolymph after 6 h with some four-fold higher amounts in the PmPPAE1 knockdown shrimp compared with the controls (Fig. 7). These results suggest that PmPPAE1 is likely to participate in the proPO system and plays an important role in protecting shrimp from V. Parveyi infection, or at least severe systemic infections, by enhancing bacterial clearance.

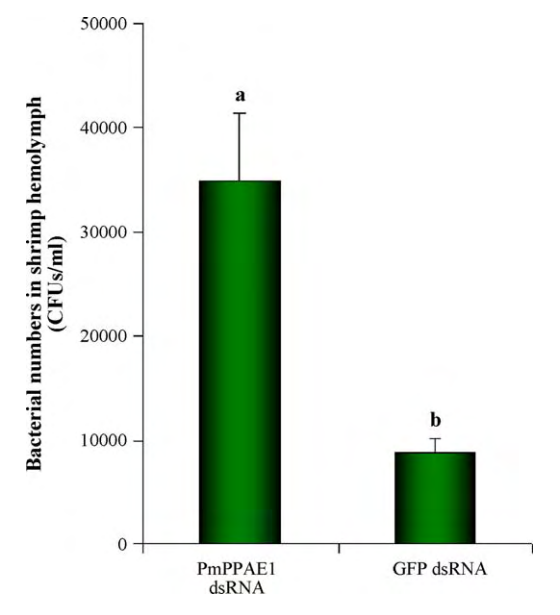


Fig. 7. Bacterial numbers in *PmPPAE1* knockdown shrimp. Shrimp were injected with *PmPPAE1* or GFP (control) dsRNA, as outlined in Section 2, and then injected with a systemic *Vibrio harveyi* 639 (2×10^5 CFUs). The bacterial colony forming units (CFUs), by a modified total plate count method, in the shrimp hemolymph were determined as CFUs/ml of hemolymph at 6 h after the bacterial challenge. The data represent the mean \pm standard deviation and are derived from three independent repeats. Means with the same lower case letters (above each bar) are not significantly different at the p < 0.05 level.

4. Discussion

Invertebrate clip domain serine proteinases (clip-SPs) are one of the essential components of extracellular signaling cascades in various biological processes, especially in embryonic development and innate immune responses [11,12,21,22]. In the present study, we identified and characterized a clip-SP from the black tiger shrimp, *P. monodon*, that showed the highest sequence similarity to the crayfish, *P. leniusculus* PPAE. Previously, the crayfish PPAE has been shown to be the terminal enzyme of the proPO cascade that converted the inactive proPO to the active PO [8,23]. High sequence identity (60%) and similarity (70%) of the *P. monodon* clip-SP with crayfish PPAE, suggests its possible role as a PPAE in the melanization cascade of *P. monodon* shrimp. Thus, it was named *PmPPAE1*.

Based on the predicted amino acid sequence of *Pm*PPAE1, the protein is composed of two domains, an N-terminal clip domain and a C-terminal SP domain, which together are the characteristics of the clip-SPs [11]. The predicted mature *Pm*PPAE1 enzyme contains a conserved catalytic triad (H271, D320 and S413 of the trypsin-like SP family) which is present in all trypsin-like SPs and is crucial for the formation and stabilization of the catalytic site in the three-dimensional structure of the activated enzyme [11].

The tissue distribution of *PmPPAE1* transcripts, as determined by RT-PCR analysis, revealed that *PmPPAE1* was highly expressed in hemocyte but was not expressed in digestive tissues such as the hepatopancreas and intestine. A similar expression profile has been observed for PPAE mRNA in *P. leniusculus*, where the mRNA was found to be expressed in hemocytes but not in the hepatopancreas [8]. Moreover, the results of Western blot analysis shown here suggest that endogenous *PmPPAE1* was present in hemocytes, but not in the cell-free plasma.

In insects, the proPO activating enzyme gene of Manduca sexta is constitutively expressed at high levels in the integument and less abundantly in the fat body of naive larvae [24]. The expression level of three PAP transcripts (PAP-1, -2 and -3) were induced to a higher level by bacterial injection [24-26]. In Drosophila, five putative PPAE genes (CG9733, CG3505, CG3066, CG16705 and CG1102) were up-regulated in flies challenged by bacterial infection [27]. Likewise, a PAP of the lepidopteran insect, Samia cynthia ricini, and clip-SPs (Sp14D2 and Sp14A) of the dipteran insect, Anopheles gambiae, were reported to be up-regulated upon stimulation with β -1,3-glucan or bacterial challenge [28,29]. Interestingly, in the present study, V. harveyi injection resulted in a biphasic response with an initial marked decrease of PmPPAE1 transcript levels in P. monodon at 3-24 h after systemic bacterial challenge, followed by significant increase at 48 h after infection. In contrast, none of the crayfish PPAE transcript levels were reported to be affected upon Aeromonas hydrophila challenge [20]. In crustaceans, expression levels of several SPs and serine proteinase homologues (SPHs) have been investigated. The SP transcript levels of the related shrimp, Litopenaeus vannamei, were not found to be stimulated by injection of V. alginolyticus [13] or LPS [30]. However, the transcripts of the mud crab, Scylla serrata SP, the shrimp Marsupenaeus japonicus SPH, and P. monodon SPHs (c-SPH and PmMasSPH1) increased significantly post systemic challenge with zymosan [31], peptidoglycan [14], β-glucan [15] and V. harveyi [16] challenges, respectively. It is possible that this discrepancy is due to the differences within and between the microorganisms, especially pathogenicity, or to the number of newly synthesized hemocytes or the specificity and complexity of activating- and interacting-immune signaling pathways.

Double-stranded RNA-mediated RNAi was used to determine whether *Pm*PPAE1 is involved in the proPO system. The results showed that knockdown of the *Pm*PPAE1 transcript impaired total hemolymph PO activity and that this also led to an increased level

of viable *V. harveyi* in the plasma and, presumably, their proliferation within the hemolymph, resulting in a higher susceptibility to pathogenic *V. harveyi* infection. Similarly, some the CLIPB14, CLIPB4 and CLIPB8 clip-SPs from *A. gambiae* have been shown by RNA interference to function in the proPO cascade (melanization) of malaria parasites [32–34], and are therefore good candidate clip-SPs in the proPO activating cascade. In *Drosophila*, the clip-SPs, melanization protease1 (MP1) and MP2 (serine protease 7), have been identified and shown to be the proteinases involved in the melanization cascade [35,36]. Active MP1 is required for stimulation of melanization in response to both bacterial and fungal infections, whereas MP2 is mainly involved during fungal infection. However, whether they are the terminal clip-SP (PPAE) that directly cleaves proPO still remains to be elucidated.

In a previous report, we have shown the likely important role of two proPOs (PmproPO1 and PmproPO2) in the P. monodon shrimp immune defense against systemic V. harveyi infections [18]. In contrast to some reports in Drosophila [37], and in A. gambiae [38], that have questioned the importance of phenoloxidase in the defence against microbial infections, in this study it was demonstrated that PmPPAE1 is an essential molecule in the innate defense against systemic V. harveyi infections. Knockdown of the PmPPAE1 gene strongly increased the shrimp mortality following the V. harveyi infection, whilst the number of proliferationcompetent (i.e. total plate count enumerateable) bacteria in the plasma increased some four-fold compared to the levels in the hemolymph of the control group, suggesting either growth and or failure to clear. Interestingly, in the proPO silenced shrimp (that is pre-injected with two PmproPO dsRNAs), the number of bacteria in hemolymph increased about six-fold at 6 h post-injection (data not shown), suggesting that both PmproPOs and PmPPAE1 function in the proPO system to clear the bacteria from circulation after infection. These results are consistent with those reported in the cravfish where proPO gene knockdown resulted in an increased bacterial count of about 2.3-fold in proPO-silenced crayfish [20]. The data suggested that the genes that are involved in the proPO system of crustaceans (shrimp and crayfish) play a role in the control of systemic bacterial infections.

Our data, including the previous report on *Pm*proPOs [18], reveal the important role of two *Pm*proPOs and *Pm*PPAE1 in the immune defense system of *P. monodon* shrimp. However, melanization is a complex biochemical process and very little is known about the genetic control of this defense mechanism in shrimp. Continued effort to identify and characterize the genes involved, directly or indirectly, in the proPO system is essential for an understanding of shrimp immunity.

Acknowledgements

This work is supported by a grant from Thailand National Center for Genetic Engineering and Biotechnology (BIOTEC), and a fellowship from Thailand Research Fund to Piti Amparyup. A student fellowship granted to Walaiporn Charoensapsri by the Royal Golden Jubilee Ph.D. Program, Thailand Research Fund, is acknowledged. Visiting Fellowship under the JSPS core-University Program is also acknowledged.

References

- Cerenius L, Söderhäll K. The prophenoloxidase-activating system in invertebrates. Immunol Rev 2004;198:116–26.
- [2] Iwanaga S, Lee BL. Recent advances in the innate immunity of invertebrate animals. J Biochem Mol Biol 2005;38:128–50.
- [3] Jiravanicipaisal P, Lee BL, Söderhäll K. Cell-mediated immunity in arthropods: Hematopoiesis, coagulation, melanization and opsonization. Immunobiology 2006;211:213–36.

- [4] Sritunyalucksana K, Söderhäll K. The proPO and clotting system in crustaceans. Aquaculture 2000;191:53–69.
- [5] Kanost MR, Jiang H, Yu X-Q. Innate immune responses of a lepidopteran insect, Manduca sexta. Immunol Rev 2004;198:97–105.
- [6] Satoh D, Horii A, Ochiai M, Ashida M. Prophenoloxidase-activating enzyme of the silkworm, *Bombyx mori*: purification, characterization and cDNA cloning. J Biol Chem 1999;274:7441–53.
- [7] Kwon TH, Kim MS, Choi HW, Joo CH, Cho MY, Lee BL. A masquerade-like serine proteinase homologue is necessary for phenoloxidase activity in the coleopteran insect, *Holotrichia diomphalia* larvae. Eur J Biochem 2000;267:6188–96.
- [8] Wang R, Lee SY, Cerenius L, Söderhäll K. Properties of the prophenoloxidase activating enzyme of the freshwater crayfish, *Pacifastacus leniusculus*. Eur J Biochem 2001;268:895–902.
- [9] Lee KY, Zhang R, Kim MS, Park JW, Park HY, Kawabata S-I, et al. A zymogen form of masquerade-like serine proteinase homologue is cleaved during pro-phenoloxidase activation by Ca²⁺ in coleopteran and *Tenebrio molitor* larvae. Eur J Biochem 2002;269:4375–83.
- [10] Yu X-Q, Jiang H, Wang Y, Kanost MR. Nonproteolytic serine proteinase homologs are involved in prophenoloxidase activation in the tobacco hornworm, *Manduca sexta*. Insect Biochem Mol Biol 2003;33:197–208.
- [11] Jiang H, Kanost MR. The clip-domain family of serine proteinases in arthropods. Insect Biochem Mol Biol 2000;30:95–105.
- [12] Ross J, Jiang H, Kanost MR, Wang Y. Serine proteases and their homologs in the Drosophila melanogaster genome: an initial analysis of sequence conservation and phylogenetic relationships. Gene 2003;304:117–31.
- [13] Jiménez-Vega F, Vargas-Albores F, Söderhäll K. Characterisation of a serine proteinase from *Penaeus vannamei* haemocytes. Fish Shellfish Immunol 2005;18:101–8.
- [14] Rattanachai A, Hirono I, Ohira T, Takahashi Y, Aoki T. Peptidoglycan inducible expression of a serine proteinase homologue from kuruma shrimp (Marsupenaeus japonicus). Fish Shellfish Immunol 2005:18:39–48.
- [15] Lin C-Y, Hu K-Y, Ho S-H, Song Y-L. Cloning and characterization of a shrimp clip domain serine protease homolog (c-SPH) as a cell adhesion molecule. Dev Comp Immunol 2006;30:1132–44.
- [16] Amparyup P, Jitvaropas R, Pulsook N, Tassanakajon A. Molecular cloning, characterization and expression of a masquerade-like serine proteinase homologue from black tiger shrimp *Penaeus monodon*. Fish Shellfish Immunol 2007;22:535–46.
- [17] Sriphaijit T, Flegel TW, Senapin S. Characterization of a shrimp serine protease homolog, a binding protein of yellow head virus. Dev Comp Immunol 2007;31:1145–58.
- [18] Amparyup P, Charoensapsri W, Tassanakajon A. Two prophenoloxidases are important for the survival of Vibrio harveyi challenged shrimp Penaeus monodon. Dev Comp Immunol 2009;33:247–56.
- [19] Pfaffl MW. A new mathematical model for relative quantification in real-time RT-PCR. Nucleic Acids Res 2001;29:2004–7.
- [20] Liu H, Jiravanichpaisal P, Cerenius L, Lee BL, Söderhäll I, Söderhäll K. Phenoloxidase is an important component of the defense against *Aeromonas hydrophila* infection in a crustacean, *Pacifastacus leniusculus*. J Biol Chem 2007;282:33593–8.
- [21] Gorman MJ, Paskewitz SM. Serine proteases as mediators of mosquito immune responses. Insect Biochem Mol Biol 2001;31:257–62.
- [22] Jang I-H, Nam H-J, Lee W-J. CLIP-domain serine proteases in *Drosophila* innate immunity. BMB Rep 2008;41:102–7.
- [23] Aspán A, Söderhäll K. Purification of prophenoloxidase from crayfish blood cells and its activation by an endogenous serine proteinase. Insect Biochem 1991;21:363–73.
- [24] Jiang H, Wang Y, Kanost MR. Pro-phenol oxidase activating proteinase from an insect, *Manduca sexta*: a bacteria-inducible protein similar to Drosophila easter. Proc Natl Acad Sci USA 1998;95:12220–5.
- [25] Jiang H, Wang Y, Yu X-Q, Kanost MR. Prophenoloxidase-activating proteinase-2 (PAP-2) from hemolymph of *Manduca sexta*: a bacteria-inducible serine proteinase containing two clip domains. J Biol Chem 2003;278:3552-61.
- [26] Jiang H, Wang Y, Yu X-Q, Zhu Y, Kanost MR. Prophenoloxidase-activating proteinase-3 (PAP-3) from *Manduca sexta* hemolymph: a clip-domain serine proteinase regulated by serpin-1J and serine proteinase homologs. Insect Biochem Mol Biol 2003;33:1049-60.
- [27] De Gregorio E, Spellman PT, Rubin GM, Lemaitre B. Genome-wide analysis of the *Drosophila* immune response by using oligonucleotide microarrays. Proc Natl Acad Sci USA 2001;98:12590–5.
- [28] Gorman MJ, Andreeva OV, Paskewitz SM. Molecular characterization of five serine protease genes cloned from *Anopheles gambiae* hemolymph. Insect Biochem Mol Biol 2000;30:35–46.
- [29] Bao Y, Yamano Y, Morishima I. β-1,3-Glucan inducible expression of prophenoloxidase-activating proteinase from eri-silkworm, Samia cynthia ricini. Comp Biochem Physiol B 2007;147:45–8.
- [30] Okumura T. Effects of lipopolysaccharide on gene expression of antimicrobial peptides (penaeidins and crustin), serine proteinase and prophenoloxidase in haemocytes of the Pacific white shrimp, *Litopenaeus vannamei*. Fish Shellfish Immunol 2007;22:68–76.
- [31] Vaseeharan B, Lin Y-C, Ko C-F, Chen J-C. Cloning and characterisation of a serine proteinase from the haemocytes of mud crab *Scylla serrata*. Fish Shell-fish Immunol 2006;21:20–31.
- [32] Volz J, Osta MA, Kafatos FC, Müller H-M. The roles of two clip domain serine proteases in innate immune responses of the malaria vector *Anopheles gam-biae*. J Biol Chem 2005;280:40161–8.

- [33] Paskewitz SM, Andreev O, Shi L. Gene silencing of serine proteases affects melanization of Sephadex beads in *Anopheles gambiae*. Insect Biochem Mol Biol 2006;36:701–11.
- [34] Volz J, Müller H-M, Zdanowicz A, Kafatos FC, Osta MA. A genetic module regulates the melanization response of *Anopheles* to *Plasmodium*. Cell Microbiol 2006;8:1392–405.
- [35] Castillejo-López C, Häcker U. The serine protease Sp7 is expressed in blood cells and regulates the melanization reaction in *Drosophila*. Biochem Biophys Res Commun 2005;338:1075–82.
- [36] Tang H, Kambris Z, Lemaitre B, Hashimoto C. Two proteases defining a melanization cascade in the immune system of *Drosophila*. J Biol Chem 2006;281:28097–104.
- [37] Leclerc V, Pelte N, El Chamy L, Martinelli C, Ligoxygakis P, Hoffmann JA, et al. Prophenoloxidase activation is not required for survival to microbial infections in *Drosophila*. EMBO Rep 2006;7:231–5.
- [38] Schnitger AKD, Kafatos FC, Osta MA. The melanization reaction is not required for survival of *Anopheles gambiae* mosquitoes after bacterial infections. J Biol Chem 2007;282:21884–8.

EI SEVIER

Contents lists available at ScienceDirect

Comparative Biochemistry and Physiology, Part B

journal homepage: www.elsevier.com/locate/cbpb



Functional characterization of a masquerade-like serine proteinase homologue from the black tiger shrimp *Penaeus monodon*

Rungrat Jitvaropas ^a, Piti Amparyup ^{a,b}, Paul S. Gross ^c, Anchalee Tassanakajon ^{a,*}

- a Shrimp Molecular Biology and Genomics Laboratory, Department of Biochemistry, Faculty of Science, Chulalongkorn University, Bangkok 10330, Thailand
- ^b National Center for Genetic Engineering and Biotechnology (BIOTEC), National Science and Technology Development Agency (NSTDA), 113 Paholyothin Road, Klong1, Klong Luang, Pathumthani 12120, Thailand
- ^c Department of Biochemistry and Molecular Biology, Medical University of South Carolina, Charleston, SC 29425, USA

ARTICLE INFO

Article history:
Received 10 December 2008
Received in revised form 7 March 2009
Accepted 8 March 2009
Available online 26 March 2009

Keywords:
Clip domain
Innate immunity
Penaeus monodon
Masquerade-like serine proteinase
homologue
Bacterial binding
Cell adhesion
Antimicrobial activity

ABSTRACT

A cDNA encoding a masquerade-like serine proteinase homologue (*Pm*MasSPH) from the black tiger shrimp, *Penaeus monodon*, has been cloned and characterized. The transcript of *Pm*MasSPH is induced in response to *Vibrio harveyi* infection. To further characterize the function(s) of the protein, (i) the N-terminal region comprising the glycine-rich repeats and the clip domain, and (ii) the C-terminal SP-like domain of the *Pm*MasSPH were separately cloned into the pET-28b(+) expression vector and transformed into *Escherichia coli* Rosetta (DE3). The two recombinant proteins were then assayed for various biological functions; proteinase activity, hemocyte adhesion, bacterial binding, bacterial clearance and antimicrobial activity. The C-terminal SP-like domain lacks proteolytic activity but mediates hemocyte adhesion and displays binding activity to the shrimp pathogenic bacterium, *V. harveyi* and specific binding to the bacterial cell wall component, lipopolysaccharide (LPS). The N-terminal region exhibited *in vitro* antimicrobial activity against Gram-positive bacteria. In addition, the *in vivo* study revealed the opsonic activity of the *Pm*MasSPH protein as shown by a higher bacterial clearance rate of *V. harveyi* coated with the recombinant proteins as compared with *V. harveyi* only. The results suggest that the *Pm*MasSPH protein is a multifunctional immune molecule in shrimp defense.

© 2009 Elsevier Inc. All rights reserved.

1. Introduction

Like other crustaceans, shrimp have a non-specific innate immunity which is composed of diverse processes and molecules to defend themselves against invading pathogens. The immune system of crustaceans consists of both cellular and humoral defenses including encapsulation, phagocytosis, a prophenoloxidase (proPO)-activating system for melanization, a clotting process and specific and general antimicrobial actions (Smith and Chisholm, 1992; Söderhäll and Cerenius, 1992). The initiation of several immune responses in arthropods is triggered by the recognition and binding of pattern recognition proteins (PRPs) to the invading microorganism surface molecules such as lipopolysaccharide (LPS) and peptidoglycan of bacterial cell walls, and β-1,3-glucan of fungal cell walls (Lee and Söderhäll, 2002). PRPs (LPS-, β-1,3-glucan, peptidoglycan-binding proteins, lectins and hemolins) have been identified from a variety of invertebrates and their biological functions characterized as being involved in hemocyte degranulation (Barracco et al., 1991; Perazzolo and Barracco, 1997), bacterial clearance (Jomori and Natori, 1992; Lee and Söderhäll, 2001), nodule formation (Eleftherianos et al., 2007), antimicrobial defense (Sun et al., 2008) and activation of the proPoactivating system (Vargas-Albores et al., 1996; Lee et al., 2000; Ma and Kanost, 2000; Sritunyalucksana et al., 2002; Romo-Figueroa et al., 2004; Cheng et al., 2005; Du et al., 2007).

Arthropod clip-domain serine proteinases (clip-SPs) and clipdomain serine proteinase homologues (clip-SPHs) have been shown to be involved in various biological functions including immunity (Jiang and Kanost, 2000; Charoensapsri et al., 2009). The clip-SPHs possess structural features similar to clip-SPs which consist of the clip domain at the amino terminus and a serine proteinase-like (SP-like) domain that has a glycine instead of the critical serine at the carboxyl terminus. A crayfish masquerade (mas)-like SPH, however, contains a somewhat different amino terminus consisting of seven repeats of clip domains and glycine-rich regions (Huang et al., 2000). A mas-like SPH in Drosophila has been shown to be involved in embryonic muscle development (Murugasu-Oei et al., 1995). In arthropods, the clip-SPHs participate in an antimicrobial action in the horseshoe crab Tachypleus tridentatus (Kawabata et al., 1996), as an immune molecule in the mosquito Anopheles gambiae (Dimopoulos et al., 1997), in the regulation of the proPO-activating system in some coleopteran and lepidopteran insects (Kwon et al., 2000; Lee et al., 2002; Yu et al., 2003), in pattern recognition, opsonization and cell adhesion activity in crayfish Pacifastacus leniusculus (Lee and Söderhäll, 2001). Recent studies on shrimp

^{*} Corresponding author. Tel.: +66 2 218 5439; fax: +66 2 218 5414. *E-mail address*: anchalee.k@chula.ac.th (A. Tassanakajon).

clip- (or pseudoclip-) SPHs have been carried out in the kuruma shrimp *Marsupenaeus japonicus* (Rattanachai et al., 2005) and the black tiger shrimp *Penaeus monodon*, where at least four genes (c-SPH, Lin et al., 2006; *Pm*MasSPH, Amparyup et al., 2007; and SPH509 and SPH516, Sriphaijit et al., 2007) have been identified. The recombinant c-SPH displays cell adhesion activity (Lin et al., 2006), whilst, SPH516 specifically interacts with the metal ion-binding (MIB) domain of the yellow head virus, suggesting that it might play an important role in viral responses (Sriphaijit et al., 2007).

In crayfish *P. leniusculus*, it has been reported that the C-terminal SP-like domain of two masquerade-like SPH proteins exhibits cell adhesion activity *in vitro* (Huang et al., 2000; Lee and Söderhäll, 2001). Moreover, the N-terminal clip domain of a proPO-activating enzyme exhibits antibacterial activity towards Gram-positive bacteria (Wang et al., 2001). In *P. monodon*, a masquerade-like SPH (*Pm*MasSPH) was previously cloned and its transcript expression levels found to be upregulated upon bacterial challenge with *Vibrio harveyi* (Amparyup et al., 2007). Here, to further investigate the biological function(s) of the *Pm*MasSPH, recombinant proteins encoding (i) the N-terminal glycine-rich repeat and clip domain, and (ii) the C-terminal SP-like domain of the *Pm*MasSPH were cloned and expressed in an *E. coli*

expression system. The purified recombinant proteins were then characterized by screening for various biological functions; serine proteinase activity, cell adhesion activity, bacterial binding, bacterial clearance and antimicrobial activity.

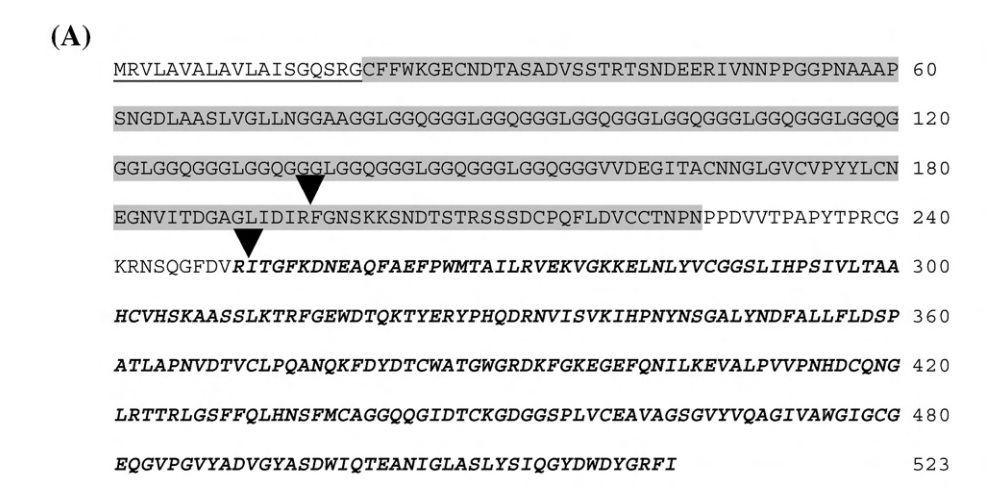
2. Materials and methods

2.1. Animal handling

Juvenile black tiger shrimp (20–25 g of body mass) were purchased from commercial farms in Thailand and acclimatized in an aquarium under laboratory conditions (air-pumped circulating artificial seawater of 15 ppt salinity) for at least three days before use in any experiment.

2.2. Cloning of the N-terminal glycine-rich repeat and clip domain and the C-terminal serine proteinase-like (SP-like) domain of the PmMasSPH

The N-terminal region comprising the glycine-rich repeats and the clip domain and the C-terminal SP-like domain of the *Pm*MasSPH were separately amplified by PCR (see Fig. 1) using upstream and downstream primers containing the indicated 5' flanking restriction sequence and an



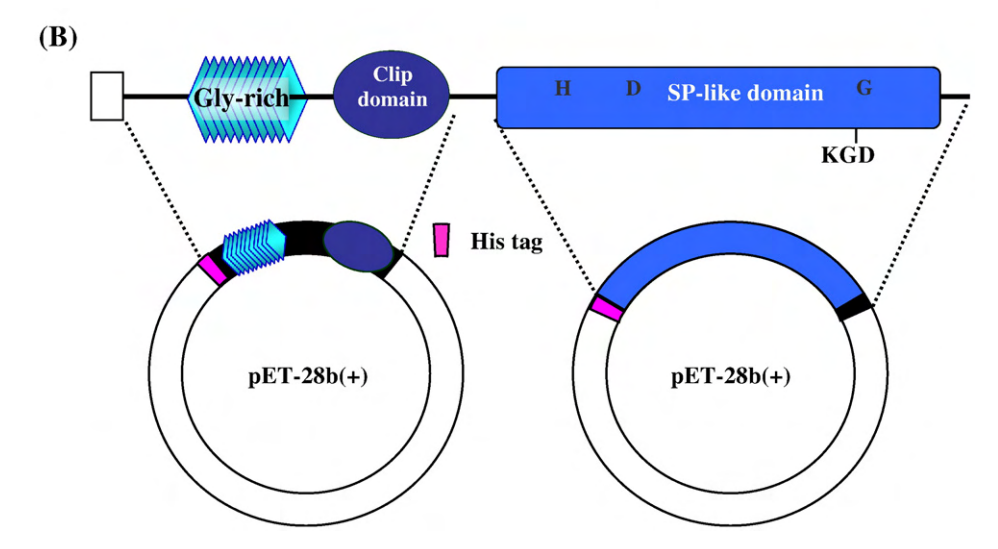


Fig. 1. The cloning of two recombinant proteins encoding the N-terminal region comprising the repeated glycine rich and the clip domain and the C-terminal SP-like domain of the *Pm*MasSPH from *Penaeus monodon.* (A) A deduced amino acid sequence of a *Pm*MasSPH. The putative signal cleavage site is underlined. The two putative activation sites are indicated by arrowhead. The shaded and bold italicized amino acid sequences are the N-terminal region and the C-terminal SP-like domain, respectively that were separately cloned into pET-28b(+) vector with His-tag fusion. (B) Schematic drawing of structural domains of the *Pm*MasSPH. The open box represents a putative signal peptide. The repeated glycine-rich motif, clip domain and SP-like domain are in stacked diamond, elliptical shape and bold box, respectively. The replacement catalytic triad is marked as the H, D, G letters and KGD indicates the integrin binding motif.

in-frame six histidine encoding tag (SP6HF_Ncol: 5' CAT GCC ATG GGC CAT CAT CAT CAT CAT CGC ATC ACT GGA TTC AAG GAT 3', SPR_HindIII: 5' CCC AAG CTT TTA AAT AAA TCT TCC GTA GTC CCA 3', ClipF Ncol: 5' CAT GCC ATG GGC CAT CAT CAT CAT CAT CAT ATG TGC TTC TTT TGG AAG GGA GAA TGC A 3' and ClipR_NotI: 5' ATA AGA ATG CGG CCG CTT AGT TCG GAT TGG TGC AGC AGA CGT CG 3'). Primers were designed from the previously reported PmMasSPH sequence (GenBank accession no. DQ455050) (Amparyup et al., 2007). Polymerase chain reaction (PCR) was performed using Advantage 2 polymerase mix (Clontech) with an initial 94 °C for 3 min stage followed by 30 cycles of 94 °C for 30 s, 55 °C for 30 s and 72 °C for 1 min. The amplicons were purified from 1.2% (w/v) TBE agarose gels using NucleoSpin® Extract II Kits (MACHEREY-NAGEL) and ligated into pGEM-Teasy cloning vector (Promega). The recombinant plasmid was transformed into E. coli (K12) strain XL-1 Blue and selected with ampicillin (50 µg/mL) for propagation of the recombinant plasmid. DNA sequencing was used to confirm the correct and in-frame sequence of each clone.

2.3. Overexpression and purification of the recombinant N-terminal glycinerich repeat and clip domain protein and the recombinant C-terminal SP-like domain protein of the PmMasSPH

The constructed plasmids carrying the correct insert were then directionally sub-cloned, following Ncol-HindIII or Ncol-Notl excision, into the multiple cloning site of E. coli expression vector, pET-28b(+) (Novagen), and transformed into E. coli strain Rosetta (DE3). The selected clones were inoculated in Luria-Bertani (LB) medium containing kanamycin (30 μ g/mL) and chloramphenicol (34 μ g/mL). Protein expression was induced by the addition of isopropyl-β-D-thiogalactopyranoside (1 mM IPTG) for the last 4 h of culture. The induced cells were then harvested by centrifugation, resuspended in 20 mM phosphate buffer pH 7.4, and disrupted by sonication. The recombinant proteins, expressed as inclusion bodies, were solubilized and purified under denaturing conditions in 8 M urea using nickel affinity chromatography (GE Healthcare). The purified recombinant proteins were subsequently refolded by three steps of dialysis against a buffer containing 20 mM Tris-HCl, pH 8.0 and 4 M urea, then gradually reduced the urea concentration to 2 M urea in the second step and finally without urea. Each dialysis step was performed for at least 10 h at 4 °C. The purified recombinant C-terminal SP-like domain was used for preparation of a specific polyclonal antibody by the commercial service at Biomedical Technology Research Unit, Chiang Mai University, Thailand.

2.4. Protein content determination

The protein content was measured according to Bradford method (Bradford, 1976) using bovine serum albumin (Fluka; supplied with the Bradford reagent) as the standard.

2.5. SDS-PAGE and Western blot analysis

The purified recombinant N-terminal region and C-terminal SP-like domain proteins were run onto SDS-PAGE gel and then electrotransferred to a nitrocellulose membrane in a buffer containing 48 mM Tris–HCl pH 9.2, 39 mM glycine and 20% methanol. The membrane was blocked by immersion in 5% skimmed milk in phosphate buffer saline pH 7.4 containing 0.05% Tween20 (PBS-Tween buffer) at room temperature overnight, washed in PBS-Tween buffer, then incubated with the mouse anti-His antiserum (GE Healthcare) (1:3000 dilution) at 37 °C for an hour. After washing in the same buffer, bound primary antibody was amplified by incubation with alkaline phosphatase-conjugated rabbit anti-mouse IgG (1:5000 dilution, Jackson ImmunoResearch Laboratories, Inc.) and after washing (as above) the bound antibody was detected by color development using NBT/BCIP as substrate (Fermentas).

2.6. MALDI-TOF mass spectrometry

The molecular mass of the purified recombinant N-terminal region and C-terminal SP-like domain proteins was analyzed by matrix assisted laser desorption-ionization time of flight (MALDI-TOF) mass spectrometry by the commercial service of the Proteomic Service Center, Bioservice Unit (BIOTEC, Thailand).

2.7. Immunodetection of the PmMasSPH protein in shrimp hemocytes

P. monodon hemocyte lysate supernatant (HLS) was prepared in AC-1 anticoagulant (0.45 M NaCl, 0.1 M glucose, 30 mM sodium citrate, 26 mM citric acid, 10 mM EDTA, pH 4.6) followed by centrifugation, and the cells were washed and homogenized in 150 mM NaCl containing 2 mM EDTA (HLS1). Otherwise, 10% trisodium citrate was used as an anticoagulant to collect the blood, and HLS2 was prepared in 150 mM NaCl without EDTA and activated by laminarin (β-1,3-glucan chain with some β-1,6-linked glucose units) (Sigma) for an hour. The proteins in HLSs were subjected to 12% SDS-PAGE under reducing conditions and transferred to membrane. The rabbit anti-SP-like antibody (1:500 dilution) was used for immunoblotting, followed by incubation with goat anti-rabbit IgG antibody linked alkaline phosphatase (1:10,000 dilution), and detected using NBT/BCIP substrates.

2.8. Proteinase activity assay

The proteinase activity assay was determined according to the method of Amparyup et al., 2008a. The proteinase activity of the recombinant C-terminal SP-like domain protein was assayed using the chromogenic p-nitroanilide substrates, 293.6 µM N-benzoyl-Phe-Val-Arg-p-nitroanilide (Sigma), 147.3 µM N-succinyl-Ala-Ala-Pro-Phep-nitroanilide (Sigma) and 443.1 µM N-succinyl-Ala-Ala-P-nitroanilide (Sigma) as substrates for trypsin, chymotrypsin and elastase, respectively. The proteinase enzymes (trypsin, chymotrypsin and elastase) were prepared in 50 mM Tris-HCl buffer pH 8.0 and used as positive controls in each assay. An aliquot of 60 µL of the recombinant Cterminal SP-like domain protein (0.404 µM and 4.04 µM) or positive control enzymes (0.005 µM trypsin, 0.003 µM chymotrypsin and 0.039 µM elastase, respectively) was pre-incubated with 10 µL chromogenic peptide in a 96 well plate. After incubation at 30 °C for 10 min, the reaction was stopped by the addition of 20 μ L of 50% (v/v) acetic acid and the increase in p-nitroaniline production was recorded by measuring the absorbance at 405 nm. Assays were carried out in duplicate.

2.9. Cell adhesion assay

The cell adhesion assay was carried out as described by Johansson and Söderhäll (1988) with a slight modification. The sterile glass coverslips (22×22 mm, Chance Proper, Ltd.) were laid in 6-well flat bottom plates, coated with 200 μL of 10 $\mu g/mL$ the purified recombinant Nterminal region protein or C-terminal SP-like domain protein or at 20 °C for 1 h and subsequently blocked with BSA to remove residual nonspecific protein binding sites on the coverslip. Coverslips coated with BSA only were used as the control. Hemocyte suspensions from subadult P. monodon (approximately 20 g) were prepared in 0.45 M NaCl and comprised of ~90% living cells as determined by standard trypan blue exclusion assays. The density of hemocyte suspension was assessed in a hemocytometer using a light microscope, adjusted to 2×10^4 cells/mL, and 180 µL of suspension was overlaid onto each coated coverslip together with 20 µL of 100 mM CaCl₂, and incubated at 20 °C for 1 h. The unbound hemocytes were then washed off by three washes with Penaeid Shrimp Solution (PSS; 0.45 M NaCl, 5.4 mM KCl, 10 mM CaCl₂, 10 mM MgCl₂, 2 mM NaHCO₃, pH 7.6) and fixed in 3.7% (w/v) formaldehyde. The number of attached cells was counted at $200\times$ magnification under an inverted microscope, covering at least 10% of the area initially covered by the cell suspension. Cell adhesion activity (%) was calculated in comparison with the number of initial hemocytes (3600 cells). The assays were performed in triplicate from each individual shrimp.

2.10. Assay of binding activity to bacteria and LPS

The recombinant C-terminal SP-like domain protein was investigated for binding to the Gram-negative bacteria V. harveyi 1526 using a method described by Lee and Söderhäll (2001) with modification. Briefly, the cultured bacteria in mid-logarithmic phase growth (OD_{600} of 0.6) were fixed in 3.7% (w/v) formaldehyde by gently shaking at 37 °C for an hour to terminate the enzymatic activity of bacteria. The purified protein (10 µg of the C-terminal SP-like domain protein) was incubated with 100 μ L of V. harveyi (3.2 × 10⁸ cells) with gentle rocking at 4 °C for 35 min. After centrifugation at 2000 g for 10 min, the supernatant containing unbound protein was removed and the pellet was resuspended and washed five more times with PSS buffer in this manner. Bound proteins were finally eluted from the bacteria by $1\times$ SDS-PAGE sample loading buffer. Bacteria treated with PSS buffer only were used as controls. The resulting supernatant (unbound protein), washed (unbound/weakly bound protein), and eluted (bound protein) fractions were run on 12% (w/v) SDS-PAGE under reducing conditions, transferred to nitrocellulose and subjected to immunoblotting using the anti-His antibody as described above.

For the LPS binding assay, the LPS from *E. coli* serotype 0111:B4 (Sigma) was used to test the binding activity to the recombinant C-terminal SP-like domain protein. The purified proteins (10 μ g) were mixed with 200 μ g of LPS in PSS buffer for 1 h at 4 °C and then centrifuged at 16,000 \times g at 4 °C for 15 min. The washing and elution steps were operated as described above. The obtained supernatant, washed fractions and bound proteins were subsequently analyzed by SDS-PAGE and Western blot as described above.

2.11. Quantitative binding to immobilized LPS

Binding property of the purified C-terminal SP-like domain protein to immobilized LPS was examined by ELISA using the method as previously described by Gonzalez et al. (2005) with a slight modification. LPS solution was prepared in 100 mM Na₂CO₃, 20 mM EDTA, pH 9.6 and $50 \,\mu\text{L}$ of LPS (3 $\mu\text{g/well}$) immobilized on the flat bottom 96-well plate and the content was dried up completely at 60 °C for 2 h. Then, the excess LPS were washed with PBS buffer and the non-specific binding was blocked with 5% (w/v) BSA in PBS buffer at room temperature for 1 h. Binding of the serial dilution of the purified recombinant SP-like domain protein (0–200 μg/mL, 100 μL/well) was performed at room temperature for an hour. The wells without recombinant protein incubation were used as control reaction. After washing the excess protein with PBS buffer containing 0.05% Tween 20, the ELISA plate was hybridized with the rabbit anti-SP-like antibody (1:5000: 50 μ L/well) at 37 °C for 2 h, followed by incubation with goat anti-rabbit IgG antibody linked alkaline phosphatase (1:10,000 dilution, 50 μL/well) at room temperature for an hour. After washing, the colorimetric reaction was detected by adding 100 µL of p-nitrophenylphosphate. After the sufficient yellow color occurred, absorbance at 405 nm of each well was measured by a microtiter plate reader (Beckman Coulter AD200). The results from three experiments were used for statistical analysis. The binding results were analyzed by Scatchard plot analysis, and the maximum binding (A_{max}) and dissociation constant (K_d) were calculated from the Y-intercept and slope of linear equation as $1/A = K_d/A_{max}[L] + 1/A_{max}$, where A is the absorbance at 405 nm and [L] is the protein concentration.

2.12. Assay of in vivo bacterial clearance

The bacterial clearance assay was fundamentally performed as previously described (Lee and Söderhäll, 2001) with modifications.

The combination of the recombinant N-terminal region and C-terminal SP-like domain proteins of the PmMasSPH (1 µM each) were incubated with V. harveyi (3.2 \times 10⁸ cells) at 4 °C for 1 h to obtain V. harveyi coated with the recombinant proteins. The supernatant was then removed, and the cells were washed twice with PBS. One hundred microliters of 1×10^5 cells uncoated V. harveyi (control) or coated V. harveyi were injected into V. harveyi-free shrimp. At 15, 30, 60 and 180 min after injection, one hundred microliters of hemolymph of five treated shrimp per treatment was collected without anticoagulant and immediately plated on thiosulfate-citrate-bile-sucrose (TCBS) agar plates incubating at 30 °C for 9 h. The colony forming units (cfu) were counted and the number of viable V. harveyi in shrimp hemolymph was calculated at the various sampling times and expressed as cfu mL⁻¹hemolymph. Each experiment was performed in five independent replicates and the effects of time after injection were tested on the following variables using one-way ANOVA followed by Duncan (P < 0.05).

2.13. Antimicrobial activity assay

Antimicrobial activity of the recombinant N-terminal region protein was tested against the four Gram-positive species (Aerococcus viridans, Bacillus megaterium, Micrococcus luteus and Staphylococcus aureus) and six Gram-negative species (Escherichia coli 363, Enterobacter cloacae, Erwinia carotovora, Klebsiella pneumoniae, Salmonella thyphimurium and V. harveyi), and the minimal inhibitory concentration (MIC) was determined as previously reported (Amparyup et al., 2008b). The bacteria cultures in exponential growth phase were diluted to $\mathrm{OD}_{600} = 0.001$. One hundred micoliters diluted cell suspension was incubated with various concentrations of a recombinant protein ranging from 0 to 80 μ M in 96-well microtiter plate. After overnight incubation, the turbidity of the cultures was measured at OD_{600} to estimate the bacterial growth. The

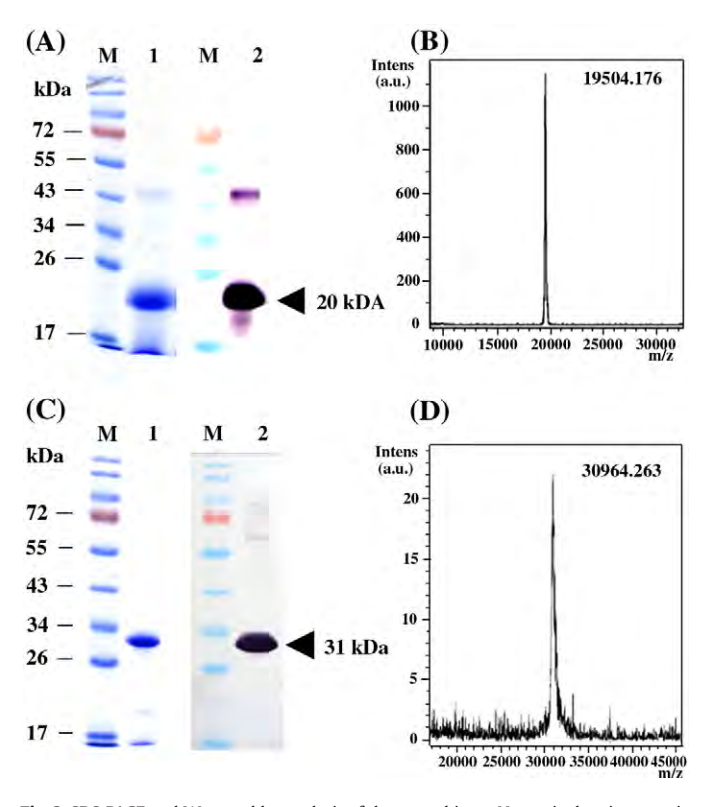


Fig. 2. SDS-PAGE and Western blot analysis of the recombinant N-terminal region protein (A) and the recombinant C-terminal SP-like domain protein (C). Lane M, pre-stained protein standard marker (Fermentas); lane 1, the purified recombinant proteins through Ni affinity chromatography on 12% SDS-PAGE and lane 2, Western analysis of the recombinant proteins using anti-His tag antibody. B and D show the mass spectrum of the recombinant N-terminal region and C-terminal SP-like domain proteins with a molecular mass of 19,504.176 Da and 30,964.263 Da, respectively.

MIC value was expressed in the lowest concentration of the recombinant protein that showed 100% visible inhibition of bacterial growth.

3. Results

3.1. Overexpression and purification of the recombinant N-terminal glycine-rich repeat and clip domain and the recombinant C-terminal SP-like domain of the PmMasSPH

To begin understanding the functions of the PmMasSPH, the Nterminal region (the glycine-rich repeats and a clip domain) and the Cterminal region (the SP-like domain) of PmMasSPH were recombinant expressed separately (Fig. 1). After 4 h IPTG induction, high amounts of each of the recombinant proteins of the N-terminal and C-terminal regions were obtained. The recombinant proteins, expressed as inclusion bodies, were solubilized in denaturing solution and efficiently purified with a single-step purification using a Ni-NTA affinity column under denaturing conditions in 8 M urea. After removing the urea in three dialysis steps, the recombinant proteins were refolded and analyzed for the identity and purity on 12% (w/v) SDS-PAGE and confirmed by immunoblotting using anti-His antibody. A major band of the recombinant N-terminal region protein, approximately 20 kDa, and the recombinant C-terminal region protein, approximately 31 kDa, was observed (Fig. 2A and C) which is in good agreement with the calculated molecular mass of the purified recombinant N-terminal region protein (20,115.40 Da) and C-terminal region protein (31,060.39 Da) of the PmMasSPH based on their respective deduced amino acid sequences including six histidine residues. Moreover, MALDI-TOF mass spectrometry analysis revealed a single mass spectrum for both recombinant protein preparations with no contaminating other proteins and molecular masses of 19,504.176 Da and 30,964.263 Da, respectively (Fig. 2B and D).

3.2. The presence of the PmMasSPH protein in shrimp hemocytes

The purified C-terminal SP-like domain protein was used for the production of a specific polyclonal antibody in rabbits. The anti-SP-like domain antiserum was then used to detect the PmMasSPH protein in P. monodon hemocyte lysate supernatant (HLS) by immunodetection assay. The HLS prepared in the presence of EDTA showed a major band with size of a 54 kDa whilst that prepared without EDTA and activated with laminarin (a β -glucan) showed a 36 kDa band (Fig. 3A and B) probably representing the processed form of the PmMasSPH

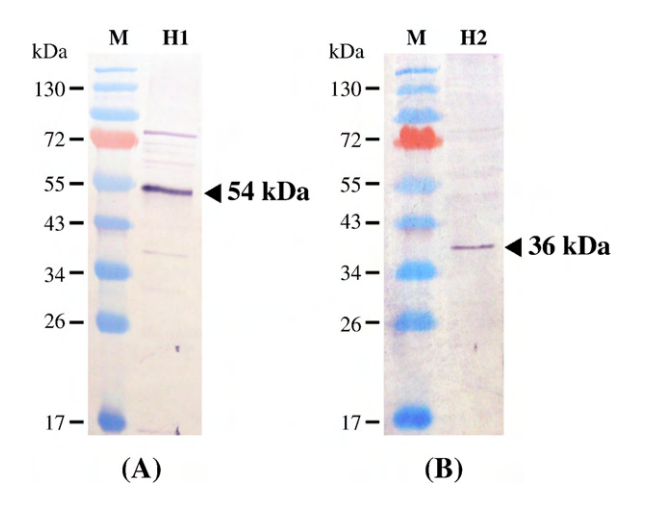


Fig. 3. Immunoblotting analysis of the *Pm*MasSPH protein in *Penaeus monodon* hemocyte lysates detected by using the anti-SP-like domain antiserum. Lane H1: hemocyte lysate prepared in the presence of EDTA; Lane H2: hemocyte lysate prepared without EDTA and activated with laminarin (a β -glucan); and M indicates pre-stained protein standard marker (Fermentas).

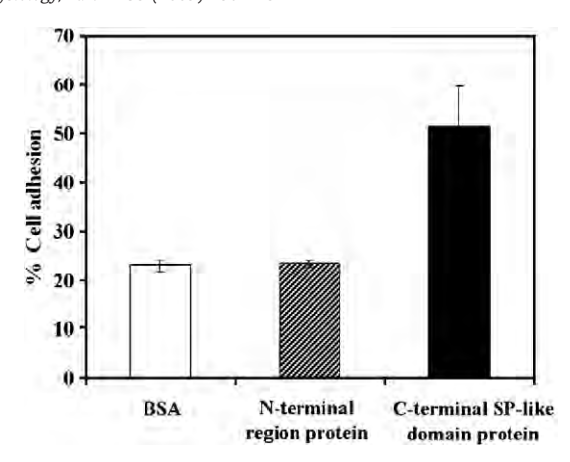


Fig. 4. Cell adhesion activity of the recombinant C-terminal SP-like domain and N-terminal region proteins to shrimp hemocytes. Cover slips coated with BSA or the C-terminal SP-like domain protein or the N-terminal region protein was used to determine the cell adhesion activity. The results were shown as means with standard error bars. The assays were performed in triplicate with three different hemocytes suspensions from individual shrimp.

protein. Based on the deduced amino acid sequence of the *Pm*MasSPH, two putative activation cleavage sites were predicted after arginine within the clip domain (Arg195) and at the beginning of the SP-like domain (Arg250), producing the processed forms of the *Pm*MasSPH with size of 35.87 and 29.89 kDa, respectively. The result from immunoblotting suggests that the authentic activation site is likely at the position between Arg195 and Phe196.

3.3. Serine proteinase activity assay

The purified C-terminal SP-like domain protein of the *Pm*MasSPH has a serine replaced with glycine in the catalytic triad suggesting that it has lost serine protease enzymatic activity. To confirm this notion, various chromogenic substrates for trypsin, chymotrypsin and elastase were tested. No protease activity was detected in all assays using the recombinant C-terminal SP-like domain protein of the *Pm*MasSPH, in contrast to the positive controls (data not shown).

3.4. Cell adhesion assay

Many cell adhesion molecules have been discovered to be involved in invertebrate immunity (Johansson, 1999). The crayfish masqueradelike protein (Huang et al., 2000) and the shrimp clip-SPH (c-SPH) (Lin et al., 2006) have been shown to exhibit cell adhesion activity. To investigate whether PmMasSPH could function as a cell adhesion molecule, the recombinant N-terminal region and C-terminal SP-like domain proteins were tested for the ability to promote cell adhesion in vitro. The cell adhesion assay revealed that an average of 51% of shrimp hemocytes adhered to the SP-like domain protein-coated coverslips, whereas only 25% of hemocytes adhered to the bovine serum albumincoated coverslips (Fig. 4). On the contrary, it was found that the recombinant N-terminal region protein did not mediate cell adhesion as shrimp hemocytes adhered to the N-terminal region protein-coated coverslips at the same percentage as the control coated with BSA (Fig. 4). These results suggested that the PmMasSPH protein acts as a cell adhesive molecule through the adhesion activity of the C-terminal SP-like domain.

3.5. Binding activity to V. harveyi and LPS

The binding ability of the recombinant C-terminal SP-like domain protein to the shrimp pathogenic bacterium, *V. harveyi* and to the bacterial cell wall component, LPS, was investigated. The recombinant C-terminal SP-like domain protein was incubated with the bacteria or

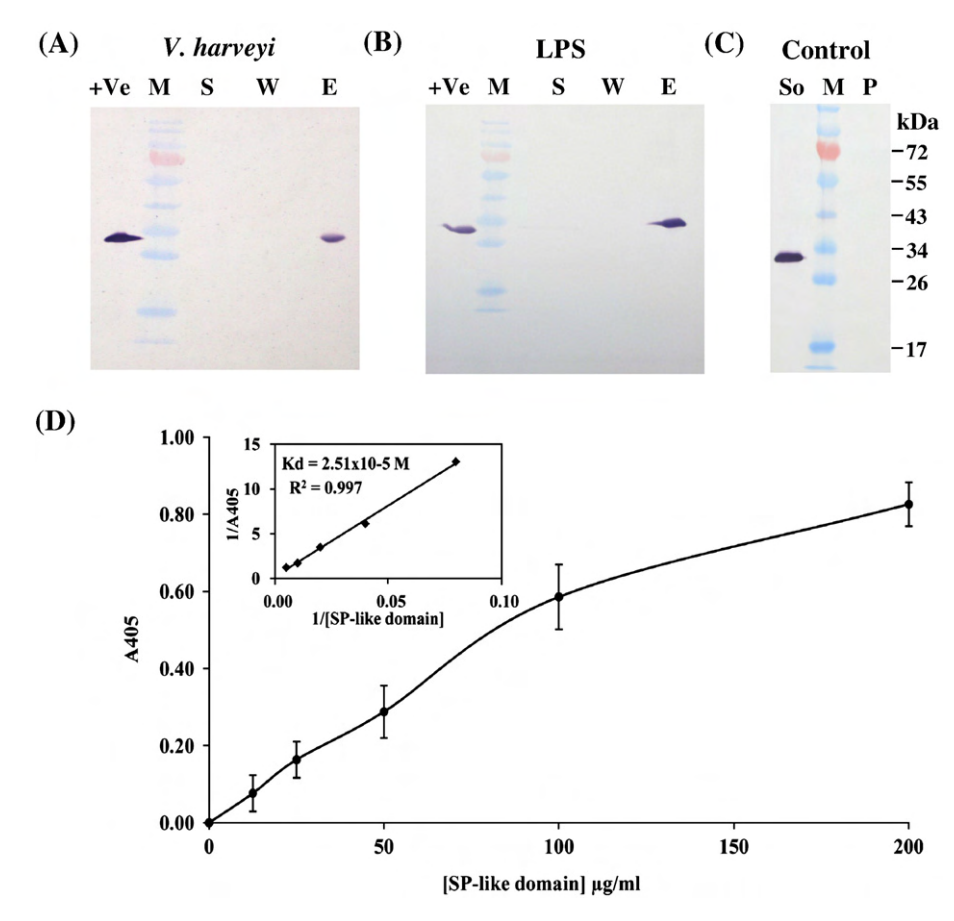


Fig. 5. Binding activity of the recombinant C-terminal SP-like domain protein to Gram-negative *V. harveyi* (A), LPS (B) and control with no bacteria or LPS (C). Initially, the recombinant protein was incubated with formaldehyde-fixed bacteria or LPS. After incubation, the supernatants were separated by centrifugation. The pellets were washed with PSS buffer and the bound proteins were eluted with SDS-PAGE sample loading buffer. The supernatants (S), washed (W) and eluted (E) fractions were examined by Western blot analysis under reducing condition using the anti-His antibody. Lane +Ve, recombinant protein; lane M, pre-stained protein standard marker (Fermentas); lane So, soluble protein; lane P, precipitated protein. The quantitative binding of various amounts of the recombinant C-terminal SP-like domain protein (0–200 μg/mL) to immobilized LPS (D). The specific binding property was determined by ELISA using anti-SP-like antibody. This experiment was performed in three individual repeats and the data was expressed with standard error. The inset indicates a linearly Scatchard plot.

LPS as detailed in Materials and methods. The fractions containing the recombinant C-terminal SP-like domain protein were evaluated by Western blotting using specific anti-SP-like domain antiserum. The results revealed that the recombinant C-terminal SP-like domain protein was found in the eluted fractions whereas no band was detected in the supernatant or the washed fractions (Fig. 5A and B), suggesting that the C-terminal SP-like domain of *Pm*MasSPH strongly binds to *V. harveyi* as well as LPS. The control with no bacteria showed a band only in supernatant not in the precipitate fraction (Fig. 5C).

The quantitative binding of the recombinant C-terminal SP-like domain protein to LPS was further examined by an ELISA. The results showed that the recombinant C-terminal SP-like domain protein bound to LPS in a concentration dependent manner (Fig. 5D). From the Scatchard plot analysis, the apparent dissociation constant ($K_{\rm d}$) for the binding of the recombinant C-terminal SP-like domain protein to LPS was 2.51×10^{-5} M.

3.6. V. harveyi clearance from circulation

The opsonic activity of PmMasSPH protein was tested under $in\ vivo$ conditions in shrimp for their clearance rates compared with that of control bacteria not treated with the protein. V. $harveyi\ (1\times10^5\ cells)$ coated with the recombinant proteins (the recombinant N-terminal region and C-terminal SP-like domain proteins) were more rapidly cleared from the shrimp hemolymph as compared with uncoated V. $harveyi\ (control)$ suggested that the PmMasSPH protein functions as an opsonic protein (Fig. 6).

3.7. Antimicrobial activity assay

Remarkably, the N-terminal region of the *Pm*MasSPH contains the glycine-rich regions as a glycine-rich antimicrobial peptide in the

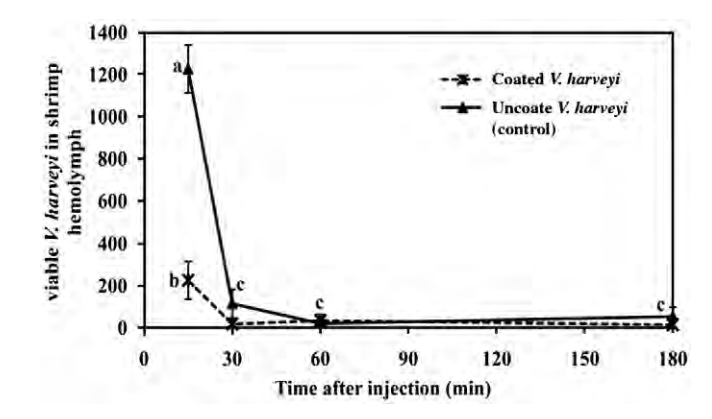


Fig. 6. Rate of *V. harveyi* clearance from the hemolymph circulation. Shrimp were injected with 1×10^5 cells of *V. harveyi* coated the recombinant proteins (N-terminal region and C-terminal SP-like domain proteins) or *V. harveyi* only (control). The hemolymph was collected from individual shrimp after 15, 30, 60 and 180 min, then the number of viable cells was determined by plating on TCBS media. The presence of live bacteria was counted and expressed with standard error. The experiment was repeated five times and the statistical calculations were analyzed by one-way ANOVA and Duncan.

hemocytes of the spider *Acanthoscurria gomesiana* (Lorenzini et al., 2005). It is, therefore, possible that this type of pattern may be essential or beneficial for antimicrobial activity. Moreover, the clip domain in a proPO-activating enzyme of crayfish has been shown to exhibit *in vitro* antimicrobial activity against Gram-positive bacteria (Wang et al., 2001). It, therefore, seemed reasonable to test if the glycine-rich domain and the clip domain of *Pm*MasSPH possess antimicrobial activities. Thus, the recombinant protein of the N-terminal region comprising the glycine-rich repeats and the clip domain was tested for antimicrobial activity against various strains of Gram-positive and Gram-negative bacteria. The recombinant N-terminal region strongly inhibited growth of the Gram-positive *S. aureus* and *A. viridans* with MICs of 0.89 and 3.23 μ M, respectively, was slightly active against *B. megaterium* with an MIC of 60 μ M, but had no detectable activity against *M. luteus* and Gram-negative bacteria (Table 1).

4. Discussion

Serine proteinases (SPs) and serine proteinase homologues (SPHs) appear to be abundant in both vertebrates and invertebrates and are involved in a diverse variety of biological functions (Jiang and Kanost, 2000; Lee and Söderhäll, 2001; Yu et al., 2003). It is thus not surprising that several cDNAs encoding SPs and SPHs have been identified from hemocyte cDNA libraries of the black tiger shrimp *P. monodon*. Among these cDNAs, a full-length sequence of a cDNA encoding a masquerade (mas)-like serine proteinase homologue, *Pm*MasSPH, has been obtained and characterized (Amparyup et al., 2007). Upon *V. harveyi* infection, the transcript of the *Pm*MasSPH increased significantly indicating its potential important role in shrimp immune responses.

In the present study, the potential functions of the PmMasSPH were investigated by separately screening for various activities of the N-terminal region comprising the glycine-rich repeats and the clip domain and the C-terminal SP-like domain. Although, it would be better to express the whole PmMasSPH protein, its activation by the proteolytic cleavage can be problematic (Lee and Söderhäll, 2001; Lee et al., 2002; Kim et al., 2002). Immunodetection using the anti-SP-like domain antiserum revealed the presence of the PmMasSPH protein in hemocyte lysate supernatant of the shrimp Pmonodon and the protein was cleaved to a processed form upon activation with laminarin (a β -glucan). Recently, Manduca sexta SPH precursors were expressed in insect cells and used in search for their activating proteinases. It was found that the proteolytic cleavage of the recombinant proprotein was incomplete (Lu and Jiang, 2008) probably due to the lack of information on the processing enzymes.

Functional characterization of the recombinant C-terminal SP-like domain protein of the *Pm*MasSPH revealed a likely cell adhesion activity

Table 1Antimicrobial activity of the recombinant N-terminal region protein of the *Pm*MasSPH.

Microorganisms	MIC (μM)
Gram-positive bacteria	
Staphylococcus aureus	0.89
Aerococcus viridans	3.23
Bacillus megaterium	60
Micrococcus luteus	NA
Gram-negative bacteria	
Escherichia coli 363	NA
Enterobacter cloacae	NA
Erwinia carotovora	NA
Klebsiella pneumoniae	NA
Salmonella thyphimurium	NA
Vibrio harveyi	NA

MIC are expressed as the interval a–b, where a is the highest concentration tested at which microorganisms are growing and b is the lowest concentration that causes 100% growth inhibition.

NA: not active at 80 µM.

and ability to bind strongly to the shrimp pathogenic bacterium, *V. harveyi* as well as to the microbial cell wall component, LPS. The crayfish and shrimp myeloperoxidase homologue and peroxinectin contain the integrin binding (KGD/RGD) motif that enable them to directly bind the integrin receptor on blood cells (Johansson and Söderhäll, 1989; Sritunyalucksana et al., 2001). Indeed, the *Pm*MasSPH also contains a KGD motif at the C-terminal SP-like domain that may participate in cell adhesion activity. Nevertheless, a shrimp clip domain SPH (c-SPH) (Lin et al., 2006) and a crayfish mas-like protein (Huang et al., 2000) which also exhibited cell adhesion activity did not contain the KGD motif and the mechanism(s) by which they bind to blood cells remains unknown.

The specific binding of the crayfish mas-like protein to Gramnegative bacteria and yeast suggested its role as a pattern recognition molecule (Lee and Söderhäll, 2001). After proteolytic activation, the crayfish mas-like protein reveals cell adhesion and opsonic activity but does not have antimicrobial activity (Lee and Söderhäll, 2001). A shrimp c-SPH has also been shown to have cell adhesion activity but in this case no antimicrobial and opsonic activities (Lin et al., 2006). Recently, the Cterminal part of a SPH (SPH516) from *P. monodon* was shown to interact with a metal ion-binding domain (MIB) of yellow head virus (Sriphaijit et al., 2007). SPH516 as well as SPH509 previously described contain an identical predicted amino acid sequence to the PmMasSPH except for one and two less repeats of the septapeptide (LGGQGGG), respectively, in the N-terminal glycine-rich region. It is most likely that they are allelic variants of the same protein. Moreover, the *Pm*MasSPH exhibited the opsonic activity as demonstrated by a more rapid clearance and removal from the hemolymph of *V. harveyi* coated the recombinant proteins than uncoated control bacteria. In penaeid shrimp, the rapid clearance of viable bacteria from the hemolymph has been observed, and these live bacteria moved and accumulated in hepatopancreas, gills and lymphoid organ (Burgentsa et al., 2005). The live bacteria were rapidly cleared from hemolymph by the cellular immune responses including phagocytosis and encapsulation (Koizumi et al., 1997; Lee and Söderhäll, 2001).

In addition, the recombinant N-terminal region protein of the *Pm*MasSPH comprising the repeated glycine-rich and the clip domain possesses anti-Gram-positive bacterial activity. Similarly, it has been shown that the recombinant clip domain of a proPO-activating enzyme of the crayfish exhibited antimicrobial activity against Gram-positive bacteria (Wang et al., 2001). Human azurocidin, which is a SPH, exhibits antimicrobial activity against Gram-positive and Gram-negative bacteria and the yeast *Candida albicans* (Campanelli et al., 1990) but no antimicrobial activity was observed in the crayfish mas-like protein (Lee and Söderhäll, 2001) and the shrimp c-SPH (Lin et al., 2006).

In insect, SPHs participate in the activation of the proPO cascade and function as cofactors (Kwon et al., 2000; Yu et al., 2003). However, in silkworm and crayfish, a proPO-activating enzyme can convert proPO to active PO without the need of the SPH cofactor (Satoh et al., 1999; Wang et al., 2001). In our study, it was found that the addition of the recombinant C-terminal SP-like domain protein of the *Pm*MasSPH or the combination of the two recombinant proteins to the hemocyte lysate did not strongly enhance the PO activity (data not shown). An alternative *in vivo* approach i.e. gene silencing by RNA interference would provide an efficient way to examine the participation of a particular protein in the proPO-activating system (Liu et al., 2007; Amparyup et al., 2009; Charoensapsri et al., 2009). Therefore, the gene knockdown of the *Pm*MasSPH will be subjected to further investigation.

Acknowledgements

This work is supported by a grant from the National Center for Genetic Engineering and Biotechnology (BIOTEC), the National Science and Technology Development Agency (NSTDA) and a fellowship from Thailand Research Fund to Piti Amparyup. Student support to R. Jitvaropas from the Royal Golden Jubilee Ph.D Program, Thailand Research Fund is gratefully acknowledged.

References

- Amparyup, P., Jitvaropas, R., Pulsook, N., Tassanakajon, A., 2007. Molecular cloning, characterization and expression of a masquerade-like serine proteinase homologue from black tiger shrimp *Penaeus monodon*. Fish Shellfish Immunol. 22, 535–546.
- Amparyup, P., Donpudsa, S., Tassanakajon, A., 2008a. Shrimp single WAP domain (SWD)containing protein exhibits proteinase inhibitory and antimicrobial activities. Dev. Comp. Immunol. 32. 1497–1509.
- Amparyup, P., Kondo, H., Hirono, I., Aoki, T., Tassanakajon, A., 2008b. Molecular cloning, genomic organization and recombinant expression of a crustin like antimicrobial peptide from black tiger shrimp *Penaeus monodon*. Mol. Immunol. 45, 1085–1093.
- Amparyup, P., Charoensapsri, W., Tassanakajon, A., 2009. Two prophenoloxidases are important for the survival of *Vibrio harveyi* challenged shrimp *Penaeus monodon*. Dev. Comp. Immunol. 33, 247–256.
- Barracco, M.A., Duvic, B., Söderhäll, K., 1991. The β-1,3-glucan-binding protein from the crayfish *Pacifastacus leniusculus*, when reacted with a β-1,3-glucan, induces spreading and degranulation of crayfish granular cells. Cell Tissue Res. 266, 491–497.
- Bradford, M.M., 1976. A rapid and sensitive method for the quantitation of microgram quantities of protein utilizing the principle of protein-dye binding. Anal. Biochem. 72, 248–254.
- Burgentsa, J.E., Burnetta, L.E., Stabbb, E.V., Burnetta, K.G., 2005. Localization and bacteriostasis of Vibrio introduced into the Pacific white shrimp, Litopenaeus vannamei. Dev. Comp. Immunol. 29, 681–691.
- Campanelli, D., Detmers, P.A., Nathan, C.F., Gabay, J.E., 1990. Azurocidin and a homologous serine protease from neutrophils. Differential antimicrobial and proteolytic properties. J. Clin. Invest. 85, 904–915.
- Charoensapsri, W., Amparyup, P., Hirono, I., Aoki, T., Tassanakajon, A., 2009. Gene silencing of a prophenoloxidase activating enzyme in the shrimp, *Penaeus monodon*, increases susceptibility to *Vibrio harveyi* infection. Dev. Comp. Immunol. 33, 811–820
- Cheng, W., Liu, C.H., Tsai, C.H., Chen, J.C., 2005. Molecular cloning and characterisation of a pattern recognition molecule, lipopolysaccharide- and beta-1,3-glucan binding protein (LGBP) from the white shrimp *Litopenaeus vannamei*. Fish Shellfish Immunol. 18. 297–310.
- Dimopoulos, G., Richman, A., Muller, H.M., Kafatos, F.C., 1997. Molecular immune responses of the mosquito *Anopheles gambiae* to bacteria and malaria parasites. Proc. Natl. Acad. Sci. U. S. A. 94. 11508–11513.
- Du, X.J., Zhao, X.F., Wang, J.X., 2007. Molecular cloning and characterization of a lipopolysaccharide and beta-1,3-glucan binding protein from fleshy prawn (Fenneropenaeus chinensis). Mol. Immunol. 44, 1085–1094.
- Eleftherianos, I., Gokcen, F., Felfoldi, G., Millichap, P.J., Trenczek, T.E., ffrench-Constant, R.H., Reynolds, S.E., 2007. The immunoglobulin family protein Hemolin mediates cellular immune responses to bacteria in the insect *Manduca sexta*. Cell. Microbiol. 9, 1137–1147.
- Gonzalez, M., Romestand, B., Fievet, J., Huvet, A., Lebart, M., Gueguen, Y., 2005. Evidence in oyster of a plasma extracellular superoxide dismutase which binds LPS. Biochem. Biophys. Res. Commun. 338, 1089–1097.
- Huang, T.S., Wang, H., Lee, S.Y., Johansson, M.W., Söderhäll, K., Cerenius, L., 2000. A cell adhesion protein from the crayfish *Pacifastacus leniusculus*, a serine proteinase homologue similar to *Drosophila masquerade*. J. Biol. Chem. 275, 9996–10001.
- Jiang, H., Kanost, M.R., 2000. The clip-domain family of serine proteinases in arthropods. Insect Biochem. Mol. Biol. 30, 95–105.
- Johansson, M.W., 1999. Cell adhesion molecules in invertebrate immunity. Dev. Comp. Immunol. 23, 303–315.
- Johansson, M.W., Söderhäll, K., 1988. Isolation and purification of a cell adhesion factor from crayfish blood cells. J. Cell Biol. 106, 1795–1803.
- Johansson, M.W., Söderhäll, K., 1989. A peptide containing the cell adhesion sequence RGD can mediate degranulation and cell adhesion of crayfish granular haemocytes in vitro. Insect Biochem. 19, 573–579.
- Jomori, T., Natori, S., 1992. Function of the lipopolysaccharide-binding protein of Periplaneta americana as an opsonin. FEBS Lett. 296, 283–286.
- Kawabata, S., Tokunaga, F., Kugi, Y., Motoyama, S., Miura, Y., Hirata, M., Iwanaga, S., 1996. Limulus factor D, a 43-kDa protein isolated from horseshoe crab hemocytes, is a serine protease homologue with antimicrobial activity. FEBS Lett. 398, 146–150.
- Kim, M.S., Baek, M.J., Lee, M.H., Park, J.W., Lee, S.Y., Söderhäll, K., Lee, B.L., 2002. A new easter-type serine protease cleaves a masquerade-like protein during prophenoloxidase activation in Holotrichia diomphalia larvae. J. Biol. Chem. 277, 39999–40004.
- Koizumi, N., Morozumi, A., Imamura, M., Tanaka, E., Iwahana, H., Sato, R., 1997. Lipopolysaccharide-binding proteins and their involvement in the bacterial clearance from the hemolymph of the silkworm *Bombyx mori*. Eur. J. Biochem. 248, 217–224.

- Kwon, T.H., Kim, M.S., Choi, H.W., Joo, C.H., Cho, M.Y., Lee, B.L., 2000. A masquerade-like serine proteinase homologue is necessary for phenoloxidase activity in the coleopteran insect, *Holotrichia diomphalia* larvae. Eur. J. Biochem. 267, 6188–6196.
- Lee, K.Y., Zhang, R., Kim, M.S., Park, J.W., Park, H.Y., Kawabata, S., Lee, B.L., 2002. A zymogen form of masquerade-like serine proteinase homologue is cleaved during pro-phenoloxidase activation by Ca²+ in coleopteran and *Tenebrio molitor* larvae. Eur. J. Biochem. 269, 4375–4383.
 Lee, S.Y., Söderhäll, K., 2001. Characterization of a pattern recognition protein, a
- Lee, S.Y., Söderhäll, K., 2001. Characterization of a pattern recognition protein, a masquerade-like protein, in the freshwater crayfish *Pacifastacus leniusculus*. J. Immunol. 166, 7319–7326.
- Lee, S.Y., Söderhäll, K., 2002. Early events in crustacean innate immunity. Fish Shellfish Immunol. 12, 421–437.
- Lee, S.Y., Wang, R., Söderhäll, K., 2000. A lipopolysaccharide- and beta-1,3-glucan-binding protein from hemocytes of the freshwater crayfish *Pacifastacus leniusculus*. Purification, characterization, and cDNA cloning. J. Biol. Chem. 275, 1337–1343.
- Lin, C.Y., Hu, K.Y., Ho, S.H., Song, Y.L., 2006. Cloning and characterization of a shrimp clip domain serine protease homolog (c-SPH) as a cell adhesion molecule. Dev. Comp. Immunol. 30, 1132–1144.
- Liu, H., Jiravanichpaisal, P., Cerenius, L., Lee, B.L., Söderhäll, I., Söderhäll, K., 2007. Phenoloxidase is an important component of the defense against *Aeromonas hydrophila* infection in a crustacean, *Pacifastacus leniusculus*. J. Biol. Chem. 282, 33593–33598.
- Lorenzini, D.M., da Silva, P.I., Fogaca, A.C., Bulet, P., Daffre, S., 2005. Acanthoscurrin: a novel glycine-rich antimicrobial peptide constitutively expressed in the hemocytes of the spider *Acanthoscurria gomesiana*. Dev. Comp. Immunol. 27, 781–791.
- Lu, Z., Jiang, H., 2008. Expression of Manduca sexta serine proteinase homolog precursors in insect cells and their proteolytic activation. Insect Biochem. Mol. Biol. 38, 89–98.
- Ma, C., Kanost, M.R., 2000. A β -1,3-glucan recognition protein from an insect, *Manduca sexta*, agglutinates microorganisms and activates the phenoloxidase cascade. J. Biol. Chem. 275, 7505–7514.
- Murugasu-Oei, B., Rodrigues, V., Yang, X., Chia, W., 1995. Masquerade: a novel secreted serine protease-like molecule is required for somatic muscle attachment in the *Drosophila* embryo. Genes Dev. 9, 139–154.
- Perazzolo, L.M., Barracco, M.A., 1997. The prophenoloxidase activating system of the shrimp *Penaeus paulensis* and associated factors. Dev. Comp. Immunol. 21, 385–395.
- Rattanachai, A., Hirono, I., Ohira, T., Takahashi, Y., Aoki, T., 2005. Peptidoglycan inducible expression of a serine proteinase homologue from kuruma shrimp (*Marsupenaeus japonicus*). Fish Shellfish Immunol. 18, 39–48.
- Romo-Figueroa, M.G., Vargas-Requena, C., Sotelo-Mundo, R.R., Vargas-Albores, F., Higuera-Ciapara, I., Söderhäll, K., Yepiz-Plascencia, G., 2004. Molecular cloning of a beta-glucan pattern-recognition lipoprotein from the white shrimp *Penaeus* (*Litopenaeus*) vannamei: correlations between the deduced amino acid sequence and the native protein structure. Dev. Comp. Immunol. 28, 713–726.
- Satoh, D., Horii, A., Ochiai, M., Ashida, M., 1999. Prophenoloxidase-activating enzyme of the silkworm, *Bombyx mori*. Purification, characterization, and cDNA cloning. J. Biol. Chem. 274, 7441–7453.
- Smith, V.J., Chisholm, J.R.S., 1992. Non-cellular immunity in crustaceans. Fish Shellfish Immunol. 2, 1–31.
- Söderhäll, K., Cerenius, L., 1992. Crustacean immunity. Annu. Rev. Fish. Dis. 2, 3–23.
- Sriphaijit, T., Flegel, T.W., Senapin, S., 2007. Characterization of a shrimp serine protease homolog, a binding protein of yellow head virus. Dev. Comp. Immunol. 31, 1145–1158.
- Sritunyalucksana, K., Wongsuebsantati, K., Johansson, M.W., Söderhäll, K., 2001. Peroxinectin, a cell adhesive protein associated with the proPO system from the black tiger shrimp, *Penaeus monodon*. Dev. Comp. Immunol. 25, 353–363.
- Sritunyalucksana, K., Lee, S.Y., Söderhäll, K., 2002. A beta-1,3-glucan binding protein from the black tiger shrimp, *Penaeus monodon*. Dev. Comp. Immunol. 26, 237–245.
- Sun, Y.D., Fu, L.D., Jia, Y.P., Du, X.J., Wang, Q., Wang, Y.H., Zhao, X.F., Yu, X.Q., Wang, J.X., 2008. A hepatopancreas-specific C-type lectin from the Chinese shrimp Fenneropenaeus chinensis exhibits antimicrobial activity. Mol. Immunol. 45, 348–361.
- Vargas-Albores, F., Jiménez-Vega, F., Söderhäll, K., 1996. A plasma protein isolated from brown shrimp (*Penaeus californiensis*) which enhances the activation of prophenoloxidase system by β-1,3-glucan. Dev. Comp. Immunol. 20, 299–306.
- Wang, R., Lee, S.Y., Cerenius, L., Söderhäll, K., 2001. Properties of the prophenoloxidase activating enzyme of the freshwater crayfish, *Pacifastacus leniusculus*. Eur. J. Biochem. 268, 895–902.
- Yu, X.Q., Jiang, H., Wang, Y., Kanost, M.R., 2003. Nonproteolytic serine proteinase homologs are involved in prophenoloxidase activation in the tobacco hornworm, *Manduca sexta*. Insect Biochem. Mol. Biol. 33, 197–208.

FISEVIER

Contents lists available at ScienceDirect

Developmental and Comparative Immunology

journal homepage: www.elsevier.com/locate/dci



A clip domain serine proteinase plays a role in antibacterial defense but is not required for prophenoloxidase activation in shrimp

Piti Amparyup ^{a,b}, Kriangpol Wiriyaukaradecha ^{a,c}, Walaiporn Charoensapsri ^a, Anchalee Tassanakajon ^{a,*}

ARTICLE INFO

Article history:
Received 29 July 2009
Received in revised form 6 September 2009
Accepted 7 September 2009
Available online 22 September 2009

Keywords:
Shrimp immunity
Penaeus monodon
Clip domain serine proteinase
Vibrio harveyi
RNA interference
Prophenoloxidase

ABSTRACT

The clip domain serine proteinases (clip-SPs) play critical roles in the signaling processes during embryonic development and in the innate immunity of invertebrates. In the present study, we identified a homolog of the clip-SP, designated as PmClipSP1, by searching the Penaeus monodon EST database (http://pmonodon.biotec.or.th), and using RACE-PCR to obtain the complete gene which contained a 1101 bp open reading frame encoding 366 amino acids with a 25 amino acid signal peptide. The deduced PmClipSP1 protein sequence, which shares a predicted structural similarity to the clip-SPs of other arthropod species, appears to possess a clip domain at the N-terminus and an enzymatically active serine proteinase domain at the C-terminus. Tissue distribution analyses revealed that, at the transcript level, PmClipSP1 is mainly expressed in shrimp hemocytes, whilst temporal gene expression analyses showed that the hemocyte PmClipSP1 transcript levels were upregulated at 3 h and downregulated at 6-48 h following systemic Vibrio harveyi infection. RNAi-mediated silencing of the PmClipSP1 gene, by injection of double-stranded RNA (dsRNA) corresponding to the PmClipSP1 gene into shrimp, significantly reduced PmClipSP1 transcript levels, but neither significantly altered the other clip-SP and clip-SPH transcript levels nor reduced the total phenoloxidase (PO) enzyme activity in shrimp hemocytes, compared to the levels seen in the GFP dsRNA control, suggesting that PmClipSP1 is not involved in the proPO system. However, suppression of the PmClipSP1 gene led to a significant increase in the number of viable bacteria in the hemolymph (~2.4-fold) and in the mortality rate (59%) of shrimp systemically infected with V. harveyi. These findings suggest that PmClipSP1 plays a role in the antibacterial defense mechanism of P. monodon shrimp.

© 2009 Elsevier Ltd. All rights reserved.

1. Introduction

Invertebrates, including shrimp, lack an acquired immune system and rely on the innate immune system for resisting and killing pathogen invasions [1,2]. The initiation of innate immune reactions is triggered by pattern recognition receptors (PRRs), protein molecules that are capable of recognition of typical structures on the surface of many microorganisms, but not self, known as pathogen-associated molecular patterns (PAMPs). PAMPs include the lipopolysaccharide (LPS) and peptidoglycan components of bacterial cell walls, and the β -1,3-glucan component of fungal cell walls [3]. Generally, the recognition of PRRs activates extracellular serine proteinase (SP) cascades that amplify

the signal and trigger downstream molecules, leading to the killing of the pathogens [2,4].

In invertebrates, extracellular SP cascades involving the clip domain SP (clip-SP) family play important roles in signaling cascades in both embryonic development and in defense responses, such as in hemolymph coagulation in the horseshoe crab, *Tachypleus tridentatus* [5], antimicrobial peptide synthesis in *Drosophila* [6], and the activation of prophenoloxidase (proPO) in insects and crustaceans [6–8].

The clip-SP family is a group of SPs containing the clip and the SP-like domains at the N- and C-terminus, respectively. The clip domain, initially identified in the proclotting enzyme from the horseshoe crab [5], is comprised of approximately 30–60 amino acid residues including 6 cysteine residues which form three internal disulfide bonds [7,9]. The SP-like domain contains an active site, termed the catalytic triad, of His, Asp and Ser amino acid residues. The active site serine residue participates in the formation of a transient acyl-enzyme intermediate between the

^a Center of Excellence for Molecular Biology and Genomics of Shrimp, Department of Biochemistry, Faculty of Science, Chulalongkorn University, Phayathai Road, Bangkok, 10330, Thailand

^b National Center for Genetic Engineering and Biotechnology (BIOTEC), National Science and Technology Development Agency (NSTDA), 113 Paholyothin Road, Klong1, Klong Luang, Pathumthani, 12120. Thailand

^c Program of Biotechnology, Faculty of Science, Chulalongkorn University, Bangkok, 10330, Thailand

^{*} Corresponding author. Tel.: +66 2 218 5439; fax: +66 2 218 5418. E-mail address: anchalee.k@chula.ac.th (A. Tassanakajon).

substrate and the proteinase. The clip-SP family can be divided into catalytic and non-catalytic groups according to the proteolytic activity of the SP-like domain. The non-catalytic group members, the SP homologues (SPHs), do not exhibit any enzymatic activity due to mutations within the enzymatic active site [10].

The roles of clip-SPs in immune defenses have been well studied in some arthropods. In the hemolymph clotting system of the horseshoe crab, the two clip-SPs (Factor B and a proclotting enzyme), as well as the other two proteinases (Factors C and G), are involved in a proteolytic cascade [11] that leads to the conversion of a soluble protein coagulogen to an insoluble coagulum gel and subsequent clotting of the hemolymph for immobilizing pathogens [12–15]. In *Drosophila*, the Toll pathway is activated by proteinases, two of which are the clip domain proteinases, namely Snake and Easter [16].

The proPO-activating system is an important invertebrate defense mechanism in which activation of a clip-SP cascade leads to the activation of a terminal clip-SP, a proPO-activating enzyme (PPAE) that carries out proteolytic conversion of inactive proPO into active PO [4]. Subsequently, PO catalyzes the formation of quinone reactive intermediates for melanin synthesis at the injury site or around invading microorganisms [4,17].

Recently, clip-SPs have been isolated and characterized from the penaeid shrimp, Penaeus monodon [18-20], Fenneropenaeus chinensis [21] and Marsupenaeus japonicus [22]. However, very little is known about the role of clip-SPs in shrimp immunity. Recently, a clip-SP, designated as PmPPAE1, was identified from the hemocytes of P. monodon and shown to both function in the proPO system and to be an important component in the shrimp immune defense [8]. In the present study, we have isolated a novel clip-SP. PmClipSP1 from the black tiger shrimp, P. monodon, and compared its molecular characteristics with PmPPAE1. Specifically, in this study we aimed (1) to clone the full-length cDNA of PmClipSP1 from P. monodon, (2) to examine the temporal response of its transcripts in hemocytes to systemic Vibrio harveyi challenges and (3) to elucidate the role of the *Pm*ClipSP1 product in the proPOactivating system and in protecting shrimp from V. harveyi infection.

2. Materials and methods

2.1. Sample preparation

P. monodon shrimp, with an average weight of 15 ± 1 g per shrimp, were purchased from a commercial farm in Thailand, and kept in aerated seawater at 20 ppt saline for 7 days before processing. Shrimp hemolymph (approximately 0.5 ml per individual) was collected from the ventral sinus in an anti-coagulant solution (10% (w/v) trisodium citrate dihydrate) and then centrifuged at $800 \times g$ for 10 min at 4 °C to collect the hemocyte pellet. The tissues of unchallenged shrimp, including the hepatopancreas, gills, lymphoid organ, intestine and heart were dissected and snap-frozen in liquid nitrogen and stored at -80 °C until required. Challenge experiments were performed by injection of 25 μ l of 150 mM NaCl with or without a V. harveyi (10⁶ CFU) suspension into the last abdominal segment of each shrimp. Saline-injected shrimp were used as a control group. The challenged shrimp were reared in laboratory seawater tanks, and the hemolymph of three individual shrimp at various times postinjection (0, 3, 6, 24 and 48 h) was randomly collected for subsequent experiments. The hemocyte cell pellets (see above) were immediately used for RNA extraction.

2.2. Total RNA extraction and cDNA synthesis

Total RNA from each tissue was isolated with the TRI REAGENT®, and the resulting RNA was further treated with

RNase-free DNase I (Promega, USA). First-strand cDNA synthesis was carried out using the ImProm-II^TM Reverse Transcriptase System kit (Promega, USA), with the DNase I-treated total RNA (1.5 μg) as the template and oligo (dT) $_{15}$ as the primer (0.5 μg), according to the manufacturer's protocol. The cDNAs were stored at $-80~^{\circ}\text{C}$ until required for RT-PCR analysis.

2.3. Rapid amplification of cDNA end (RACE)-PCR

A partial cDNA sequence of a putative clip-SP (PmClipSP1) was retrieved from the P. monodon EST database (http://pmonodon.biotec.or.th) [23]. Gene-specific primers (Table 1) were designed from this sequence to amplify the full-length cDNA of PmClipSP1 by RACE. To this end, mRNA was isolated from the hemocytes of P. monodon using a QuickPrepTM Micro mRNA Purification Kit (GE Healthcare, Piscataway, NJ, USA), as described by the manufacturer. Two micrograms of this mRNA were used to prepare 5'- and 3'-RACE cDNAs using the SMART RACE cDNA Amplification Kit (Clontech, USA), following the manufacturer's instructions. The resulting 5'- or 3'-RACE cDNAs were amplified with a universal primer mix (Clontech, USA) and the gene-specific primers for PmClipSP1 (5racePmSP1-R or 3racePmSP1-F) (Table 1). PCR amplification and cycle condition were carried out as described by Amparyup et al. [19]. The PCR products were separated by agarose gel electrophoresis, and then the expected sized bands were excised and purified using a Qiagen DNA Purification kit (QIAGEN Sciences, Germantown, MA, USA). The purified DNA fragments were cloned into the pGEM-T Easy vector (Promega. USA) and sequenced. Finally, a single-fragment amplification of each full-length cDNA was carried out by PCR using the primer pair 5PmSP1-F and 3PmSP1-R for PmClipSP1 (Table 1) and Pfu DNA polymerase (Promega, USA). The PCR product was cloned and sequenced in both directions to obtain the complete consensus sequence.

2.4. Sequence analysis

The cDNA sequence and deduced amino acid sequence of PmClipSP1 were analyzed with the GENETYX 7.0.3 program (GENETYX Corporation) and the BLAST programs (http:// www.ncbi.nlm.nih.gov/blast). The ClustalW multiple sequence alignment program (http://www.ebi.ac.uk/Tools/clustalw2/) was used to create the multiple sequence alignments. The deduced amino acid sequence and the putative signal peptide were predicted by the simple modular architecture research tool SMART version 4.0 (http://www.smart.emblheidelberg.de/), and the SignalP 3.0 Server (http://www.cbs.dtu.dk/services/SignalP/), respectively. Sequence divergence estimates were calculated using the Kimura two-parameter method. Bootstrapped unrooted neighborjoining trees were constructed using Neighbor and Consense with bootstrap analysis performed using Segboot (1000 replicates). All phylogenetic programs are routine in PHYLIP [24]. Phylogenetic trees are illustrated using TREEVIEW (http://taxonomy.zoology.gla.ac.uk/rod.html).

2.5. Tissue distribution analysis

The tissue-specific expression of PmClipSP1 transcripts was determined by RT-PCR. The first-strand cDNA was synthesized from DNase I-treated total RNA (1.5 μ g) extracted from the hemocyte, gills, lymphoid organs, intestines, hepatopancreas and hearts of P. monodon, respectively. Gene-specific primers for PmClipSP1 (PmSP1rt-F and PmSP1rt-R) (Table 1) were designed from the full-length PmClipSP1 cDNA sequences and used to amplify a 190 bp fragment in the RT-PCR. As an internal control, a partial gene fragment (150 bp) of elongation factor1- α gene (EF1-

Table 1 Primer sequences.

Primer	Sequence (5'-3')	Purpose
3racePmSP1-F	5' CTTACTGCTGCCCATTGTGTAGACCCTG 3'	3'-RACE for PmClipSP1
5racePmSP1-R	5' CACGAGTGTTGTATGAGGGATGACCGAT3'	5'-RACE for PmClipSP1
5PmSP1-F	5' TTAGAAACCATGTTGCTTATTCACGGGA 3'	RT-PCR for PmClipSP1
5PmSP1-R	5' CAGGAATGTATCAAAGAGGTAATAGCAT 3'	RT-PCR for PmClipSP1
PmSP1rt-F	5' TGAGAGCACAAATAGTGGAGGGGTA 3'	RT-PCR for PmClipSP1
PmSP1rt-R	5' TGGAGGCACACAGGCAAC 3'	RT-PCR for PmClipSP1
SP1i-F	5' CGTGGTTGCGTGGCGTTAG 3'	RNAi for PmClipSP1
SP1i-R	5' GCCTGTTGAGTCTGATGAGTGC 3'	RNAi for PmClipSP1
T7SP1i-F	5' GGATCCTAATACGACTCACTATAGGCGTGGTTGCGTGGCGTGGTTAG 3'	RNAi for PmClipSP1
T7SP1i-R	5' GGATCCTAATACGACTCACTATAGGGCCTGTTGAGTCTGATGAGTGC 3'	RNAi for PmClipSP1
GFP-F	5' ATGGTGAGCAAGGGCGAGGA 3'	RNAi for GFP
GFP-R	5' TTACTTGTACAGCTCGTCCA 3'	RNAi for GFP
GFPT7-F	5' TAATACGACTCACTATAGGATGGTGAGCAAGGGCGAGGA 3'	RNAi for GFP
GFPT7-R	5' TAATACGACTCACTATAGGTTACTTGTACAGCTCGTCCA 3'	RNAi for GFP
PmPPArt-F	5' GTCCTACGACACGACCACCTAC 3'	RT-PCR for PmPPAE1
PmPPArt-R	5' CTGTCACCCTGGCACGAATCCT 3'	RT-PCR for PmPPAE1
PmPPAE2rt-F	5' GCGGCGTCACGCTCCTTGTTC 3'	RT-PCR for PmPPAE2
PmPPAE2rt-R	5' ACTCTCGGGGGCACGCTTGTTG 3'	RT-PCR for PmPPAE2
PmSP2rt-F	5' GGCGTTGGTCTTCACTGCTCTC 3'	RT-PCR for PmClipSP2
PmSP2rt-R	5' CAGAACTGCCTTCCAAGGATAG 3'	RT-PCR for PmClipSP2
PmSPH1rt-F	5' TACGTACTCATTGATATCAGGTTTGG 3'	RT-PCR for PmMasSPH1
PmSPH1rt-R	5' GCCTCGTTATCCTTGAATCCAGTGA 3'	RT-PCR for PmMasSPH1
PmSPH2rt-F	5' CCGTGAACCAGCGATGTCCTTA 3'	RT-PCR for PmMasSPH2
PmSPH2rt-R	5' GCCACACTCTCCGCCTGCTCCG 3'	RT-PCR for PmMasSPH2
PmSPH3rt-F	5' GCTCTTGGTGCCGCTGTTG 3'	RT-PCR for PmMasSPH3
PmSPH3rt-R	5' CACCGTCCACGCACAGGTAATA 3'	RT-PCR for PmMasSPH3
EF1α-F	5' GGTGCTGGACAAGCTGAAGGC 3'	RT-PCR for EF1 α
EF1α-R	5' CGTTCCGGTGATCATGTTCTTGATG 3'	RT-PCR for EF1α

 $\alpha)$ was amplified from the cDNAs with the specific primers: EF1 α -F and EF1 α -R (Table 1). Semi-quantitative RT-PCR was carried out in a 25 μ l reaction volume containing 75 mM Tris–HCl, pH 8.8, 20 mM (NH₄)₂SO₄, 0.1% (v/v) Tween 20, 1.5 mM MgCl₂, 100 μ M of each dNTP, 0.2 μ M of each specific primer, 1 unit of Taq DNA polymerase (Fermentas, USA) and one μ l of the first-strand cDNA. The PCR was carried out at 94 °C for 1 min, followed by 25 cycles for *Pm*ClipSP1 or 22 cycles for EF1- α of 94 °C for 30 s, 55 °C for 30 s and 72 °C for 30 s, plus a final extension step at 72 °C for 10 min. Ten microlitres of the amplification product was separated in a TBE-1.5% (w/v) agarose gel stained with ethidium bromide staining and UV-transillumination.

2.6. Gene expression analysis in response to bacterial challenge

RNA isolation and first-strand cDNA synthesis were carried out as described above. The cDNA mix was diluted 1:5 (v/v) and stored at -80 °C for subsequent SYBR Green fluorescent quantitative realtime PCR (RT-PCR) amplification. Real-time RT-PCR was performed in an iCycler-iQTM system (Bio-Rad Laboratories, USA) using genespecific primers (PmSP1rt-F and PmSP1rt-R) (Table 1) and SYBR Green I dye detection (Bio-Rad). The amplification reaction and thermal profile were performed as described by Amparyup et al. [19], with amplification of the shrimp EF1- α internal gene fragment (150 bp) as the internal control. Each sample had three replicates in each plate. Dissociation curve analysis of the amplification products was performed at the end of each PCR reaction to confirm that only one PCR product was amplified and detected. The Ct values of V. harveyi injected samples at each time point were thus normalized with the saline-injected samples and a mathematical model was used to determine the relative expression ratio [25].

2.7. Double-stranded RNA preparation

Large quantities of dsRNA were prepared as previously described [26]. The DNA fragment of 660 bp was amplified by

PCR from the recombinant plasmid containing the PmClipSP1 gene using the gene-specific primers SP1i-F and SP1i-R for PmClipSP1 (Table 1). The primers for the dsRNA synthesis consist of the same primer sequences but flanked at the 5' end by a T7 promoter recognition sites (5'-GGATCCTAATACGACTCAC-TATAGG-3') (Table 1). A DNA fragment (740-bp) corresponding to the green fluorescent protein (GFP) sequence, was amplified as a negative control as described previously [26]. The PCR products were purified (QIAGEN, Germantown, MA, USA) and used to construct the dsRNA with a T7 RNA polymerase (T7 RiboMAXTM Express Large Scale RNA Production Systems, Promega, USA), according to the respective manufacturer's protocol. The formation of dsRNAs was monitored by determining the product size of reactants using TBE-1.5% (w/v) agarose gel electrophoresis based resolution. The synthesized dsRNAs were dissolved in nuclease free water and quantified by spectrophotometry.

2.8. RNA interference (RNAi) treatment of shrimp

Shrimp were injected with either *Pm*ClipSP1 or GFP (control) dsRNA as previously described [26]. Briefly, approximately 2 µg of dsRNA in 150 mM NaCl per 1 g of a shrimp was injected through the lateral area of the fourth abdominal segment using a 0.5-ml insulin syringe with a 29-gauge needle, to assess the sequence-specific knockdown effect of dsRNA. Injection of 150 mM NaCl alone was done as an additional control for handling and injection induced mortality. At 24 h after the first RNAi treatment, the repeated injection of dsRNA or saline was carried out together with 20 µg of each of Escherichia coli 0111:B4 lipopolysaccharide (LPS) (Sigma) and laminarin (β-1,3glucan) (Sigma) to stimulate the immune response. At the end of the experiment (48 h after the second RNAi treatment) shrimp hemolymph was collected for total RNA extraction using NucleoSpin® RNAII (MACHEREY-NAGEL) according to the manufacturer's instructions. First-strand cDNA was synthesized from total RNA (180 ng) using the ImProm-IITM Reverse Transcriptase (Promega, USA) and oligo $(dT)_{15}$ primer, according to the manufacturers instructions.

2.9. Semi-quantitative RT-PCR analysis

The efficiency and specificity of the PmClipSP1 knockdown was analyzed by semi-quantitative RT-PCR analysis using gene-specific primers for PmClipSP1 or those for the other clip-SPs (PmPPAE1, PmPPAE2 and PmClipSP2), and clip-SPHs (PmMasSPH1, PmMasSPH2 and PmMasSPH3), respectively (Table 1). A fragment of the EF1- α gene was amplified in a separate tube and served as an internal control for normalization. The PCR reactions and thermal cycling conditions were carried out as described above. After amplification, the RT-PCR products were separated by TBE-1.8% (w/v) agarose gel electrophoresis and visualized as stated above.

2.10. Phenoloxidase activity assay in silencing-shrimp hemolymph

The hemolymph, collected 48 h after the second dsRNA injection without the use of anti-coagulant from the ventral sinus of randomly selected shrimp, was subjected to a phenoloxidase (PO) assay as described by Amparyup et al. [26]. Total protein concentration was measured using a Bradford assay kit (Bio-Rad). Briefly, shrimp hemolymph protein (2 mg) in 435 µl of Tris-HCl (10 mM, pH 8.0) was mixed with 65 µl of L-3,4-dihydroxyphenylalanine (L-dopa) (3 mg/ml in water) (Fluka), according to Amparyup et al. [26]. The reaction mixture was incubated at room temperature for 30 min and the reaction was stopped by adding 500 µl of 10% (v/v) acetic acid. The remaining PO activity was monitored by spectrophotometry at 490 nm. PO activity was recorded as ΔA_{490} /mg total protein/min against control samples that used distilled water instead of shrimp hemolymph. Each experimental group (2-3 shrimp/group), including the PmClipSP1 dsRNA, GFP dsRNA and saline-injected shrimp was repeated three times. The data were analyzed using one-way analysis of variance (ANOVA).

2.11. Cumulative mortality assay

To conduct cumulative mortality experiments for PmClipSP1-knockdown shrimp, three groups of shrimp $(2\pm0.2\,\mathrm{g})$ were intramuscularly injected with PmClipSP1 dsRNA $(4\,\mu\mathrm{g})$, GFP dsRNA $(4\,\mu\mathrm{g})$ or NaCl $(150\,\mathrm{mM})$ in $25\,\mu\mathrm{l}$ volume. Twenty-four hours after the first dsRNA injection, shrimp were again injected with the same concentration of each dsRNA together with 2×10^5 CFUs of V. harveyi isolate 639. Injections of GFP dsRNA or NaCl were used as controls. The number of dead shrimp was recorded daily for 5 days post-V. harveyi infection. Each experiment was performed in triplicate, with each group consisting of 9–10 healthy shrimp. Statistical analysis of the cumulative mortality was performed using one-way analysis of variance (ANOVA).

2.12. Bacterial counts in the PmClipSP1-silenced shrimp hemolymph after V. harveyi infection

Bacterial counts within the hemolymph were performed as described by Charoensapsri et al. [8]. DsRNA (4 μg) of either PmClipSP1 or GFP dsRNAs was injected into individual juvenile shrimp (2 \pm 0.2 g) into the third abdominal segment. Twenty-four hours after the first dsRNA injection, shrimp were reinjected with dsRNA (4 μg) and V. harveyi (2 \times 10 5 CFUs). After bacterial challenge for 6 h, the shrimp hemolymph was collected and serial diluted in phosphate buffer saline (PBS) pH 7.4, and from each respective dilution 10 μl of hemolymph was plated per LB agar plate which were then incubated at 30 $^{\circ}\text{C}$ over night

followed by counting of the bacterial colonies and evaluating the average replication competent (viable) colony forming units (CFUs).

3. Results

3.1. Cloning and characterization of PmClipSP1

By searching of the clip domain family of serine proteinases (SPs) within the P. monodon EST database (http://pmonodon.biotec.or.th) [23], three clip-SPs (PmPPAE1 [8]; FJ620685, PmClipSP1; FJ620688 and PmClipSP2; FJ620687) and three clip-SP homologues (PmMasSPH1 [19]; DQ455050, PmMasSPH2; FJ620686 and PmMasSPH3; FJ620689) were obtained. In this study, a 600 bp fragment of PmClipSP1 similar to the serine protease 14D (AAB62929) of Anopheles gambiae (58% similarity) was characterized. To obtain 3'- the full-length sequence of PmClipSP1, 5' and 3'- RACE-PCR analyses were carried out using gene-specific primers for PmClipSP1 (Table 1). The complete sequence of PmClipSP1 cDNA consisted of a 5' terminal untranslated region (UTR) of 55 bp, a 3' UTR of 353 bp with a canonical polyadenylation signal site and a poly (A) tail, and an open reading frame (ORF) of 1101 bp encoding a predicted polypeptide of 366 amino acids with a 25 amino acid signal peptide. The deduced mature protein sequence of PmClipSP1 was thus composed of 341 amino acid residues with a theoretical isoelectric point of 5.56 and a predicted molecular weight of 36.48 kDa. However, two putative N-glycosylation sites, NFS (aa position 219) and NKS (aa position 228) sites, were found suggesting that PmClipSP1 is a likely glycosylated protein and thus of a higher molecular weight. The nucleotide sequence of PmClipSP1 was deposited in GenBank under accession no. FJ620688.

3.2. Sequence alignment and phylogenetic analysis

Sequence analysis of PmClipSP1 cDNA revealed that it has a fairly high sequence similarity, and is homologous, to a serine proteinase (ABC33918) of F. chinensis (58% sequence similarity), the serine protease 14D (ACN38198) from Anopheles gambiae (57%), prophenoloxidase activating factor (PPAF) I (BAA34642) from Holotrichia diomphalia (54%), the melanization protease 1 (NP_649450) of Drosophila melanogaster (52%) and PAP3 (AAX18637) of Manduca sexta (51%). Based on the SMART program analysis, PmClipSP1 belongs to the superfamily of the trypsin-like serine proteinases, which is the most similar family in sequence architecture to the clip domain serine proteinases of arthropods. Multiple sequence alignment of the deduced PmClipSP1 amino acid sequence with those of other clip-SPs in arthropods revealed the six conserved clip domain cysteines at the N-terminus as well as, at the C-terminus, the three conserved catalytic sites (H126. D191 and S289) of a typical trypsin-like serine proteinase domain

To examine the relationship between *PmC*lipSP1 and other arthropod clip-SPs, an unrooted neighbor-joining (NJ) phylogenetic tree was drawn based on the predicted SP domain of clip-SPs and clip-SPHs from various arthropod species. Based on this NJ analysis, arthropod clip-SPs and clip-SPHs form two distinct and separate major groups. Although *PmC*lipSP1 clusters together with some of the shrimp clip-SPs (*PmC*lipSP2 and *PmPPAE2*) and clip-SPH (*FcSPH*), their functions are unknown, except for that of PPAF-III from *H. diomphalia*, which is a clip-SP that activates PPAF-II by cleavage [27]. Nevertheless, the phylogenetic tree clearly indicates that the *PmC*lipSP1 was more closely related to clip-SPs than clip-SPHs (Fig. 2).

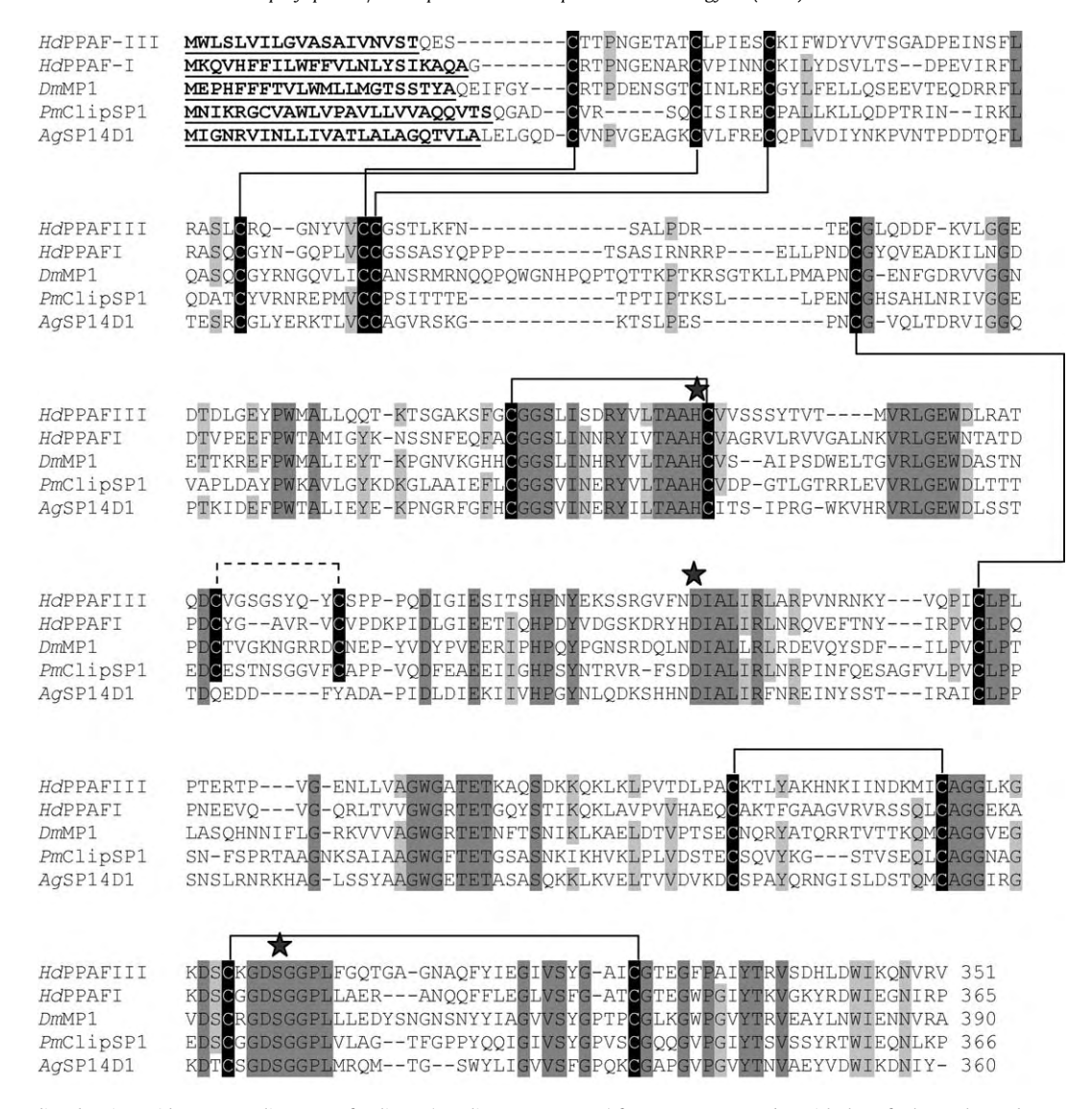


Fig. 1. Multiple predicted amino acid sequence alignment of a clip-SP (*Pm*ClipSP1; FJ620688) from *Penaeus monodon* with that of other arthropod PPAEs: PPAF-I (*Hd*PPAFII: AB013088) and PPAF-III (*Hd*PPAFIII: AB079666) from *Holotrichia diomphalia*; serine protease 14D (AgSP14D1: FJ653845) from *Anopheles gambiae* and Melanization Protease-1 (*Dm*MP1: NM_141193) from *Drosophila melanogaster*. The signal peptide is shown in bold and underlined. Identical amino acid residues are dark grey shaded. Grey indicates conservation in three or more species. Black highlights indicate conserved cysteine residues. The putative disulfide linkages are shown by solid lines. The amino acid residues corresponding to the catalytic triad of serine proteinases are marked by black stars.

3.3. Tissue-specific expression of the PmClipSP1 gene of P. monodon

RT-PCR analysis was employed to determine the tissue-specific transcript expression levels of PmClipSP1 mRNA, using EF1- α as the internal control gene. PmClipSP1 transcripts were mainly expressed in shrimp hemocytes, with perhaps a low level of expression in the lymphoid organ although we cannot formally exclude this is due to residual hemocyctes in hemolymph within the tissue (Fig. 3A).

3.4. Changes in the PmClipSP1 transcript level in shrimp hemocytes after a systemic V. harveyi challenge

To examine whether *Pm*ClipSP1 is a potential immune responsive gene in shrimp hemocytes, the transcript levels of *Pm*ClipSP1 were determined after systemic *V. harveyi* challenge by real-time quantitative RT-PCR analysis. Total RNA was extracted from the hemocytes of shrimp at various time points (0, 3, 6, 24 and 48 h) after injection of the pathogenic bacterium *V. harveyi* and

subjected to first-strand cDNA synthesis. Gene expression levels were normalized to that of the housekeeping gene, EF1- α , which was used as the internal control. The PmClipSP1 transcript level was rapidly increased by \sim 1.8-fold at 3 h and then decreased at 6 h by about \sim 3.9-fold (Fig. 3B), and remained at a decreased expression level, relative to that at the start, throughout the experiment such that at 48 h post-challenge, the expression level of the PmClipSP1 gene was still lower than at zero post-infection by \sim 1.8-fold.

3.5. Gene silencing of PmClipSP1

To characterize the potential role of *Pm*ClipSP1 in shrimp innate immunity we sought to use dsRNA gene knockdown using systemically administered dsRNA. To first confirm the methodology does indeed lead to a significant transcript level reduction, RT-PCR was used to determine the gene transcription of the targeted gene after systemic dsRNA treatment. The hemocyte fraction of the hemolymph from each group of shrimp (two individuals per

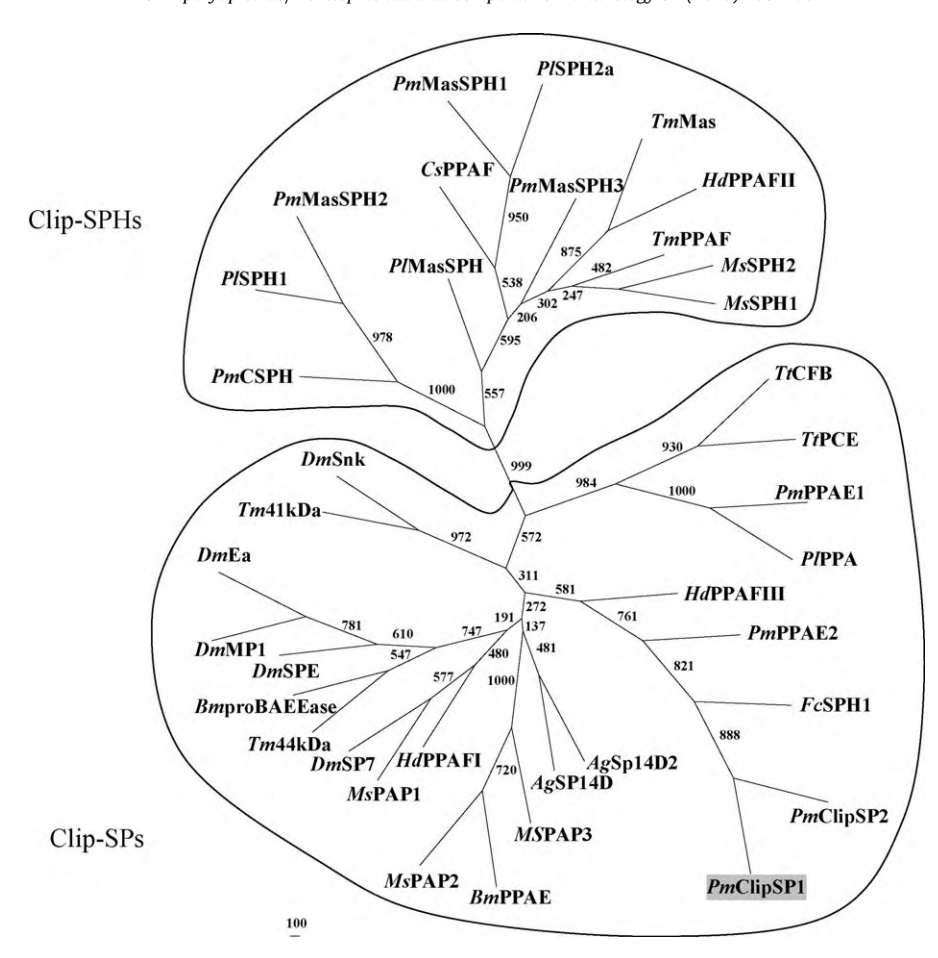


Fig. 2. Bootstrapped unrooted neighbor-joining tree of the serine proteinase domain of clip-SPs and clip-SPHs from arthropods: Penaeus monodon clip-SP1 (PmClipSP1; ACP19562), clip-SP2 (PmClipSP2; ACP19561), PPAE1 (PmPPAE1; ACP19558), PPAE2 (PmPPAE2; ACP19559), Mas-like SPH1 (PmMasSPH1; ABE03741), Mas-like SPH2 (PmMasSPH2; ACP19560), Mas-like SPH3 (PmMasSPH3; ACP19563), Mas-like protein (PmCSPH; AY600627); Fenneropenaeus chinensis SPH (FcSPH1; DQ318859); Pacifastacus leniusculus PPA (PlPPA; CAB63112), Mas-like protein (PlMas; Y11145), SPH1 (PlSPH1; AY861652), SPH2a (PlSPH2a; EU552456); Callinectes sapidus PPAF (CSPPAF; AY555734); Anopheles gambiae serine protease 14D (AgSP14D; Fl651845), serine protease 14D2 (AgSp14D2; AF117749); Drosophila melanogaster melanization protease 1 (DmMP1; NM_141193), Spatzle-processing enzyme (DmSPE; NM_142911), snake (DmSnk; NM_079614), easter (DmEa; NM_079638), serine protease 7 (DmSP7; NM_141477); Bombyx mori PPAE (BmPPAE; NM_001043367), SP zymogen (BmproBAEEase; NM_001043379); Holotrichia diomphalia PPAF-I (HdPPAFII; AB013088), PPAF-II (HdPPAFIII; AB013088), PPAF-III (HdPPAFIII; AB079666); Manduca sexta PAP1 (MsPAP1; AY789465), PAP2 (MsPAP2; AY077643), PAP3 (MsPAP3; AY188445), SPH1 (MsSPH1; AF518767), SPH2 (MsSPH2; AF518768); Tenebrio molitor PPAF (TmPPAF; AJ400904), Mas-like SPH (TmMasSPH; AB084067), 41 kDa zymogen (Tm41kDa; AB363980); Tachypleus tridentatus proclotting enzyme (TtPCE; M58366) and coagulation factor B (TtCFB; D14701). Bootstrap values indicate the percentage of times that the particular node occurred in 1000 trees generated by bootstrapping the original deduced protein sequences.

group), composed of *PmC*lipSP1 dsRNA-, GFP dsRNA-, and NaClinjected shrimp, were randomly collected and subjected to RT-PCR analysis. There was no increased shrimp mortality rate during the post-injection period of 7 days resulting from the injection of either *PmC*lipSP1 or the control GFP dsRNAs or from injection of NaCl alone into the shrimp. The results revealed that the transcript levels of *PmC*lipSP1 were significantly decreased in shrimp at 48 h after injection of *PmC*lipSP1 dsRNA, whereas there was no difference in GFP dsRNA injected shrimp and NaCl injected shrimp (Fig. 4).

The specificity of the *Pm*ClipSP1 gene knockdown was determined by examining the transcript levels of the other clip-SPs (*Pm*PPAE1, *Pm*PPAE2 and *Pm*ClipSP2) and clip-SPHs (*Pm*MasSPH1, *Pm*MasSPH2 and *Pm*MasSPH3) in the same *P. monodon* samples using RT-PCR and specific primers for each gene. The results clearly showed that the *Pm*ClipSP1 knockdown did not inhibit the gene transcription levels of the other clip-SP genes (Fig. 4), which indicated that the *Pm*ClipSP1 gene is specifically silenced by its corresponding dsRNA. Thus, at least under these experimental conditions, a successful specific downregulation of *Pm*ClipSP1 gene transcripts was obtained by this systemic administered dsRNA.

3.6. Total proPO activity in PmClipSP1-silenced shrimp

To study the effect of PmClipSP1 RNAi-mediated deficiency on the proPO-activating system, the total PO activity in the PmClipSP1-knockdown shrimp was determined. At 48 h after the second dsRNA injection, shrimp hemocytes were collected, and the PO activity was determined. The experiments were repeated three times, and no significant decrease in the total PO activity (p < 0.05) was detected in the PmClipSP1-knockdown shrimp when compared to control groups with either GFP dsRNA or NaCl injected shrimp (data not shown). This suggests that PmClipSP1 was not directly involved in the regulation of the proPO system in shrimp.

3.7. Shrimp mortality and viable V. harveyi hemolymph levels in PmClipSP1-knockdown shrimp

To further assess the potential role of *Pm*ClipSP1 in the shrimp defense against bacterial infection, the *Pm*ClipSP1-knockdown shrimp were systemically challenged with *V. harveyi*, and the mortality rate was recorded for a period of 5 days after challenge. A mortality of 82–86% was observed in the first 24 h post-bacterial

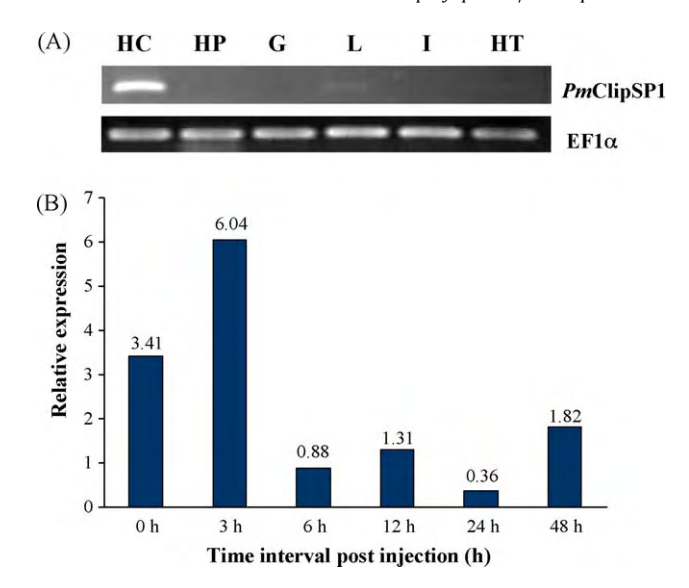


Fig. 3. (A) Tissue distribution analysis of the PmClipSP1 transcripts in Penaeus monodon by RT-PCR: hemocyte (HC), hepatopancreas (HP), gill (G), lymphoid organ (L), intestine (I) and heart (HT). EF1- α was used as a control housekeeping gene to indicate and standardize the amount of cDNA template in each RT-PCR reaction. Shown is a representative experiment from two independent repeats. (B) Relative expression levels of PmClipSP1 transcript levels in the shrimp hemocytes post-V. V harveyi injection, as detected by SYBR green real-time RT-PCR at the indicated times post-injection. Relative expression levels of V mRNA were calculated according to Pfaffl [25], using EF1-V as an internal reference gene.

infection in the PmClipSP1-knockdown shrimp, and the cumulative mortality remained at this level over the remainder of the 5-day assay period (Fig. 5). In contrast, in the GFP dsRNA injected and saline only injected control shrimp, only $\sim 20\%$ and $\sim 27\%$ cumulative mortality was observed at 1 and 2 days post-infection and thereafter remained at this level over the 5-day assay period (Fig. 5). Thus, the mortality was principally induced within the first 2 days and was significantly higher in the PmClipSP1 dsRNA mediated PmClipSP1-knockdown shrimp.

When determining the viable bacterial count in the shrimp hemolymph at 6 h post-infection, it was found that the number of viable bacteria was higher in the *PmC*lipSP1-knockdown shrimp

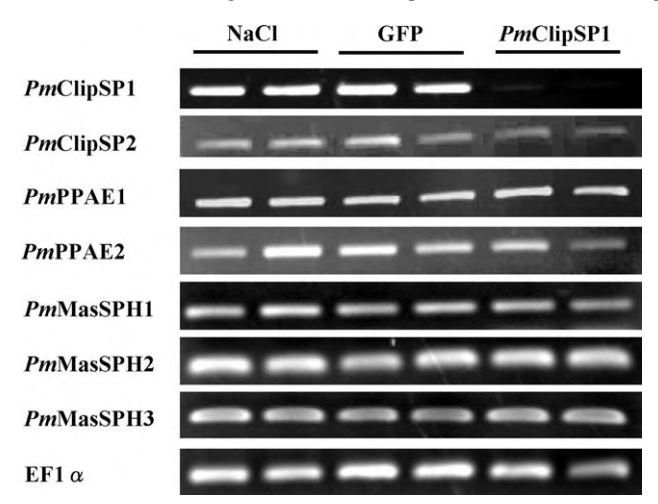


Fig. 4. Gene-specific silencing of *Pm*ClipSP1 transcript levels in *P. monodon* hemocytes. The effect of *Pm*ClipSP1dsRNA injection on the transcript expression levels of *Pm*ClipSP1, and other shrimp clip-SPs (*Pm*PPAE1, *Pm*PPAE2 and *Pm*ClipSP2) and clip-SPHs (*Pm*MasSPH1, *Pm*MasSPH2 and *Pm*MasSPH3) in *Pm*ClipSP1 dsRNA-, GFP dsRNA- or saline-injected shrimp was examined by RT-PCR using gene-specific primers. Each lane represents cDNA from an individual shrimp. EF1- α was used as a control housekeeping gene to standardize the amount of cDNA template in each reaction.

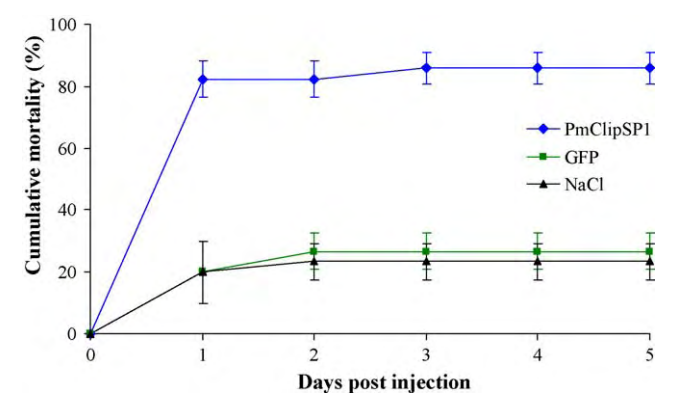


Fig. 5. The cumulative mortality of PmClipSP1-knockdown shrimp challenged with $Vibrio\ harveyi$. Control groups were injected with either GFP dsRNA in saline, or just saline. Shrimp mortality was recorded for 5 days. The cumulative mortality (%) in each experimental group (9–10 shrimp/group) is presented as the mean \pm standard deviation, and is derived from triplicate independent experiments.

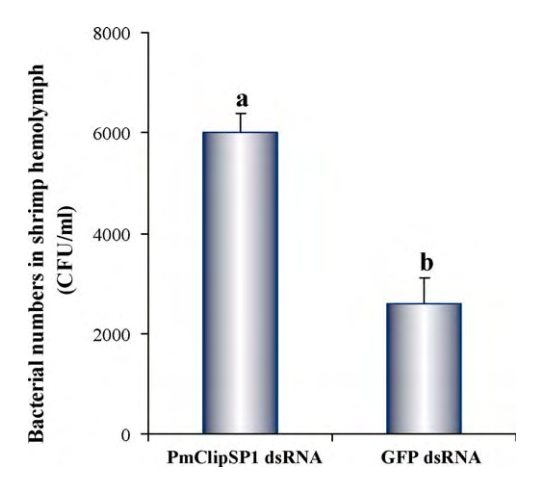


Fig. 6. The number of replication competent *Vibrio harveyi* in the hemolymph of *Pm*ClipSP1-knockdown shrimp. Shrimp were injected with *Pm*ClipSP1 or GFP (control) dsRNA, as outlined in the methods section, and then injected with a single systemic dose (2×10^5 CFUs) of *V. harveyi* 639. The bacterial colony forming units (CFUs), by a modified total plate count method, in the shrimp hemolymph were determined at 6 h after the bacterial challenge. The data, shown as the mean \pm standard deviation, and are derived from three independent repeats. Means with the same lower case letters (above each bar) are not significantly different at the p < 0.05 level.

(\sim 2.4-fold) compared with GFP dsRNA control (Fig. 6). Thus, the combined results of the cumulative mortality rate and the viable bacterial clearance experiments suggest an important role for *PmC*lipSP1 in the *P. monodon* shrimp defense against *V. harveyi* infection.

4. Discussion

Clip domain serine proteinases in arthropods play critical roles in the extracellular signaling cascades during embryonic development and in defense mechanisms, such as in melanization by the prophenoloxidase (proPO) activating system [4,6–8,28], the synthesis of antimicrobial peptides [6,7,12–16] and the hemolymph clotting system [12–15]. Previously, we identified and characterized a clip-SP (named *PmPPAE1*) and a clip-SPH (*PmMasSPH1*) in the shrimp, *P. monodon*, and found that *PmPPAE1* is required for the shrimp proPO system [8] whilst *PmMasSPH1* is a multifunctional immune molecule involved in hemocyte adhesion, bacterial binding, bacterial clearance and antimicrobial activity [29].

Here, we report the cloning and *in vivo* functional characterization of a novel clip-SP (*Pm*ClipSP1) that was identified from a partial EST sequence obtained from an EST expression library, and the complete sequence obtained using the RACE technique. The predicted ORF of the *Pm*ClipSP1 cDNA was composed of 1101 bp encoding a polypeptide of 366 amino acids with a 25 amino acid signal peptide. There was a stringent similarity between the deduced amino acid sequence of *Pm*ClipSP1 and those of previously known arthropod clip-SPs, characterized by the N-terminal clip domain and the C-terminal proteinase domain, the latter with a conserved catalytic triad, His-126, Asp-191 and Ser-289 (superfamily of the trypsin-like serine proteinase), which is believed to be essential for enzyme activity [7,30].

The deduced amino acid sequence of *PmC*lipSP1 is homologous to the *F. chinensis* serine proteinase (ABC33918), *Anopheles gambiae* serine protease 14D (ACN38198) and *H. diomphalia* PPAF-I (BAA34642). In addition, phylogenetic analysis showed that *PmC*lipSP1 falls within the cluster consisting of arthropod clip-SPs, leading to the speculation that *PmC*lipSP1 is an enzymatic clip-SP that may play a role in innate immunity. In fact, the serine proteinase (ABC33918) of *F. chinensis* mRNA is a non-enzymatic clip-SPH, as revealed by the SMART program analysis, whilst both the *A. gambiae* SP14D [31] and the *H. diomphalia* PPAF-I [32] are enzymatic clip-SPs that are associated with melanization.

In recent years, clip- (or pseudoclip-) SPs and SPHs have been found in several shrimp species, suggesting that they might play an important role in shrimp immune responses [8,18–20,22,29]. However, the *in vivo* molecular characterization and functional studies of these proteins remains poorly investigated in shrimp. Recently, one such gene, *PmPPAE1*, in *P. monodon* was characterized at the *in vivo* level by dsRNA interference, which revealed that *PmPPAE1* is likely to function in the proPO system and is an important component in the shrimp immunity [8]. However, to date this remains the only such gene from many postulated immune active genes in shrimp.

Previously, clip-SPs and clip-SPHs in *P. monodon* were shown to have the highest transcript expression levels in hemocytes, when compared to other tissues (lymphoid organ, gill and intestine) [8,18–20]. In the present study, *PmClipSP1* gene was expressed primarily in hemocytes and only slightly detected in the lymphoid organ (which may reflect residual hemolymph within this organ rather than actual low level tissue-specific expression), and not in the other tissues tested. For the bacterial challenge, real-time RT-PCR showed that *V. harveyi* injection resulted in a biphasic response with up-regulation of *PmClipSP1* transcript levels at 3 h followed by a significant downregulation at 6–48 h after infection. These results raise the possibility that *PmClipSP1* plays a role at least in the early immune response in shrimp hemocytes.

Previously, we demonstrated that *PmPPAE1* transcript levels in *P. monodon* infected with *V. harveyi* also displayed a biphasic response but that this was, in contrast, with an initial marked decrease in transcript expression levels at 3–24 h, followed by a significant increase at 48 h after infection [8]. The distinct induction kinetics of *PmClipSP1* and *PmPPAE1* in response to challenge with the Gram-negative bacteria, *V. harveyi*, suggests that both genes may be implicated in microbial defenses but are not co-regulated. Certainly, the different functional roles of individual clip-SPs in the arthropod defense, and the possible roles of clip-SPs in various immune responses, have been proposed previously [6,7], supporting the notion that *PmClipSP1* likely plays a specific role in shrimp defense that is different from that of *PmPPAE1*.

The family of clip-SPs is generally known to be involved in innate immunity [6,7], and members have been shown to play an essential role in a SP cascade of proPO-activating system, where a

loss of some clip-SP by RNAi suppression leads to a decrease in the total PO activity or in melanization ability [8,31]. In this study, it was found that suppression of the PmClipSP1 gene transcript levels did not significantly reduce the PO activity of the knockdown shrimp compared to controls (GFP dsRNA or NaCl), suggesting that PmClipSP1 is not involved in the proPO system. Therefore, PmClipSP1 is expected to be functionally distinct from PmPPAE1.

Although the clip-SPs involvement in the hemolymph clotting system have been well characterized in the horseshoe crab, *T. tridentatus*, the coagulation mechanisms between the horseshoe crab, i.e. the hemocyte-derived clotting cascade and the crustacean, *Pacifastacus leniusculus*, i.e. the transglutaminase-dependent clotting reaction, are different [33]. However, the silencing of *PmC*lipSP1 transcript levels did not detectably affect the hemolymph clotting in *P. monodon* shrimp (data not shown).

Surprisingly, *in vivo* functional analysis using RNA interference and systemic bacterial transinfection revealed that *Pm*ClipSP1 is likely to be involved in the defense against the pathogenic Gramnegative bacteria, *V. harveyi*. Thus, following systemic challenge with *V. harveyi*, a significantly higher (2.4-fold) number of viable *V. harveyi* were found in the hemolymph of *Pm*ClipSP1-knockdown shrimp compared with that in the control (GFP dsRNA and saline only injected) shrimp. The results were also in accordance with the higher cumulative mortality rates observed in the knockdown shrimp following systemic infection with *V. harveyi*. However, the actual function(s) of *Pm*ClipSP1 is still unclear, but our RNAi experiments strongly suggest the involvement of *Pm*ClipSP1 in the antibacterial mechanism.

In Drosophila, clip-SPs have been reported to be involved in the Toll signaling pathway, which is activated by a cascade of four serine proteinases [6,34]. Two clip-SPs, Snake and Easter, are downstream components of this cascade and were found to be involved in the spätzle-mediated cleavage and subsequent activation of the Toll pathway for induction of antimicrobial peptide synthesis [6]. In Tenebrio molitor, three serine proteinases have been found to be involved in the activation of the Toll pathway [35]. The biochemical evidence for the molecular crosstalk between the Tenebrio Toll pathway and the melanization reaction mediated by the clipSP, Spätzle processing enzyme (SPE), has been reported [36]. In shrimp, although Toll-like receptors have been cloned in some species [37,38], their functions in the shrimp innate immunity remain unknown. The involvement of PmClipSP1 in defense against Gram-negative bacteria points to a possible link with the antimicrobial defense mechanisms of shrimp, which remains to be explored in the future.

In summary, our research demonstrates that *Pm*ClipSP1 of *P. monodon* is unlikely to be directly involved in the proPO-activating system, but that it is important for the shrimp defense mechanism against infection with the pathogenic Gram-negative bacteria, *V harvevi*.

Acknowledgements

This work was supported by a grant from Thailand National Center for Genetic Engineering and Biotechnology (BIOTEC), and a grant from Thailand Research Fund to Piti Amparyup. A student fellowship granted to Walaiporn Charoensapsri by the Royal Golden Jubilee Ph.D. Program, Thailand Research Fund, is acknowledged.

References

- [1] Söderhäll K. Invertebrate immunity. Dev Comp Immunol 1999;23:263-6.
- [2] Iwanaga S, Lee BL. Recent advances in the innate immunity of invertebrate animals. J Biochem Mol Biol 2005;38:128–50.
- [3] Lee SY, Söderhäll K. Early events in crustacean innate immunity. Fish Shellfish Immunol 2002;12:421–37.

- [4] Cerenius L, Söderhäll K. The prophenoloxidase-activating system in invertebrates. Immunol Rev 2004;198:116–26.
- [5] Muta T, Hashimoto R, Miyata T, Nishimura H, Toh Y, Iwanaga S. Proclotting enzyme from horseshoe crab hemocytes: cDNA cloning, disulfide locations, and subcellular localisation. J Biol Chem 1990;265:22426–33.
- [6] Jang IH, Nam HJ, Lee WJ. CLIP-domain serine proteases in *Drosophila* innate immunity. BMB Rep 2008;41:102–7.
- [7] Jiang H, Kanost MR. The clip-domain family of serine proteinases in arthropods. Insect Biochem Mol Biol 2000;30:95–105.
- [8] Charoensapsri W, Amparyup P, Hirono I, Aoki T, Tassanakajon A. Gene silencing of a prophenoloxidase activating enzyme in the shrimp, *Penaeus monodon*, increases susceptibility to *Vibrio harveyi* infection. Dev Comp Immunol 2009;33:811–20.
- [9] Ross J, Jiang H, Kanost MR, Wang Y. Serine proteases and their homologs in the Drosophila melanogaster genome: an initial analysis of sequence conservation and phylogenetic relationships. Gene 2003;304:117–31.
- [10] Murugasu-Oei B, Rodrigues V, Yang X, Jang CW. Masquerade: a novel secreted serine protease-like molecule is required for somatic muscle attachment in the Drosophila embryo. Genes Dev 1995;9:139–54.
- [11] Iwanaga S, Kawabata S, Muta T. New types of clotting factors and defense molecules found in horseshoe crab hemolymph: their structures and functions. J Biochem (Tokyo) 1998;123:1–15.
- [12] Iwanaga S. The limulus clotting reaction. Curr Opin Immunol 1993;5:74-82.
- [13] Kawabata SI, Muta T, Iwanaga S. The clotting cascade and defense molecules found in the hemolymph of the horseshoe crab. In: Söderhäll K, Iwanaga S, Vasta GR, editors. New Directions in Invertebrate Immunology. Fair Haven: SOS Publications; 1996. p. 255–83.
- [14] Muta T, Iwanaga S. The role of hemolymph coagulation in innate immunity. Curr Opin Immunol 1996;8:41–7.
- [15] Takaki Y, Seki N, Kawabata S, Iwanaga S, Muta T. Duplicated binding sites for (1 → 3)-beta-p-glucan in the horseshoe crab coagulation factor G: implications for a molecular basis of the pattern recognition in innate immunity. J Biol Chem 2002;277:14281-7.
- [16] Imler JL, Hoffmann JA. Signaling mechanisms in the antimicrobial host defense of Drosophila. Curr Opin Microbiol 2000;3:16–22.
- [17] Söderhäll K, Cerenius L. Role of the prophenoloxidase activating system in invertebrate immunity. Curr Opin Immunol 1998;10:23–8.
- [18] Lin CY, Hu KY, Ho SH, Song YL. Cloning and characterization of a shrimp clip domain serine protease homolog (c-SPH) as a cell adhesion molecule. Dev Comp Immunol 2006;30:1132–44.
- [19] Amparyup P, Jitvaropas R, Pulsook N, Tassanakajon A. Molecular cloning, characterization and expression of a masquerade-like serine proteinase homologue from black tiger shrimp *Penaeus monodon*. Fish Shellfish Immunol 2007;22:535–46.
- [20] Sriphaijit T, Flegel TW, Senapin S. Characterization of a shrimp serine protease homolog, a binding protein of yellow head virus. Dev Comp Immunol 2007;31:1145–58.
- [21] Ren Q, Xu ZL, Wang XW, Zhao XF, Wang JX. Clip domain serine protease and its homolog respond to Vibrio challenge in Chinese white shrimp, Fenneropenaeus chinensis. Fish Shellfish Immunol 2009;26:787–98.

- [22] Rattanachai A, Hirono I, Ohira T, Takahashi Y, Aoki T. Peptidoglycan inducible expression of a serine proteinase homologue from kuruma shrimp (*Marsupe-naeus japonicus*). Fish Shellfish Immunol 2005;18:39–48.
- [23] Tassanakajon A, Klinbunga S, Paunglarp N, Rimphanitchayakit V, Udomkit A, Jitrapakdee S, et al. *Penaeus monodon* gene discovery project: the generation of an EST collection and establishment of a database. Gene 2006;384:104–12.
- [24] Felsenstein J. PHYLIP (phylogenetic inference package) version 3.5c. Seattle: Department of Genetics, University of Washington; 1993 [Distributed by the author].
- [25] Pfaffl MW. A new mathematical model for relative quantification in real-time RT-PCR. Nucleic Acids Res 2001;29:2004–7.
- [26] Amparyup P, Charoensapsri W, Tassanakajon A. Two prophenoloxidases are important for the survival of Vibrio harveyi challenged shrimp Penaeus monodon. Dev Comp Immunol 2009;33:247–56.
- [27] Kwon TH, Kim MS, Choi HW, Joo CH, Cho MY, Lee BL. A masquerade-like serine proteinase homologue is necessary for phenoloxidase activity in the coleopteran insect, Holotrichia diomphalia larvae. Eur J Biochem 2000;267:6188–96.
- [28] Wang R, Lee SY, Cerenius L, Söderhäll K. Properties of the prophenoloxidase activating enzyme of the freshwater crayfish *Pacifastacus leniusculus*. Eur J Biochem 2001;268:895–902.
- [29] Jitvaropas R, Amparyup P, Gross PS, Tassanakajon A. Functional characterization of a masquerade-like serine proteinase homologue from the black tiger shrimp *Penaeus monodon*. Comp Biochem Physiol B 2009;153: 236–43.
- [30] Rawlings ND, Barrett AJ. Evolutionary families of peptidases. Biochem J 1993;290:205–18.
- [31] Paskewitz SM, Andreev O, Shi L. Gene silencing of serine proteases affects melanization of Sephadex beads in *Anopheles gambiae*. Insect Biochem Mol Biol 2006:36:701-11
- [32] Lee SY, Cho MY, Hyun JH, Lee KM, Homma KI, Natori S, et al. Molecular cloning of cDNA for prophenol-oxidase-activating factor I, a serine protease is induced by lipopolysaccharide or 1,3-b-glucan in coleopteran insect, *Holotrichia diom-phalia* larvae. Eur J Biochem 1998;257:615–21.
- [33] Jiravanichpaisal P, Lee BL, Söderhäll K. Cell-mediated immunity in arthropods: hematopoiesis, coagulation, melanization and opsonization. Immunobiology 2006;211:213–36.
- [34] Rutschmann S, Kilinc A, Ferrandon D. Cutting edge: the toll pathway is required for resistance to Gram-positive bacterial infections in Drosophila. J Immunol 2002;168:1542–6.
- [35] Kim CH, Kim SJ, Kan H, Kwon HM, Roh KB, Jiang R, et al. A Three-step proteolytic cascade mediates the activation of the peptidoglycan-induced toll pathway in an insect. J Biol Chem 2008;283:7599–607.
- [36] Kan H, Kim CH, Kwon HM, Park JW, Roh KB, Lee H, et al. Molecular control of phenoloxidase-induced melanin synthesis in an insect. J Biol Chem 2008:283:25316–23.
- [37] Arts JAJ, Cornelissen FHJ, Cijsouw T, Hermsen T, Savelkoul HFJ, Stet RJM. Molecular cloning and expression of a Toll receptor in the giant tiger shrimp Penaeus monodon. Fish Shellfish Immunol 2007;23:504–13.
- [38] Yang LS, Yin ZX, Liao JX, Huang XD, Guo CJ, Weng SP, et al. A Toll receptor in shrimp. Mol Immunol 2007;44:1999–2008.